



CENTRO DE INVESTIGACIÓN Y DE ESTUDIOS AVANZADOS  
DEL INSTITUTO POLITÉCNICO NACIONAL

UNIDAD ZACATENCO

DEPARTAMENTO DE CONTROL AUTOMÁTICO

**Análisis y Diseño de un Robot Humanoide:  
De Estructura Estática a Robot Caminante**

Tesis que presenta

**Ing. Andrés Enríquez Cobo**

Para obtener el grado de

**Maestro en Ciencias**

En la Especialidad de

**Control Automático**

Director de Tesis:

**Dr. Juan Manuel Ibarra Zannatha**

México, D.F.

Febrero 2015



## Resumen

Este trabajo de Tesis presenta la metodología básica que debe seguirse para trabajar con un robot humanoide, ésta abarca desde su modelado cinemático hasta su caminado y percepción del entorno.

Los modelos cinemáticos desarrollados se validaron por medio de interfaces gráficas, utilizando un modelo virtual del humanoide. El modelo de la pierna se obtuvo mediante la metodología de Denavit-Hartenberg, al igual que el modelo directo del brazo. Sin embargo, el modelo inverso del brazo, se obtuvo mediante análisis geométrico. Además, se obtuvo un modelo dinámico simplificado, el cual se validó utilizando la caja de herramientas de SimMechanics de Matlab.

El humanoide con el cual se trabajó, fue desarrollado en su totalidad en el Departamento de Control Automático del CINVESTAV en conjunto con estudiantes de la Universidad La Salle como parte de la línea de investigación sobre robots humanoides. El diseño de este humanoide fue modificado para incorporar dos controladores: uno se utiliza para el cálculo de trayectorias articulares y la toma de decisiones por medio de algoritmos de visión; el otro se utiliza para interpretar estas decisiones y ejecutarlas mediante los servomotores. Este sistema de comunicación tipo cerebro-cerebelo, a pesar de estar implementado en otros prototipos como el robot DARwIn, utiliza componentes cuya comunicación no había sido establecida, proporcionando así, una extensión al uso de ambos controladores.

El nuevo prototipo cuenta con una cámara estereoscópica. Ésta permite crear aplicaciones más complejas de visión artificial por medio del cálculo de distancia en el mundo tridimensional, lo cual proporciona una ventaja sobre los prototipos comerciales existentes ya que, por lo general, cuentan con únicamente una cámara. Esta cámara además, nos proporciona el lazo de control necesario para manipular objetos por medio de los brazos y permite realizar el seguimiento de objetos al integrar el modelado y la percepción.

Con respecto problema de caminado, se presentan dos algoritmos: un caminado parametrizado y un caminado omnidireccional. Ambos algoritmos se validaron en base al criterio del ZMP.

Finalmente, se presentan los resultados, tanto en las interfaces desarrolladas como en el prototipo físico, de los algoritmos desarrollados en ésta Tesis.



## Abstract

This thesis presents the basic methodology that should be followed to work with a humanoid robot, this methodology covers from kinematic modeling till walking and environment perception.

The kinematic models developed were validated through graphical user interfaces, using a virtual model of the humanoid. The leg's model was obtained through Denavit-Hartenberg's methodology, as well as the direct model of the arms. However, the inverse model of the arm, was obtained through geometric analysis. In addition, a simplified dynamic model was obtained, which was validated using Matlab's SimMechanics Toolbox.

The humanoid used to work with, was developed completely at the Departamento de Control Automático of CINVESTAV in a group with students from the Universidad La Salle as a part of the research line about humanoid robots. This humanoid's design was modified to include two controllers: one is used to compute the articular trajectories and decision making through vision algorithms; the other one is used to interpret these decisions and executed through the servomotors. This communication system type cerebrum-cerebellum type, despite being implemented in other prototypes like the DARwIn robot, uses components which had no communication established between them, providing an extension to the usage of both controllers.

The new prototype has a stereo camera. This allows to create more complex artificial vision applications by computing distance in the three-dimensional world, which provides an advantage over existing commercial prototypes due to the fact that, in general, they have only one camera. Besides, this camera provides the necessary control loop to manipulate objects using the arms and allows us to perform objects tracking by combining the modeling and perception.

Regarding the walking problem, two algorithms are presented: a parameterized walking and an omnidirectional walking. Both algorithms were validated using the ZMP criterion.

Finally, results are presented, as much in the developed interfaces as in the physical prototype, of the algorithms developed in this Thesis.



# Agradecimientos

- A CONACYT, por haberme otorgado la beca que me permitió dedicarme de lleno a mis estudios de Maestría.
- A mi familia, por apoyarme en todo momento.
- A Gustavo Alemán, por su ayuda y por enseñarme que es posible trabajar en equipo.
- A Hazel, Yasmyn e Ionela, por su invaluable apoyo y amistad.
- Al Ing. Roberto Lagunes Feregrino, por sus recomendaciones, su tiempo y su ayuda que permitieron que este trabajo saliera adelante.
- A mis compañeros de la Maestría: Ricardo Carrillo Mendoza, Emma Mireya Sánchez Mosqueda, Christian Abraham Enríquez Olguin, Iván Trejo Zúñiga, Gian Carlo Gómez Cortes y Christopher Diego Cruz Ancona. Su apoyo y sus pláticas significaron más de lo que creen.
- Al Dr. Cisneros y al Dr. Moragues, mis mejores profesores, por enseñarme que la mente creativa e independiente puede llegar lejos.
- A Rafael Stanley Núñez Cruz y a Diego Alberto Bravo Montenegro, Doctores sin grado aún, por su tiempo y sus valiosas aportaciones al presente trabajo.
- Al Dr. Ahmed Chemori, del Laboratorio de Informática, de Robótica y de Microelectrónica de Montpellier (LIRMM) en Montpellier, Francia, quien me aceptó para realizar una estancia de investigación.
- A mis sinodales: el Dr. Juan Manuel Ibarra Zannatha, el Dr. Alejandro Justo Malo Tamayo y el Dr. Alejandro Aceves López, por el tiempo invertido en revisar el trabajo de Tesis.





# Índice general

<b>1. Introducción</b>	<b>1</b>
1.1. Estado del arte . . . . .	3
1.2. Planteamiento del problema . . . . .	6
1.3. Propósito del trabajo de Tesis . . . . .	7
1.4. Estructura del trabajo de Tesis . . . . .	8
<b>2. Descripción del Robot Humanoide AH1N2</b>	<b>11</b>
2.1. Sistema Mecánico . . . . .	12
2.1.1. Modificaciones del nuevo diseño . . . . .	12
2.1.1.1. Tórax . . . . .	12
2.1.1.2. Brazos . . . . .	14
2.1.1.3. Cabeza . . . . .	15
2.1.2. Servomotores . . . . .	15
2.2. Sistema Computacional . . . . .	16
2.2.1. Roboard RB-100 . . . . .	16
2.2.2. CM-700 . . . . .	17
2.2.3. RoboPlus . . . . .	18
2.2.4. Minoru 3D Webcam . . . . .	18
2.2.5. Comunicación . . . . .	19
2.2.5.1. Roboard-CM . . . . .	19
2.2.5.2. Roboard-Minoru . . . . .	20
2.2.5.3. CM700-Servomotores . . . . .	21
2.3. Sistema Electrónico . . . . .	21
2.3.1. Baterías . . . . .	22
<b>3. Modelado</b>	<b>23</b>
3.1. Modelo Cinemático . . . . .	23
3.1.1. Metodología de Denavit-Hartenberg . . . . .	23
3.1.2. Cinemática de las piernas . . . . .	25
3.1.2.1. Cinemática Directa . . . . .	25
3.1.2.2. Cinemática Inversa . . . . .	27
3.1.3. Cinemática de los Brazos . . . . .	30
3.1.3.1. Cinemática Directa . . . . .	30
3.1.3.2. Cinemática Inversa . . . . .	32
3.2. Modelado Virtual . . . . .	37
3.2.1. Unidad Locomotora . . . . .	38
3.2.1.1. Simulador Cinemático . . . . .	38
3.2.2. Unidad Pasajera . . . . .	39

3.2.2.1.	Simulador Cinemático . . . . .	40
3.2.3.	Modelo Completo . . . . .	40
3.3.	Modelo Dinámico . . . . .	41
3.3.1.	Formulación Newton-Euler . . . . .	41
3.3.2.	SimMechanics . . . . .	44
<b>4.</b>	<b>Caminado Bípedo</b>	<b>47</b>
4.1.	Conceptos . . . . .	47
4.1.1.	Fases del caminado . . . . .	47
4.1.2.	Planos de movimiento . . . . .	48
4.2.	Caminado Parametrizado . . . . .	49
4.3.	Caminado Omnidireccional . . . . .	51
4.3.1.	Interfaz de la pierna . . . . .	52
4.3.2.	Reloj Central . . . . .	54
4.3.3.	Vectores de entrada . . . . .	54
4.3.4.	Desplazamiento . . . . .	54
4.3.5.	Acortamiento . . . . .	55
4.3.6.	Carga . . . . .	56
4.3.7.	Balanceo . . . . .	56
4.3.8.	Equilibrio . . . . .	57
4.3.9.	Resultado . . . . .	57
4.4.	Estabilidad del caminado . . . . .	58
4.4.1.	Derivación del Zero-Moment Point . . . . .	58
4.4.2.	Cálculo del ZMP . . . . .	60
4.4.3.	Modelo simplificado . . . . .	61
<b>5.</b>	<b>Sistema de Visión</b>	<b>63</b>
5.1.	Visión Estereoscópica . . . . .	63
5.1.1.	Calibración de cámaras . . . . .	64
5.1.2.	Cálculo de distancia 3D . . . . .	65
5.2.	OpenCV . . . . .	66
5.2.1.	Calibración de Cámaras . . . . .	66
5.2.2.	Distancia 3D . . . . .	68
5.3.	Coordinación Percepción-Control . . . . .	70
5.3.1.	Cinemática de la cámara . . . . .	70
5.3.2.	Detección de objetos . . . . .	72
5.3.3.	Seguimiento y alcance de objetos . . . . .	73
<b>6.</b>	<b>Pruebas y Resultados</b>	<b>75</b>
6.1.	Cinemática . . . . .	75
6.1.1.	Piernas . . . . .	75
6.1.2.	Brazos . . . . .	79
6.2.	Dinámica . . . . .	84
6.3.	Caminado . . . . .	87
6.3.1.	Caminado parametrizado . . . . .	87

6.3.2.	Caminado omnidireccional . . . . .	87
6.3.3.	Estabilidad del caminado . . . . .	90
6.4.	Coordinación Percepción-Control . . . . .	91
6.4.1.	Segmentación . . . . .	91
6.4.2.	Seguimiento . . . . .	92
6.4.3.	Alcance de objeto . . . . .	92
<b>7.</b>	<b>Conclusiones</b>	<b>93</b>
7.1.	Trabajo a futuro . . . . .	96
<b>A.</b>	<b>Especificaciones del Hardware</b>	<b>99</b>
<b>B.</b>	<b>Configuración de la Roboard</b>	<b>103</b>
B.1.	Instalador de Lubuntu . . . . .	103
B.2.	Imagen de Lubuntu . . . . .	104
<b>C.</b>	<b>Instalación de OpenCV</b>	<b>107</b>
<b>D.</b>	<b>Conversión de Datos: double-unsigned char-double</b>	<b>109</b>
<b>E.</b>	<b>Código VRML</b>	<b>111</b>
E.1.	Unidad Pasajera . . . . .	111
E.2.	Unidad Locomotora . . . . .	115
<b>F.</b>	<b>Código Matlab</b>	<b>123</b>
F.1.	Cinemática Piernas . . . . .	123
F.2.	Cinemática Brazos . . . . .	124
F.3.	Función del Modelo Dinámico . . . . .	126
<b>G.</b>	<b>Código C</b>	<b>131</b>
G.1.	Función de Caminado Parametrizado . . . . .	131
G.2.	Función de Caminado Omnidireccional . . . . .	133
G.3.	Seguimiento y alcance de objetos . . . . .	135



# Índice de figuras

1.1. Primer Robot Industrial creado por la compañía Unimation en 1954 [2]	2
1.2. WABOT-1 [2]	4
1.3. Robots desarrollados por Honda	4
1.4. Robot Humanoide Roboray de Samsung [9]	6
2.1. Conexión serie de 2 cadenas	12
2.2. Tórax del prototipo anterior	13
2.3. Tórax del nuevo prototipo	13
2.4. Comparación de brazos de ambos prototipos	14
2.5. Comparación de cabezas de ambos prototipos	15
2.6. Roboard RB-100	16
2.7. Controlador CM-700	17
2.8. Conexiones de los servomotores al controlador CM-700	17
2.9. Minoru 3D Webcam	18
2.10. Conversión de datos para transmisión	20
2.11. Arreglo de caracteres para transmisión	20
3.1. Diagrama Cinemático de las Piernas	26
3.2. Diagrama cinemático de los brazos	31
3.3. Triángulo formado por el brazo y el vector de posición	33
3.4. Triángulo con flexión-extensión del codo y SH	33
3.5. Proyección en el plano sagital	34
3.6. Cálculo de $\theta_2$	36
3.7. Cálculo de $\theta_3$	36
3.8. Modelo VRML de la Unidad Locomotora	37
3.9. Interfaz de la unidad locomotora	38
3.10. Modelo VRML de la Unidad Pasajera	39
3.11. Puntos de vista de las cámaras	39
3.12. Interfaz de la unidad pasajera	40
3.13. Modelo VRML completo	41
3.14. Propiedades del eslabón Cadera	45
3.15. Diagrama de bloques de SimMechanics	45
3.16. Subsistema de cada articulación	46
3.17. Comparación de modelos ensamblados	46
4.1. Planos de movimiento [21]	48
4.2. Parámetros del caminado en el plano sagital [22]	49
4.3. Parámetros del caminado en el plano frontal [22]	50
4.4. Ángulos de Roll, Pitch y Yaw de la pierna y del pie	52

4.5.	Análisis geométrico para obtener el ángulo de la rodilla . . . . .	53
4.6.	Modelo de péndulo para la pierna . . . . .	54
4.7.	Fuerzas que actúan sobre el pie del robot. [24] . . . . .	59
4.8.	Modelo dinámico simplificado para el cálculo del ZMP. [2] . . . . .	61
5.1.	Sistema estereoscópico [26] . . . . .	65
5.2.	Tablero para calibración [27] . . . . .	66
5.3.	Configuración de la escena para medición 3D . . . . .	68
5.4.	Imágenes segmentadas . . . . .	69
5.5.	Distancia calculada a partir de dos imágenes . . . . .	70
5.6.	Diagrama cinemático de la cabeza . . . . .	71
6.1.	Cinemática directa de la pierna en la prueba uno . . . . .	76
6.2.	Cinemática inversa de la pierna en la prueba uno . . . . .	77
6.3.	Poses obtenidas mediante cinemática inversa de la pierna en la prueba uno	77
6.4.	Cinemática directa de la pierna en la prueba dos . . . . .	78
6.5.	Cinemática inversa de la pierna en la prueba dos . . . . .	78
6.6.	Poses obtenidas mediante cinemática inversa de la pierna en la prueba dos	79
6.7.	Cinemática inversa del brazo en la prueba uno . . . . .	80
6.8.	Poses obtenidas mediante cinemática inversa del brazo en la prueba uno	80
6.9.	Cinemática inversa del brazo en la prueba dos . . . . .	81
6.10.	Poses obtenidas mediante cinemática inversa del brazo en la prueba dos	81
6.11.	Cinemática inversa del brazo en la prueba tres . . . . .	82
6.12.	Poses obtenidas mediante cinemática inversa del brazo en la prueba tres	82
6.13.	Cinemática inversa del brazo en la prueba cuatro . . . . .	83
6.14.	Poses obtenidas mediante cinemática inversa del brazo en la prueba cuatro	83
6.15.	Pares de la pierna de soporte . . . . .	85
6.16.	Pares de la pierna flotante . . . . .	86
6.17.	Caminado parametrizado en el plano sagital . . . . .	88
6.18.	Caminado parametrizado en el plano frontal . . . . .	88
6.19.	Caminado omnidireccional en el plano sagital . . . . .	89
6.20.	Caminado omnidireccional en el plano frontal . . . . .	89
6.21.	Trayectoria del ZMP en el caminado parametrizado . . . . .	90
6.22.	Trayectoria del ZMP en el caminado omnidireccional . . . . .	90
6.23.	Trayectoria del ZMP respecto al polígono de soporte simple . . . . .	90
6.24.	Segmentación de pelota . . . . .	91
6.25.	Detección de pelota . . . . .	91
6.26.	Seguimiento de pelota roja utilizando servomotores de Pan y <i>Tilt</i> . . . . .	92
6.27.	Alcance de pelota con brazo izquierdo . . . . .	92
A.1.	Especificaciones del subcontrolador CM-700 . . . . .	99
A.2.	Especificaciones de la Roboard RB-100 . . . . .	100
A.3.	Especificaciones del servomotor RX-28 . . . . .	101
A.4.	Especificaciones del servomotor RX-64 . . . . .	102

# Índice de tablas

2.1. Principales propiedades de los servomotores . . . . .	15
2.2. Consumo energético en modo de espera . . . . .	22
3.1. Tabla de parámetros de DH . . . . .	24
3.2. Tabla de parámetros de la pierna . . . . .	25
3.3. Tabla de parámetros del brazo . . . . .	31
5.1. Tabla de parámetros de la cabeza . . . . .	71
6.1. Tabla de comparación de la cinemática inversa del brazo en la prueba uno	84
6.2. Tabla de comparación de la cinemática inversa del brazo en la prueba dos	84
6.3. Tabla de comparación de la cinemática inversa del brazo en la prueba tres	84
6.4. Tabla de comparación de la cinemática inversa del brazo en la prueba cuatro . . . . .	84





# Capítulo 1

## Introducción

Desde el nacimiento, las personas han tenido que trabajar para mantener su forma de vida, ya sea para asegurar su supervivencia o simplemente para tratar de vivir más cómodamente. Esto es algo que no cambia de persona a persona, cada quien debe trabajar para asegurar su propia existencia. Es debido a esto que las personas siempre han soñado con ser capaces de fabricar algo que realice el trabajo por ellas. En este contexto es donde surge el término de Robot.

Definición 1.1 (Robot). Un *robot* es un mecanismo actuado programable en dos o más ejes con un grado de autonomía, moviéndose dentro de su entorno, para realizar tareas deseadas. Autonomía en este contexto significa la habilidad de realizar tareas deseadas basadas en el estado actual y medición, sin intervención humana. [1]

Desde la Revolución Industrial se han construido máquinas que pueden agilizar el trabajo realizado por una persona pero esto no ha llegado al grado de reemplazarlas completamente. Las máquinas dependen de alguien que las opere y supervise sus actividades. Además, las máquinas diseñadas se construyeron para realizar una tarea específica. Esto quiere decir que la máquina podía realizar eficientemente la actividad para la cual fue construida pero esto perdía importancia en el momento que se deseaba utilizar la misma máquina para realizar otra actividad, esto significaba que la máquina original debía pasar por un cambio drástico o incluso debía ser reemplazada por completo. El deseo de tener máquinas flexibles que pudieran ser utilizadas en diversas actividades fue lo que generó la Robótica del Siglo XX, la Robótica Industrial.

Definición 1.2 (Robot Industrial). Un *robot industrial* es un manipulador multipropósito, reprogramable, automáticamente controlado, programable en tres o más ejes, que puede ser fijo o móvil para uso en aplicaciones industriales de automatización. [1]

La Robótica Industrial comenzó con el desarrollo de los robots manipuladores mostrados en la Figura 1.1, capaces de realizar múltiples actividades dentro de una línea de ensamble sustituyendo así el trabajo manual y repetitivo de los trabajadores reduciendo costos de producción.



Figura 1.1: Primer Robot Industrial creado por la compañía Unimation en 1954 [2]

Estos robots se utilizan dentro de un área de trabajo delimitada y acondicionada para cada robot. Además de realizar tareas repetitivas, son capaces de realizarlas a gran velocidad con gran precisión.

Este tipo de robots a pesar de haber revolucionado la industria, presentan limitaciones para alcanzar el objetivo original de crear una máquina autónoma que pueda realizar trabajo humano (no sólo en la industria). Algunas de estas limitaciones son:

- El robot se encuentra fijo dentro de su espacio de trabajo.
- Necesidad de un ambiente de trabajo acondicionado para el robot.
- Programados para realizar una tarea a la vez.

Con el fin de superar estas limitaciones es como surge la Robótica del Siglo XXI, la Robótica de Servicio.

Definición 1.3 (Robot de Servicio). Un *robot de servicio* es un robot que desempeña tareas útiles para humanos o equipo excluyendo su aplicación en automatización industrial. [1]

Es aquí donde aparecen los robots móviles cuyo espacio de trabajo está limitado por la compatibilidad entre su medio de locomoción y el entorno donde se encuentran.

Los robots móviles se clasifican de acuerdo al medio donde se desplazan, como: robots terrestres, aéreos, acuáticos, etc. Dentro de los robots terrestres se encuentran principalmente los robots que utilizan las ruedas como medio de locomoción y los que utilizan piernas. Es aquí donde se encuentran los robots bípedos humanoides, sobre los cuales se enfocará el trabajo de tesis.

## 1.1. Estado del arte

A pesar de que la Robótica de Servicio es del Siglo XXI, los intentos por reproducir sistemas mecánicos que imiten a un humano son más antiguos. Por ejemplo en el Siglo XII Al-Jazari diseñó un autómeta humanoide, en el Siglo XV Leonardo Da Vinci diseñó otro autómeta humanoide y en Japón existe una tradición de crear muñecas mecánicas llamadas *karakuri ningyo*, que existe por lo menos desde el Siglo XVIII. Posteriormente en el Siglo XX se introdujo la animatrónica en los parques de atracciones.

A mediados del Siglo XX muchos investigadores desarrollaron sistemas para medición, locomoción y manipulación, inspirados por habilidades humanas. Estos sistemas desarrollados se encontraban de manera aislada y en 1973 la Universidad de Waseda en Japón los integró en un robot humanoide: WABOT-1 mostrado en la Figura 1.2

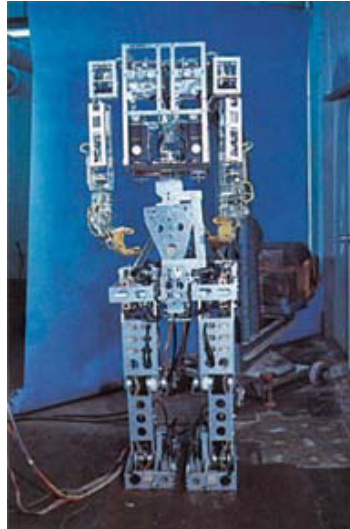


Figura 1.2: WABOT-1 [2]

Esta serie de robots integró funciones que han estado bajo constante investigación desde entonces como: reconocimiento visual de objetos, generación y reconocimiento del habla, manipulación de objetos con ambas extremidades, y caminado bípedo.

En 1996, Honda reveló el Humanoide P2 mostrado en la Figura 1.3a, el resultado de un proyecto confidencial que empezó en 1986.



(a) Honda P2 (180 cm de altura, 210 kg) [2]



(b) Honda Asimo (120 cm de altura, 43 kg) [2]

Figura 1.3: Robots desarrollados por Honda

El robot humanoide P2 fue el primer robot humanoide de tamaño natural capaz de caminar establemente de manera bípeda con fuente de energía y procesamiento a bordo. Esta serie de robots humanoides presentaron un gran adelanto comparados con los robots desarrollados en instituciones académicas debido a que utilizaron actuadores armónicos de alto par, así como piezas ligeras de alta rigidez específicas.

El proyecto de humanoides de Honda actualmente se encuentra en desarrollo con su modelo ASIMO (Advanced Step in Innovative MObility) mostrado en la Figura 1.3b. Éste es capaz de correr a 9km/h, saltar en un pie o ambos, caminar en superficies irregulares, subir y bajar escaleras, interactuar con personas, manipulación con ambas manos, etc.

Al mismo tiempo en Estados Unidos se desarrolló el proyecto Cog en 1993, proyecto enfocado a crear un humanoide que aprendiera a pensar y posteriormente elevar su nivel de abstracción para realizar nuevas tareas. Este proyecto, al centrarse en las ciencias cognitivas y biológicas, consistió únicamente en el diseño de la parte superior del cuerpo. [2]

En 2006 se creó el grupo AAUBOT en la Universidad de Aalborg en Dinamarca. Este grupo tiene como propósito construir e implementar un robot humanoide operacional del tamaño de un humano de que cierre la brecha entre salud, tecnología y robótica. Algunos de los robots diseñados hasta la fecha son AAUrobot I [3], AAU-BOT1 [4] y Roberto [5]. Posteriormente en la competencia de estudiantes de diseño de mecanismos de la ASME de ese año un grupo de estudiantes de Virginia Tech, asesorados por Dennis Hong, ganó el segundo lugar al presentar el diseño del robot humanoide DARwIn (Dynamic Anthropomorphic Robot with Intelligence) [6].

En 2011 en Japón, Masahiko Yamaguchi (Dr. Guero) modificó un robot Kondo KHR-3HV y lo equipó con un giroscopio y un acelerómetro que transmiten información a un controlador que hace ligeros ajustes a la posición de sus brazos y piernas para mantener su equilibrio. Utilizando este robot ha logrado una marcha que logra imitar de manera casi idéntica la marcha de un humano, además de que ha puesto a prueba sus algoritmos en condiciones de equilibrio críticas como al caminar sobre una cuerda floja. [7] [8]

Recientemente, en 2013, el Laboratorio de Robótica de Bristol en conjunto con el Instituto Avanzado de Tecnología de Samsung desarrollaron el robot humanoide Roboray mostrado en la Figura 1.4.



Figura 1.4: Robot Humanoide Roboray de Samsung [9]

Este robot es uno de los robots humanoides más avanzados en el mundo, cuenta con una altura de 140 cm y un peso de 50 kg. Posee una cámara estéreo en su cabeza y está compuesto por 53 actuadores diferentes incluyendo seis por cada pierna y 12 por cada mano. Lo más novedoso de su tecnología es que camina de una forma más humana al utilizar lo que se conoce como caminado dinámico. Esto significa que se encuentra en un estado de caída continua a cada paso y utiliza la gravedad para desplazarse reduciendo así el consumo de energía. Esta forma de caminado es novedosa ya que es similar a la forma en que caminan los humanos y debido a que la mayoría de los robots humanoides doblan sus rodillas para mantener su centro de masa bajo y estable. Una desventaja de utilizar este tipo de caminado es que introduce una dificultad mayor para los algoritmos de visión por computadora ya que los objetos en las imágenes se mueven más rápido. [9]

## 1.2. Planteamiento del problema

Son mucho los problemas de interés en la investigación sobre Robots Humanoides, entre los cuales destacan la percepción visual y el control con estabilidad de sus movimientos, en particular del caminado. Por otro lado, cabe destacar que las competiciones

entre Robots Humanoides en foros como RoboCup [10], FIRA [11] y TMR [12], entre otros muchos motivan a la investigación en estas áreas así como el desarrollo tecnológico correspondiente. Es así que en el DCA-CINVESTAV se ha incursionado en dichas competencias desde el 2009, primero utilizando prototipos comerciales de pequeño formato y bajas prestaciones, como el Robonova I y el Bioloid, y luego usando prototipos con mejores prestaciones como el Nao y el DARwIn-OP. Para poder competir con los primeros ha sido necesario hacer modificaciones tanto en la estructura mecánica como en la computacional de los prototipos mencionados, sin conseguir obtener un robot competitivo hasta que se comenzó a utilizar el DARwIn-OP. Si bien los robots humanoides con los que cuenta el departamento, como DARwIn-OP y Nao, son muy eficientes en sus respectivos campos de aplicación, no son muy adecuados para soportar todo tipo de proyectos de investigación. Por ejemplo, el sistema computacional y de control del Nao es muy cerrado como para intentar proyectos de control de movimientos; mientras que el DARwIn-OP, siendo bastante más abierto, representa una estructura más orientada para las aplicaciones que para la investigación. Es así como surge la necesidad de contar con un robot humanoide cuya arquitectura computacional fuera completamente abierta a fin de tener el conocimiento y dominio de todos sus sistemas como el mecánico, el computacional y electrónico, el de control así como el de percepción incluyendo todos los sensores del robot.

### **1.3. Propósito del trabajo de Tesis**

De este modo, el objetivo de la presente tesis es desarrollar un robot humanoide capaz de participar de manera competitiva en las competencias como las organizadas por RoboCup, FIRA y TMR. Además, nos interesa que el prototipo desarrollado se convierta en una plataforma eficiente para soportar futuros proyectos en las áreas del departamento, como lo son la percepción (visual, inercial, táctil) y el control en lazo cerrado de todos sus movimientos. El prototipo propuesto se construyó a partir de su predecesor, el AH1N1, al cual se le hicieron modificaciones importantes en su estructura mecánica, sobre todo a nivel del tórax, cabeza y brazos. Además, se rediseñó el sistema

electrónico y computacional con base en el uso del controlador CM-700 de Robotis y el sistema Roboard-100 para el manejo de la algorítmica de percepción y control. En el marco de esta tesis se hizo el análisis cinemático y dinámico del nuevo prototipo, se implementaron algoritmos de visión estereoscópica simples capaces de cerrar el lazo de control en tareas de manipulación y se aplicaron técnicas de generación de patrones de marcha estable. Estas técnicas se validaron primero en simulación utilizando los modelos cinemático y dinámico obtenidos y se aplicaron posteriormente en tiempo real sobre la plataforma desarrollada.

## 1.4. Estructura del trabajo de Tesis

Al desarrollarse diversos sistemas para el prototipo, estos se introducen de manera individual en los capítulos siguientes pero también siguen una secuencia ya que los sistemas tienen elementos en común para finalmente integrarse.

- El Capítulo 2 presenta los sistemas mecánico, electrónico y computacional. Aquí se describe la estructura del prototipo anterior y las modificaciones que se hicieron para obtener el prototipo actual, así como los controladores y sensores incorporados al nuevo prototipo.
- El Capítulo 3 presenta el modelado cinemático, virtual y dinámico del humanoide. Aquí se presenta la cinemática, tanto directa como inversa, para las extremidades. Posteriormente se presenta el modelo geométrico usado para simular virtualmente al robot, el cual parte del modelo cinemático y por último la formulación de su modelo dinámico.
- El Capítulo 4 presenta el caminado. En este capítulo se presentan conceptos necesarios para comprender la generación de trayectorias en el espacio, así como una breve descripción de lo que involucra el caminado. Posteriormente se describen los métodos de caminado implementados y su análisis de estabilidad utilizando el criterio del ZMP.



- El Capítulo 5 presenta el sistema de percepción. En este capítulo se describen tanto el sistema de visión como su coordinación con los servomotores para alcance y manipulación de objetos.
- El Capítulo 6 presenta las pruebas y resultados de los algoritmos mencionados en los capítulos previos.
- Finalmente, en el Capítulo 7 se muestran las conclusiones obtenidas del trabajo de Tesis así como los objetivos alcanzados y el trabajo futuro con el prototipo.



# Capítulo 2

## Descripción del Robot Humanoide

### AH1N2

El Robot Humanoide AH1N2 se construyó a partir de su predecesor AH1N1 [13]. Este prototipo cuenta con 26 GDL (12 en Piernas, 10 en Brazos, 2 en Torso y 2 en Cabeza). Esto se traduce en 26 servomotores colocados directamente en cada articulación. Se utilizaron 2 servomotores RX-10 (cabeza), 4 servomotores RX-64 (torso y rodillas) y 22 servomotores RX-28 (piernas y brazos). Esto debido a que los pares requeridos varían, al igual que el peso de los servomotores. Los servomotores están unidos a partir de piezas estándar fabricadas por Robotis y piezas manufacturadas específicamente para el robot, estas piezas están hechas de Aluminio. Para el control de los servomotores se utilizó una Roboard RB-100 y el protocolo de comunicación RS-485. Se conectaron 2 cadenas, una para la parte superior y otra para la parte inferior, como se muestra en la Figura 2.1. Esto provocó que el bus de comunicación fuera muy largo y entonces se generaban problemas en la comunicación. Estas cadenas se conectaron en paralelo para poder conectarlas al único puerto RS-485 con el que cuenta la Roboard RB-100 y además para suministrarles el voltaje de manera independiente a la tarjeta.

Para el desarrollo del nuevo prototipo, primero se agregó una tarjeta como sub-controlador, dedicada exclusivamente a controlar los servomotores. Esta tarjeta es la CM-700. Al cambiar la tarjeta, también se cambiaron las conexiones entre los motores. Además, se cambió la estructura mecánica de la unidad pasajera y se agregó una cámara estereoscópica.

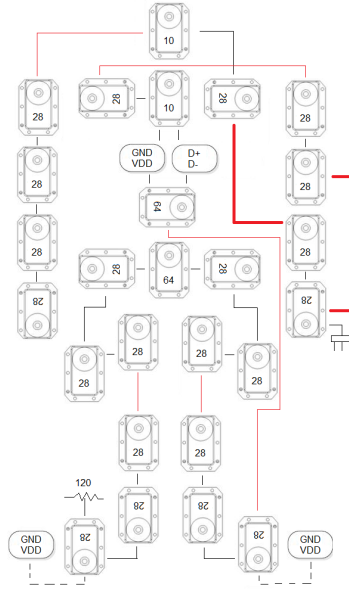


Figura 2.1: Conexión serie de 2 cadenas

## 2.1. Sistema Mecánico

### 2.1.1. Modificaciones del nuevo diseño

El tórax del nuevo prototipo se rediseñó para incluir tanto el subcontrolador como las baterías, además de que en el nuevo prototipo, las tarjetas y las baterías se colocaron dentro del tórax.

#### 2.1.1.1. Tórax

El tórax del prototipo anterior mostrado en la Figura 2.2, fue diseñado para contener un banco de baterías y una unidad de medición inercial. La Roboard fue colocada en la pared posterior y los servomotores se sujetaron tanto a esta pared como a las paredes laterales. Este diseño carecía de protección para la Roboard en caso de una caída hacia atrás además de que el espacio en el tórax era muy reducido para incluir el subcontrolador. Es por esto que se optó por diseñar un tórax para el nuevo prototipo.

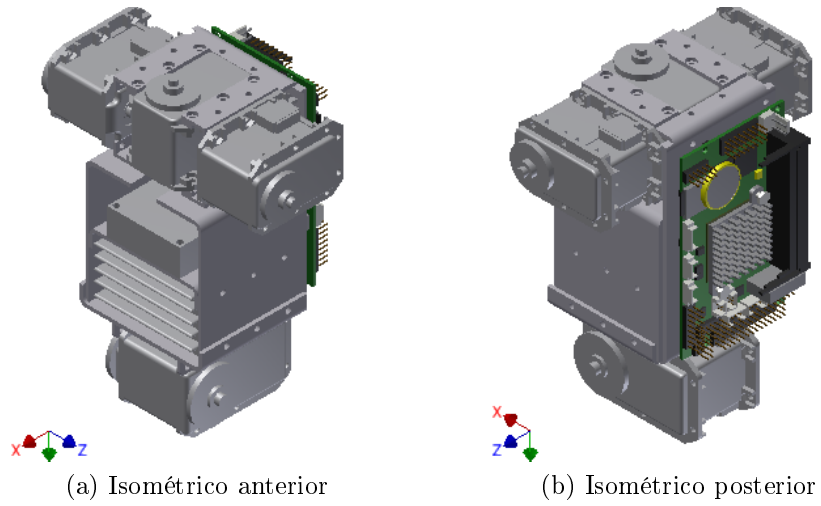


Figura 2.2: Tórax del prototipo anterior

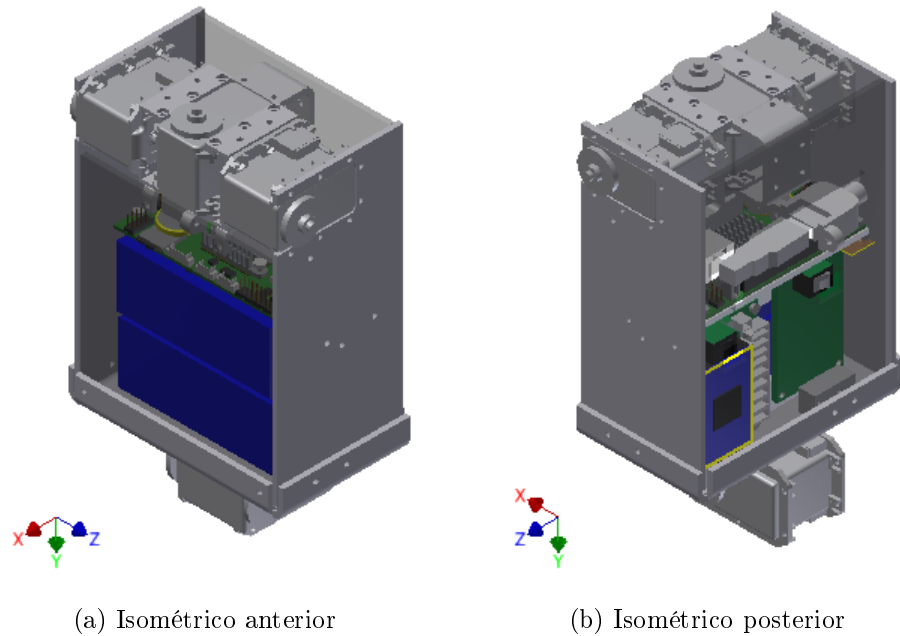


Figura 2.3: Tórax del nuevo prototipo

El tórax del nuevo prototipo mostrado en la Figura 2.3, cuenta con espacio para las 2 tarjetas además de 2 baterías Li-Po en vez del banco de baterías utilizado en el prototipo anterior. Además, cuenta con espacio para agregar una tarjeta adicional donde se añadirá la unidad de medición inercial además de dispositivos de entrada y

salida para la Roboard.

El sistema mecánico del prototipo anterior fue realizado a partir de los servomotores y de Duraluminio para proporcionar la rigidez necesaria a la estructura sin agregar peso de manera innecesaria. Para el nuevo prototipo se utilizó Alucobond en vez de Duraluminio ya que es más ligero y a la vez lo suficientemente rígido. También se utilizaron piezas impresas para los soportes de las tarjetas y como uniones para las placas del tórax. La configuración de las tarjetas fue elegida para que todos los puertos de ambas, estuviesen accesibles y a la vez para utilizar el menor espacio posible.

### 2.1.1.2. Brazos

El brazo del prototipo anterior contaba con 5 servomotores, incluyendo el servomotor encargado de abrir y cerrar el gripper. El brazo del nuevo prototipo cuenta con 6 debido a que se agregó el giro de la muñeca para aumentar su capacidad de manipular objetos. Ambos se muestran en la Figura 2.4. La configuración original de los servomotores también se modificó para la adición de un sexto servomotor, esto con el fin de que la longitud del brazo, tomando en cuenta únicamente los servomotores, aumentara ligeramente.

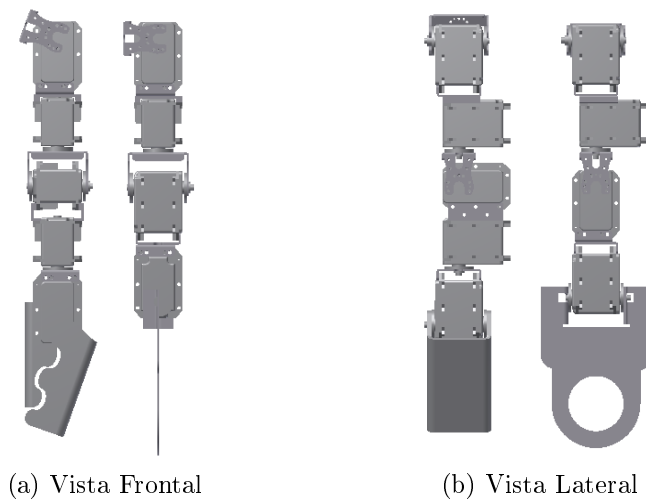


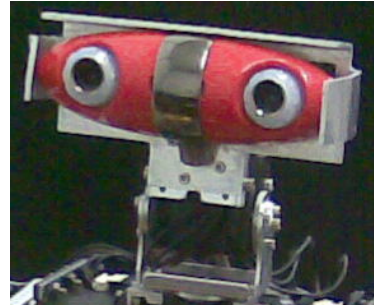
Figura 2.4: Comparación de brazos de ambos prototipos

### 2.1.1.3. Cabeza

La cabeza del prototipo anterior mostrada en la Figura 2.5a, fue modificada ligeramente para sustituir las cámaras Firefly por la Minoru. Primero se realizó una perforación en la parte posterior para pasar el cable USB de la Minoru para que así quedara centrada. Una vez colocada, se ajustaron las paredes laterales para fijarla a la base de aluminio, como se muestra en la Figura 2.5b.



(a) Modelo anterior



(b) Prototipo actual

Figura 2.5: Comparación de cabezas de ambos prototipos

### 2.1.2. Servomotores

Como se observa en la Tabla 2.1, los servomotores RX-10 utilizan un voltaje menor que los otros 2 modelos, entonces se cambiaron los 2 servomotores RX-10 por RX-28 para poder aprovechar al máximo el rango de voltaje con el que trabajan los servomotores.

	RX-10	RX-28	RX-64
Par ( $N \cdot m$ )	1.3	3.7	5.3
Voltaje (V)	9 12	12 18.5	12 18.5
Corriente (A)	0.8	1.9	2.6

Tabla 2.1: Principales propiedades de los servomotores

Debido a que los servomotores se conectan en serie, previamente se asigna un ID a cada motor y este ID se utiliza dentro del paquete de datos donde se transmiten las direcciones de los datos que se escribirán a cada motor, como posición y velocidad.

## 2.2. Sistema Computacional

El motivo por el cual se decidió utilizar dos tarjetas fue incluir visión artificial en el robot humanoide, así como capacidades de más alto nivel como el control del caminado o de su comportamiento. La inclusión del segundo controlador cambió la manera en que se ejecutaron originalmente los algoritmos de caminado utilizando únicamente el controlador CM-700 o únicamente la Roboard. El cálculo de trayectorias y los programas de visión artificial se ejecutaron en la Roboard y el controlador se utilizó como interfaz para el manejo de los servomotores.

### 2.2.1. Roboard RB-100

La Roboard RB-100, mostrada en la Figura 2.6, es una computadora de 32 bits con un procesador de 1 GHz. Sus especificaciones completas se encuentran en el Apéndice A. Se utiliza como controlador principal donde se ejecutan los programas, tanto de visión como de trayectorias articulares y estos a su vez se comunican con el subcontrolador CM-700. Para trabajar con la Roboard, se le instaló la imagen de Lubuntu 10.04 disponible en la página web de Roboard. El proceso de configuración se encuentra descrito en el Apéndice B.

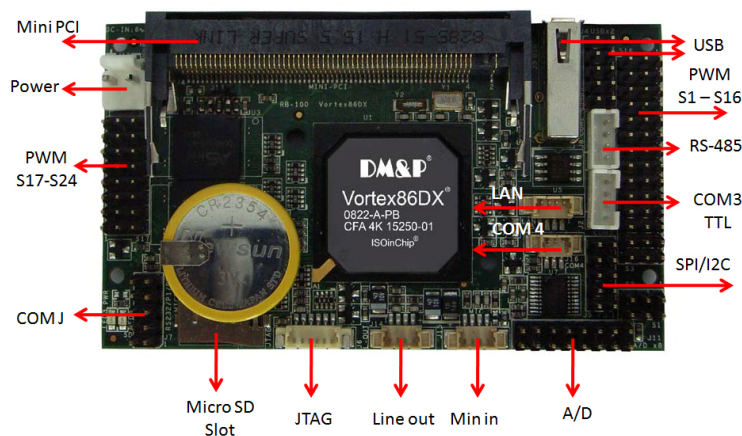


Figura 2.6: Roboard RB-100



### 2.2.2. CM-700

El controlador CM-700 mostrado en la Figura 2.7 se utiliza para controlar servomotores de Dynamixel a través de RS-485 (5 puertos) o TTL (4 puertos) dependiendo de la serie de los motores utilizados. Tiene un procesador cuya frecuencia máxima de trabajo es de 16 MHz.

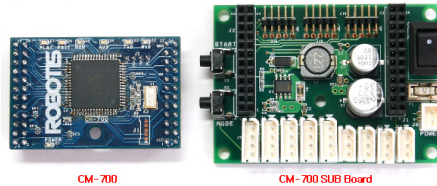


Figura 2.7: Controlador CM-700

Se conectaron los servomotores mediante 5 cadenas (Brazos, Piernas y una cadena Central), reemplazando las 2 cadenas previamente conectadas en el prototipo anterior. Esto con el fin de probar independientemente cada cadena cinemática sin la necesidad de conectar los 28 motores a la tarjeta, además de que se simplificaron las conexiones, como se muestra en la Figura 2.8.

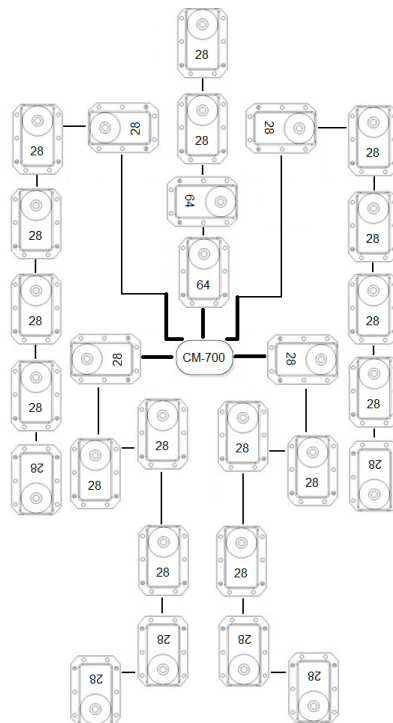


Figura 2.8: Conexiones de los servomotores al controlador CM-700

### 2.2.3. RoboPlus

RoboPlus es un programa distribuido por la empresa Robotis con el cual se prueban los servomotores y se cargan programas a los diferentes controladores de Robotis, en este caso el CM-700. Lo primero que se hace antes de trabajar con los servomotores de Dynamixel, es verificar su correcto funcionamiento y asignar sus correspondientes ID. Para transferir programas al controlador CM-700 se utiliza la Terminal del RoboPlus y el convertidor usb-serie LN-101. Estos programas no se crean directamente en el RoboPlus, a diferencia de los programas básicos con RoboPlus Task y RoboPlus Motion, estos se crean mediante Atmel Studio y se programan en lenguaje C.

### 2.2.4. Minoru 3D Webcam

El prototipo anterior utilizaba 2 cámaras Firefly mv de Point Grey. En este proyecto se optó por utilizar una cámara estereoscópica que utiliza un único puerto USB ya que las cámaras Point Grey requieren de controladores adicionales para utilizarse, además de que es más complicado utilizar 2 cámaras en OpenCV. La Minoru 3D Webcam, mostrada en la Figura 2.9, es una cámara diseñada para realizar conversaciones en línea desplegando imágenes 3D del usuario y debido a que es una cámara de uso comercial, fue más fácil utilizarla en conjunto con OpenCV.



Figura 2.9: Minoru 3D Webcam

## 2.2.5. Comunicación

La Roboard cuenta con diferentes protocolos de comunicación: RS-232, RS-485 y TTL, entre otros. Debido a la ausencia de documentación sobre el puerto serie del controlador CM-700 y a la incompatibilidad de voltajes entre los puertos de ambas tarjetas, no fue posible conectar directamente los puertos serie de los controladores. Así la comunicación entre los controladores se realizó mediante la comunicación serie utilizando el convertidor USB-serie LN-101. Utilizando este convertidor fue posible manipular el puerto USB de la Roboard como un puerto serie virtual y se logró la comunicación con el controlador CM-700 sin la necesidad de utilizar la terminal de RoboPlus, esto con el fin de controlar los servomotores desde la Roboard.

### 2.2.5.1. Roboard-CM

La comunicación serie entre las tarjetas se realiza a través de la transmisión y recepción de arreglos de caracteres sin signo, es por esto que, para comunicar la Roboard con el controlador CM-700, se desarrolló un algoritmo de codificación y decodificación de datos. Este algoritmo permite transmitir una variable de tipo doble utilizando únicamente dos datos de tipo caracter sin signo. Para cada servomotor se realizó lo siguiente:

1. Se toma la variable articular de la trayectoria y se asegura que no entre en conflicto con la transmisión de datos eliminando los ceros. Posteriormente se convierte a un arreglo de caracteres.
2. Se guarda su parte entera y dos decimales en arreglos separados.
3. Se convierten ambos arreglos de caracteres a entero y se guardan como caracteres sin signo, los cuales serán transmitidos. Al guardarse como caracteres sin signo, los valores quedan dentro del intervalo de 1 a 255 y la conversión de números negativos se realiza de manera automática.

El proceso inverso se utiliza para la decodificación dentro del controlador CM-700 y este proceso se ilustra en la Figura 2.10. El proceso detallado de conversión de datos se encuentra en el Apéndice D.



para acceder a ella. No se requiere instalar ningún controlador adicional y su manejo con OpenCV se hace como si se tuvieran conectadas dos cámaras web.

### 2.2.5.3. CM700-Servomotores

Para la comunicación con los servomotores desde el controlador CM-700, se utilizan las librerías de Dynamixel programadas en C Embebido. Para esto únicamente se utilizan dos instrucciones *dxl\_read\_word* y *dxl\_write\_word*. Ambas instrucciones reciben como primer parámetro el ID del servomotor y como segundo parámetro el registro en la memoria que se leerá o modificará, respectivamente. Los datos que utilizan son enteros de 2 bytes.

## 2.3. Sistema Electrónico

La Roboard se conectó en paralelo al controlador CM-700 para que ambos encendieran al mismo tiempo al igual que los servomotores. Es posible apagar el controlador una vez encendida la Roboard pero no se recomienda encenderlo, una vez encendida ésta. Esto debido al pico de corriente que los servomotores generan al momento de encenderse, ya que esto puede provocar que la Roboard se apague y se reinicie, y como cualquier otra computadora, lo cual no es deseable. Esta conexión en paralelo se realizó mediante la adición de una tercera tarjeta únicamente con un interruptor y tres conectores de dos vías, dos para la Roboard y para el controlador, y uno para la conexión paralela de las baterías. El consumo energético de los diversos componentes del prototipo, se muestran en la Tabla 2.2. A partir de estos datos y el tiempo de operación deseado, fueron seleccionaron las baterías.

	RB-100	CM-700	RX-28	RX-64	Total
RB-100	1				0.4
CM-700		1			0.04
RX-28			1		0.05
RX-64				1	0.05
Brazo	1	1	6		0.74
Pierna	1	1	5	1	0.74
Central	1	1	2	2	0.64
2 piernas	1	1	10	2	1.04
Completo	1	1	24	4	1.64

Tabla 2.2: Consumo energético en modo de espera

### 2.3.1. Baterías

Se utilizaron baterías Li-Po como fuente de voltaje ya que son las más utilizadas en sistemas embebidos debido a que su densidad de energía es mayor y por lo tanto su tamaño es reducido. Se utilizan dos baterías de 18.5 V y 2250 mAh conectadas en paralelo. Las baterías a su vez se conectaron a una tarjeta donde se colocó un interruptor para encender ambos controladores.

# Capítulo 3

## Modelado

El modelado del sistema es fundamental para tratar de predecir su comportamiento bajo condiciones reales. Este puede ser cinemático o dinámico. El modelo cinemático se utiliza para obtener trayectorias en el espacio sin considerar las fuerza a las que estará sometido el prototipo. En cambio, el modelo dinámico considera las fuerzas necesarias para producir dicho movimiento y nos brinda una mejor aproximación a las condiciones reales en las que el prototipo se pondrá a prueba.

### 3.1. Modelo Cinemático

Para obtener el modelo cinemático del humanoide se utilizó la metodología de Denavit-Hartenberg. La cinemática de las piernas, tanto directa como inversa, fue resuelta utilizando esta metodología. Por su parte, la cinemática de los brazos fue resuelta mediante un método geométrico.

#### 3.1.1. Metodología de Denavit-Hartenberg

La metodología de Denavit-Hartenberg (DH) se utiliza para determinar la pose (posición y orientación) del efector final con respecto a su base en función de los valores de sus coordenadas articulares (cinemática directa). Primero se establece un referencial fijo a cada eslabón del robot. Este referencial tiene su eje  $Z$  en el eje de revolución de la articulación que conecta el eslabón actual con el siguiente. Además, los referenciales asociados a eslabones adyacentes cumplen con las siguientes propiedades:

- DH1: El eje  $x_i$  es perpendicular al eje  $z_{i-1}$

- DH2: El eje  $x_i$  interseca al eje  $z_{i-1}$

Una vez fijos los referenciales, se hace una tabla cuyos renglones representan cada una de las articulaciones del mecanismo y cuyas columnas representan los parámetros DH  $\theta_i, \alpha_i, a_i, d_i$

articulación i	$\theta_i$	$\alpha_i$	$a_i$	$d_i$
1				
2				
3				
$\vdots$				

Tabla 3.1: Tabla de parámetros de DH

donde:

- $\theta_i$ : ángulo entre  $x_{i-1}$  y  $x_i$  medido alrededor de  $z_{i-1}$ .  $\theta_i$  es variable si la articulación  $i$  es rotacional.
- $\alpha_i$ : ángulo entre  $z_{i-1}$  y  $z_i$  medido alrededor del eje  $x_i$ .
- $a_i$ : distancia sobre  $x_i$  desde  $O_i$  a la intersección de los ejes  $x_i$  y  $z_{i-1}$ .
- $d_i$ : distancia sobre  $z_{i-1}$  desde  $O_i$  a la intersección de los ejes  $x_i$  y  $z_{i-1}$ .  $d_i$  es variable si la articulación  $i$  es prismática. [14]

El  $i$ -ésimo eslabón se caracteriza por su longitud  $a_i$  y su torcedura  $\alpha_i$ , mientras que la  $i$ -ésima articulación se caracteriza por la distancia entre eslabones  $d_i$  y el ángulo entre eslabones  $\theta_i$ . Cada uno de los renglones de esta tabla nos permite obtener las matrices  $A_i$ , donde cada matriz representa la transformación homogénea entre los referenciales  $i - 1$  e  $i$ , y tiene la forma siguiente:

$$A_i = \begin{bmatrix} R_{i-1}^i & d_{i-1}^i \\ 0 & 1 \end{bmatrix} = \begin{bmatrix} c_{\theta_i} & -s_{\theta_i}c_{\alpha_i} & s_{\theta_i}s_{\alpha_i} & a_i c_{\theta_i} \\ s_{\theta_i} & c_{\theta_i}c_{\alpha_i} & -c_{\theta_i}s_{\alpha_i} & a_i s_{\theta_i} \\ 0 & s_{\alpha_i} & c_{\alpha_i} & d_i \\ 0 & 0 & 0 & 1 \end{bmatrix}$$



donde  $c_{\theta_i} = \cos(\theta_i)$  y  $s_{\theta_i} = \sin(\theta_i)$ . Una vez obtenidas las matrices  $\{A_i : 1 \leq i \leq n\}$ , se puede obtener la pose del referencial  $n$  con respecto al referencial 0 mediante la multiplicación de matrices

$$A_1 A_2 \cdots A_n = T_0^n$$

### 3.1.2. Cinemática de las piernas

#### 3.1.2.1. Cinemática Directa

Para determinar la cinemática, primero se fijan los referenciales a los eslabones de la pierna de acuerdo a DH y se obtiene el diagrama cinemático mostrado en la Figura 3.1. Estos referenciales comienzan en la articulación de la cadera con el referencial 0 y terminan en el pie con el referencial 6. Una vez establecidos los referenciales, se obtienen los parámetros de DH mostrados en la Tabla 3.2

articulación i	$\theta_i$	$\alpha_i$	$a_i$	$d_i$
Jd1	$\theta_1$	$90^\circ$	0	0
Jd2	$\theta_2 - 90^\circ$	$-90^\circ$	0	0
Jd3	$\theta_3$	0	$L_{d3}$	0
Jd4	$\theta_4$	0	$L_{d4}$	0
Jd5	$\theta_5$	$90^\circ$	0	0
Jd6	$\theta_6$	0	$L_{d5}$	0

Tabla 3.2: Tabla de parámetros de la pierna

Utilizando la Tabla 3.2 se obtienen las matrices de paso  $A_i$

$$\begin{aligned}
 A_1 &= \begin{bmatrix} c_1 & 0 & s_1 & 0 \\ s_1 & 0 & -c_1 & 0 \\ 0 & 1 & 0 & 0 \\ 0 & 0 & 0 & 1 \end{bmatrix} &
 A_2 &= \begin{bmatrix} s_2 & 0 & c_2 & 0 \\ -c_2 & 0 & s_2 & 0 \\ 0 & -1 & 0 & 0 \\ 0 & 0 & 0 & 1 \end{bmatrix} &
 A_3 &= \begin{bmatrix} c_3 & -s_3 & 0 & L_{d3}c_3 \\ s_3 & c_3 & 0 & L_{d3}s_3 \\ 0 & 0 & 1 & 0 \\ 0 & 0 & 0 & 1 \end{bmatrix} \\
 A_4 &= \begin{bmatrix} c_4 & -s_4 & 0 & L_{d4}c_4 \\ s_4 & c_4 & 0 & L_{d4}s_4 \\ 0 & 0 & 1 & 0 \\ 0 & 0 & 0 & 1 \end{bmatrix} &
 A_5 &= \begin{bmatrix} c_5 & 0 & s_5 & 0 \\ s_5 & 0 & -c_5 & 0 \\ 0 & 1 & 0 & 0 \\ 0 & 0 & 0 & 1 \end{bmatrix} &
 A_6 &= \begin{bmatrix} c_6 & -s_6 & 0 & L_{d5}c_6 \\ s_6 & c_6 & 0 & L_{d5}s_6 \\ 0 & 0 & 1 & 0 \\ 0 & 0 & 0 & 1 \end{bmatrix}
 \end{aligned}$$

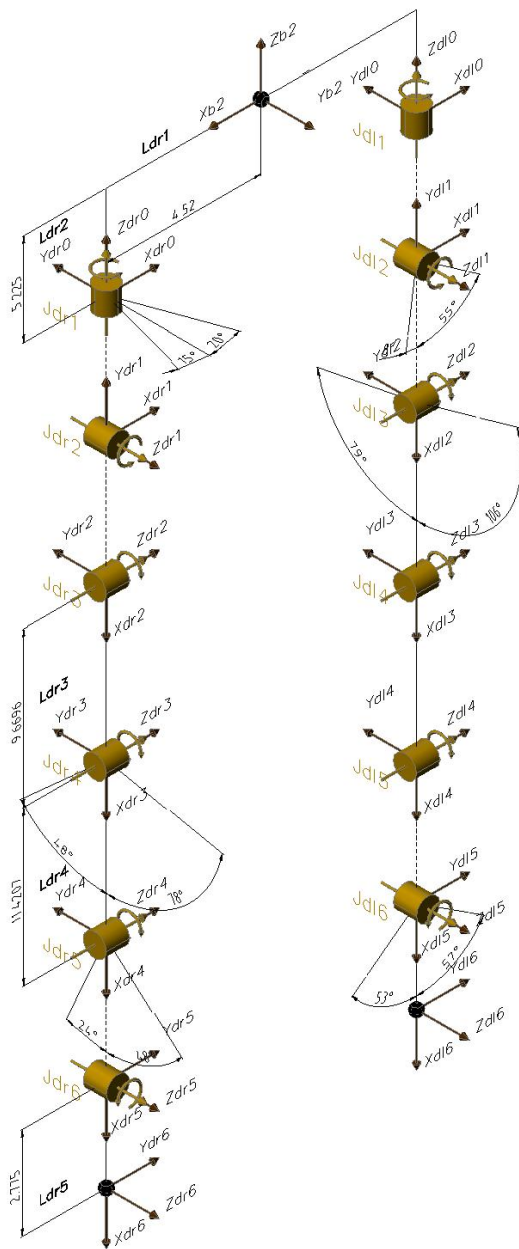


Figura 3.1: Diagrama Cinemático de las Piernas

Para obtener la transformación homogénea del referencial del pie con respecto a la articulación de la cadera realizamos la multiplicación de matrices

$$A_1 A_2 A_3 A_4 A_5 A_6 = T_0^6 = \begin{bmatrix} x_6 & y_6 & z_6 & p_6 \\ 0 & 0 & 0 & 1 \end{bmatrix} = \begin{bmatrix} n & s & a & p \\ 0 & 0 & 0 & 1 \end{bmatrix} \quad (3.1)$$

donde  $x_6$ ,  $y_6$  y  $z_6$  representan los vectores unitarios del referencial 6. Los vectores  $[n$ ,

s, a, p] representan el vector normal, el vector de deslizamiento (*sliding*), el vector de acercamiento (*approach*) y el vector de posición, respectivamente. Para obtener la transformación homogénea del referencial del pie con respecto al de la cadera (b2), incluimos la siguiente matriz de transformación:

$$A_0 = \begin{bmatrix} -1 & 0 & 0 & ls * L_{d1} \\ 0 & -1 & 0 & 0 \\ 0 & 0 & -1 & -L_{d2} \\ 0 & 0 & 0 & 1 \end{bmatrix} \quad (3.2)$$

donde  $ls$  es igual a 1 para la pierna derecha y -1 para la pierna izquierda.

$$A_0 A_1 A_2 A_3 A_4 A_5 A_6 = T_{b2}^6 \quad (3.3)$$

### 3.1.2.2. Cinemática Inversa

Para obtener la cinemática inversa de la pierna, es decir, los valores articulares a partir de una pose definida del pie, se utiliza el hecho de que los ejes de las primeras 3 articulaciones se intersecan. Se resuelve el problema cinemático inverso mediante la separación del problema en 2 partes: posición y orientación. El método de desacoplamiento cinemático establecido por Pieper [15] se utiliza para resolver la cinemática inversa de un robot de 6 gdl que tiene una muñeca esférica (3 ejes articulares que se intersecan) unida a su efector final, debido a esto la posición del efector final está dada por los primeros 3 gdl y su orientación por los últimos 3. Este método no puede aplicarse directamente ya que son las primeras 3 articulaciones las que se intersecan y no las últimas, debido a esto se debe utilizar la matriz de transformación inversa que relaciona las coordenadas de la cadera con el referencial del pie.

$$T_6^0 = \begin{bmatrix} n & s & a & p \\ 0 & 0 & 0 & 1 \end{bmatrix}^{-1} = \begin{bmatrix} n' & s' & a' & p' \\ 0 & 0 & 0 & 1 \end{bmatrix} = A_6^{-1} A_5^{-1} A_4^{-1} A_3^{-1} A_2^{-1} A_1^{-1} \quad (3.4)$$

Una vez obtenida esta matriz, se aplica el método de desacoplamiento inverso [16], el cual consiste en determinar los ángulos  $\theta_4$ ,  $\theta_5$  y  $\theta_6$  a partir del vector de posición inverso y posteriormente obtener los ángulos restantes utilizando el método de transformación

inversa.

Para obtener  $\theta_4$ ,  $\theta_5$  y  $\theta_6$ , igualamos los términos del vector de posición  $p'$  en ambos lados de la ecuación (3.4)

$$-C_6(C_{45}L_{d3} + C_5L_{d4}) = p'_x + L_{d5} \quad (3.5)$$

$$-S_{45}L_{d3} - S_5L_{d4} = p'_z \quad (3.6)$$

$$S_6(C_{45}L_{d3} + C_5L_{d4}) = p'_y \quad (3.7)$$

donde  $C_{ij} = \cos(\theta_i + \theta_j)$  y  $S_{ij} = \sin(\theta_i + \theta_j)$ .

Elevando al cuadrado y sumando las 3 ecuaciones previas, obtenemos  $C_4$

$$C_4 = \frac{(p'_x + L_{d5})^2 + p_y'^2 + p_z'^2 - L_{d3}^2 - L_{d4}^2}{2L_{d3}L_{d4}}$$

Utilizamos la función *atan2* para obtener  $\theta_4$

$$\theta_4 = \text{atan2}(\pm\sqrt{1 - C_4^2}, C_4) \quad (3.8)$$

Elevamos al cuadrado, sumamos las ecuaciones (3.5) y (3.6), y expandimos el resultado para obtener

$$C_5(C_4L_{d3} + L_{d4}) - S_4S_5L_{d3} = \pm\sqrt{(p'_x + L_{d5})^2 + p_y'^2} \quad (3.9)$$

Expandimos la ecuación (3.7) y obtenemos

$$S_6(C_4L_{d3} + L_{d4}) + C_5(S_4L_{d3}) = -p'_z \quad (3.10)$$

Sean  $C_4L_{d3} + L_{d4} = rC_\psi$  y  $S_4L_{d3} = rS_\psi$ , y al sustituir los términos en las ecuaciones (3.9) y (3.10), obtenemos correspondientemente

$$rC_{5\psi} = \pm\sqrt{(p'_x + L_{d5})^2 + p_y'^2} \quad (3.11)$$

$$rS_{5\psi} = -p'_z \quad (3.12)$$

donde  $r = \sqrt{(p'_x + L_{d5})^2 + p_y'^2 + p_z'^2}$  y  $\psi = \text{atan2}(S_4L_{d3}, C_4L_{d3} + L_{d4})$ . Dividimos la

ecuación (3.12) por la ecuación (3.11), obtenemos  $\tan(\theta_5 + \psi)$  y finalmente

$$\theta_5 = \text{atan2}(-p'_z, \pm \sqrt{(p'_x + L_{d5})^2 + p'^2_y}) - \psi \quad (3.13)$$

Dividimos la ecuación (3.6) por la ecuación (3.5) y obtenemos  $\theta_6$

$$\theta_6 = \text{atan2}(p'_y, -p'_x - L_{d5}) \quad (3.14)$$

Para aplicar el método de transformación inversa y obtener las variables restantes, primero premultiplicamos la ecuación (3.4) por  $A_6$

$$A_6 \begin{bmatrix} n' & s' & a' & p' \\ 0 & 0 & 0 & 1 \end{bmatrix} = A_5^{-1} A_4^{-1} A_3^{-1} A_2^{-1} A_1^{-1} \quad (3.15)$$

Definimos la matriz del lado izquierdo como  $G_2^{LHS}$  y la matriz del lado derecho como  $G_2^{RHS}$

$$G_2^{LHS} = A_6 \begin{bmatrix} n' & s' & a' & p' \\ 0 & 0 & 0 & 1 \end{bmatrix} = \begin{bmatrix} n'_x C_6 - n'_y S_6 & s'_x C_6 - s'_y S_6 & a'_x C_6 - a'_y S_6 & p'_x C_6 - p'_y S_6 + L_{d5} C_6 \\ n'_x S_6 + n'_y C_6 & s'_x S_6 + s'_y C_6 & a'_x S_6 + a'_y C_6 & p'_x S_6 + p'_y C_6 + L_{d5} S_6 \\ n'_z & s'_z & a'_z & p'_z \\ 0 & 0 & 0 & 1 \end{bmatrix}$$

$$G_2^{RHS} = A_5^{-1} A_4^{-1} A_3^{-1} A_2^{-1} A_1^{-1} = \begin{bmatrix} C_1 S_2 C_{345} - S_1 S_{345} & S_1 S_2 C_{345} + C_1 S_{345} & -C_2 C_{345} & -L_{d3} C_{45} - L_{d4} C_5 \\ C_1 C_2 & S_1 C_2 & S_2 & 0 \\ C_1 S_2 S_{345} + S_1 C_{345} & S_1 S_2 S_{345} - C_1 C_{345} & -C_2 S_{345} & -L_{d3} S_{45} - L_{d4} S_5 \\ 0 & 0 & 0 & 1 \end{bmatrix}$$

Comparamos el elemento (2,3) de  $G_2^{RHS}$  y  $G_2^{LHS}$  y obtenemos  $\theta_2$

$$\theta_2 = \text{atan2}(a'_x S_6 + a'_y C_6, \pm \sqrt{1 - (a'_x S_6 + a'_y C_6)^2}) \quad (3.16)$$

Si comparamos los elementos (2,1) y (2,2), obtenemos 2 ecuaciones

$$C_1C_2 = n'_xS_6 + n'_yC_6 \quad (3.17)$$

$$S_1C_2 = s'_xS_6 + s'_yC_6 \quad (3.18)$$

Dividiendo la ecuación (3.18) por la ecuación (3.17) obtenemos  $\theta_1$

$$\theta_1 = \text{atan2}(s'_xS_6 + s'_yC_6, n'_xS_6 + n'_yC_6) \quad (3.19)$$

Si comparamos los elementos (1,3) y (3,3), obtenemos 2 ecuaciones

$$-C_2C_{345} = a'_xC_6 - a'_yS_6 \quad (3.20)$$

$$-C_2S_{345} = a'_z \quad (3.21)$$

Dividiendo la ecuación (3.21) por la ecuación (3.20) obtenemos  $\theta_{345}$

$$\theta_{345} = \text{atan2}(a'_z, a'_xC_6 - a'_yS_6) \quad (3.22)$$

Finalmente, obtenemos  $\theta_3$

$$\theta_3 = \theta_{345} - \theta_4 - \theta_5 \quad (3.23)$$

### 3.1.3. Cinemática de los Brazos

#### 3.1.3.1. Cinemática Directa

Para determinar la cinemática se realiza un proceso similar al de las piernas. Primero se obtiene el diagrama cinemático mostrado en la Figura 3.2. Estos referenciales comienzan en el hombro con el referencial 0 y terminan en el centro de la mano con el referencial 5. Una vez establecidos los referenciales, se obtienen los parámetros de DH mostrados en la Tabla 3.3

articulación $i$	$\theta_i$	$\alpha_i$	$a_i$	$d_i$
Ju1	$\theta_1 - 90^\circ$	$90^\circ$	0	0
Ju2	$\theta_2 + 90^\circ$	$-90^\circ$	0	0
Ju3	$\theta_3 + 90^\circ$	$90^\circ$	0	$-L_{u2}$
Ju4	$\theta_4$	$-90^\circ$	0	0
Ju5	$\theta_5$	$0^\circ$	0	$-L_{u3}$

Tabla 3.3: Tabla de parámetros del brazo

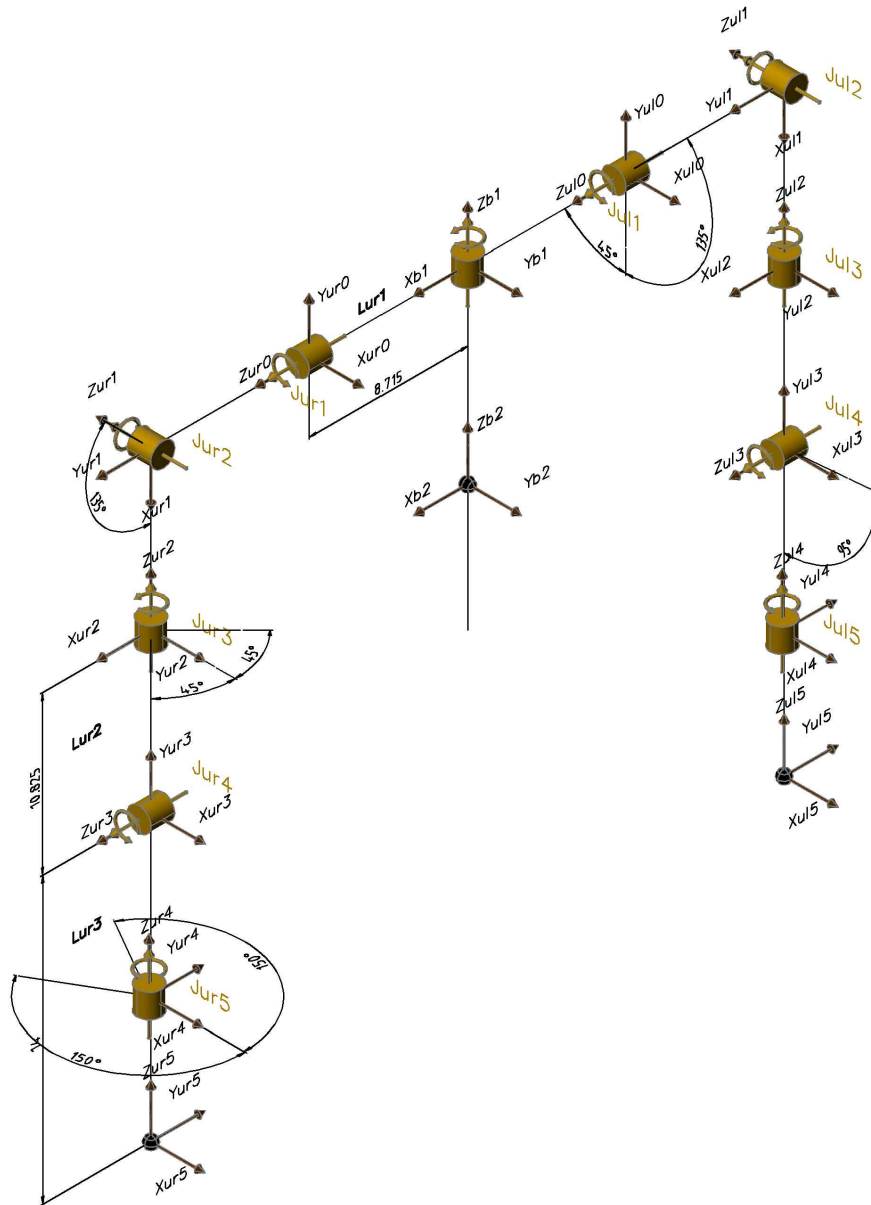


Figura 3.2: Diagrama cinemático de los brazos

Utilizando la Tabla 3.3 obtenemos las matrices de paso  $A_i$

$$\begin{aligned}
 A_1 &= \begin{bmatrix} s_1 & 0 & -c_1 & 0 \\ -c_1 & 0 & -s_1 & 0 \\ 0 & 1 & 0 & 0 \\ 0 & 0 & 0 & 1 \end{bmatrix} & A_2 &= \begin{bmatrix} -s_2 & 0 & -c_2 & 0 \\ c_2 & 0 & -s_2 & 0 \\ 0 & -1 & 0 & 0 \\ 0 & 0 & 0 & 1 \end{bmatrix} & A_3 &= \begin{bmatrix} -s_3 & 0 & c_3 & 0 \\ c_3 & 0 & s_3 & 0 \\ 0 & 1 & 0 & -L_{u2} \\ 0 & 0 & 0 & 1 \end{bmatrix} \\
 A_4 &= \begin{bmatrix} c_4 & 0 & -s_4 & 0 \\ s_4 & 0 & c_4 & 0 \\ 0 & -1 & 0 & 0 \\ 0 & 0 & 0 & 1 \end{bmatrix} & A_5 &= \begin{bmatrix} c_5 & -s_5 & 0 & 0 \\ s_5 & c_5 & 0 & 0 \\ 0 & 0 & 1 & -L_{u3} \\ 0 & 0 & 0 & 1 \end{bmatrix}
 \end{aligned}$$

Para obtener la transformación homogénea del referencial de la mano con respecto al del hombro realizamos la multiplicación de matrices

$$A_1 A_2 A_3 A_4 A_5 = T_0^5 = \begin{bmatrix} x_5 & y_5 & z_5 & p_5 \\ 0 & 0 & 0 & 1 \end{bmatrix} \quad (3.24)$$

Para obtener la transformación homogénea del referencial de la mano con respecto al del pecho (b1), incluimos la siguiente matriz de transformación:

$$A_0 = \begin{bmatrix} 0 & 0 & 1 & ls * L_{u1} \\ 1 & 0 & 0 & 0 \\ 0 & 1 & 0 & 0 \\ 0 & 0 & 0 & 1 \end{bmatrix} \quad (3.25)$$

donde  $ls$  es igual a 1 para el brazo derecho y -1 para el brazo izquierdo.

$$A_0 A_1 A_2 A_3 A_4 A_5 = T_{b1}^5 \quad (3.26)$$

### 3.1.3.2. Cinemática Inversa

Para resolver la cinemática inversa de los brazos no es posible utilizar la cinemática directa ya que, debido a que tienen 5 gdl, no es posible especificar una orientación independiente de la posición en todo el espacio de trabajo. Debido a esto, se optó por utilizar un método geométrico que dependiera únicamente de la posición para determi-



nar la cinemática inversa. Ya que el giro de la muñeca no interviene en la posición de la mano, este gdl no se considera para la cinemática inversa.

Primero expresamos las coordenadas de la mano con respecto al referencial del hombro ( $X_0, Y_0, Z_0$ ) y se obtiene la flexión-extensión del codo, representado por  $\theta_4$ , de manera exacta a partir del triángulo que se forma entre el brazo y el vector que va del hombro a la mano, mostrado en la Figura 3.3.

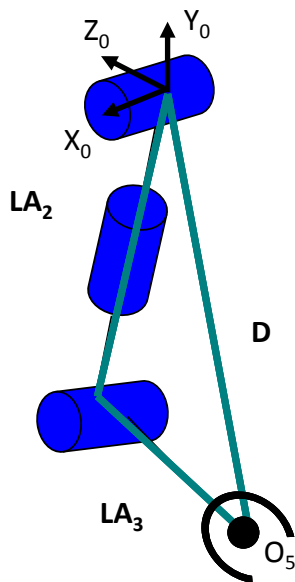


Figura 3.3: Triángulo formado por el brazo y el vector de posición

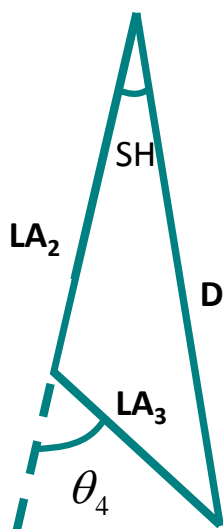


Figura 3.4: Triángulo con flexión-extensión del codo y SH

Tomando el plano en el que se encuentra este triángulo, mostrado en la Figura 3.4, se obtiene la variable articular  $\theta_4$  utilizando ley de cosenos.

$$C_4 = \frac{L_{A2}^2 + L_{A3}^2 - \|\mathbf{D}\|^2}{2L_{A2}L_{A3}} \quad (3.27)$$

$$\theta_4 = \text{atan2}(-\sqrt{1 - C_4^2}, C_4) \quad (3.28)$$

Para obtener  $\theta_1$  utilizamos el ángulo denominado SH (ángulo entre el brazo y el vector  $\mathbf{D}$ ) y la magnitud del vector  $\mathbf{D}$  proyectado en el plano sagital, mostrado en la Figura 3.5. Obtenemos un vector  $\mathbf{D}_{eq}$  y con la magnitud del vector  $\mathbf{D}$  original obtenemos un factor de escala.

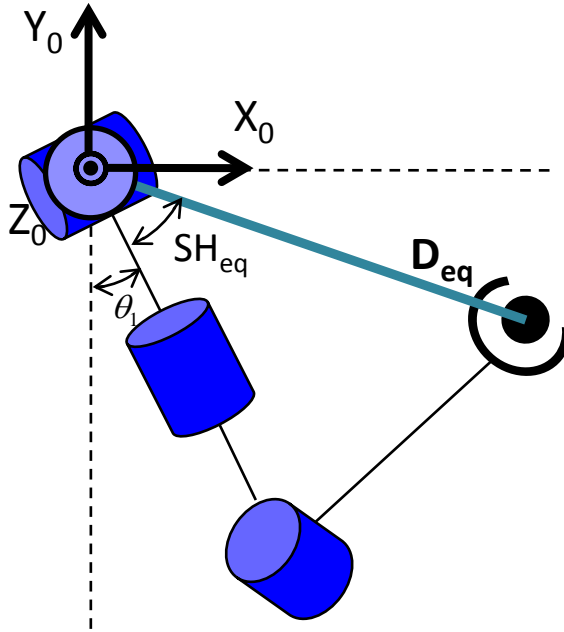


Figura 3.5: Proyección en el plano sagital

$$C_{SH} = \frac{L_{A2}^2 + \|\mathbf{D}\|^2 - L_{A3}^2}{2\|\mathbf{D}\|L_{A2}} \quad (3.29)$$

$$SH = \text{acos}(C_{SH}) \quad (3.30)$$

$$\mathbf{D}_{eq} = \sqrt{\mathbf{D}_x^2 + \mathbf{D}_y^2 + 0} \quad (3.31)$$

$$Scf = \frac{\|\mathbf{D}_{eq}\|}{\|\mathbf{D}\|} \quad (3.32)$$

$$\mathbf{SH}_{eq} = Scf * \mathbf{SH} \quad (3.33)$$

Si las coordenadas  $Y$  y  $Z$  son 0, el cálculo de  $\theta_1$  se reduce a

$$\theta_1 = 90 - atan2(-\mathbf{D}_y, \mathbf{D}_x) - SH. \quad (3.34)$$

Cuando las coordenadas son diferentes de 0, se presentan 2 casos: Cuando la coordenada  $y$  es negativa y cuando es positiva. Cuando la coordenada es negativa, la variable articular  $\theta_1$  se calcula como

$$\theta_1 = 90 - atan2(-\mathbf{D}_y, \mathbf{D}_x) - SH_{eq}. \quad (3.35)$$

Cuando la coordenada  $y$  es positiva, la variable articular  $\theta_1$  se calcula como

$$\theta_1 = 90 - atan2(-\mathbf{D}_y, \mathbf{D}_x) - \frac{SH}{Scf}. \quad (3.36)$$

Para el cálculo de  $\theta_2$  se tienen 2 casos: Cuando el producto de la coordenada  $z$  con el signo del brazo es menor o igual que 0 y cuando es mayor que 0

$$L * z \leq 0 \quad (3.37)$$

donde  $L$  es igual a 1 cuando el consideramos el brazo derecho y  $L$  es igual a -1 cuando consideramos el brazo izquierdo.

Cuando el producto es menor o igual que 0, simplemente se fija  $\theta_2$  como 0 y cuando es mayor que 0, se toma directamente el ángulo formado entre las componentes  $x$  y  $z$  del vector  $\mathbf{D}$ , mostrado en la Figura 3.6

$$\theta_2 = atan2(\mathbf{D}_z, \mathbf{D}_x) \quad (3.38)$$

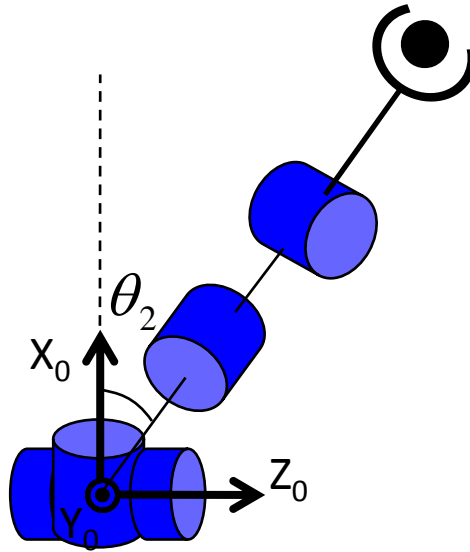


Figura 3.6: Cálculo de  $\theta_2$

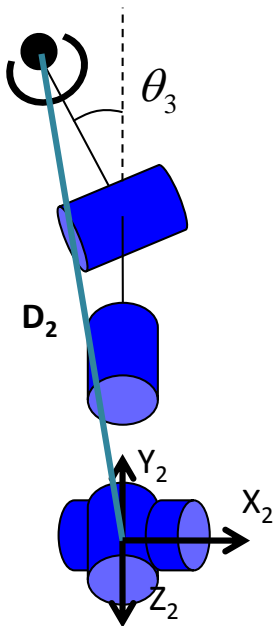


Figura 3.7: Cálculo de  $\theta_3$

Una vez obtenidos  $\theta_1$  y  $\theta_2$ , calculamos la posición de la mano con respecto a  $O_2$  y

calculamos  $\theta_3$  a partir de sus componentes  $x$  e  $y$ , mostrados en la Figura 3.7.

$$T_0^2 = A_1 A_2 \quad (3.39)$$

$$\mathbf{D}_2 = (T_0^2)^{-1} \mathbf{D} \quad (3.40)$$

$$\theta_3 = \text{atan2}(-\mathbf{D}_{2x}, \mathbf{D}_{2y}) \quad (3.41)$$

Este valor de  $\theta_3$  se calcula para ajustar la posición y reducir el error.

## 3.2. Modelado Virtual

Para el modelo virtual del humanoide se utilizó el lenguaje VRML (Virtual Reality Modeling Language), este lenguaje permite crear mundos virtuales y se puede utilizar en conjunto con diversos lenguajes de programación, en particular con Matlab. El uso de esta herramienta es únicamente como ayuda visual para la comprobación de la cinemática y para la generación de trayectorias. Esto quiere decir que los programas realizados no dependen de realimentación por parte del modelo virtual.

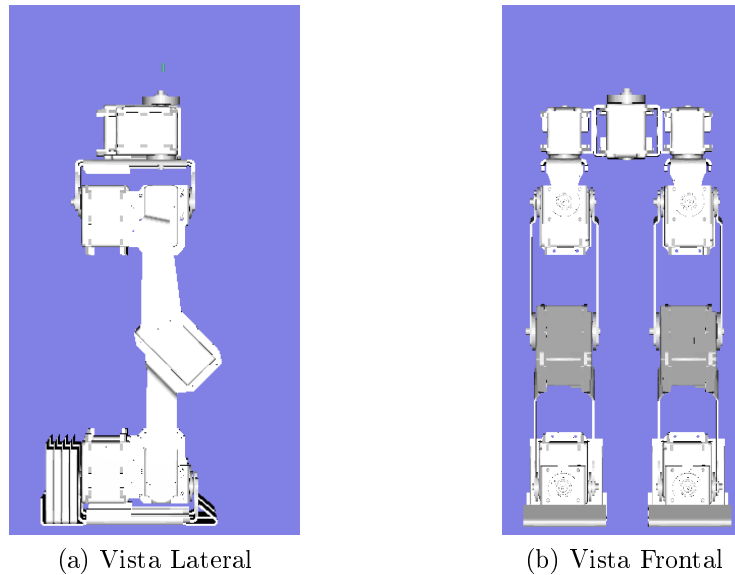


Figura 3.8: Modelo VRML de la Unidad Locomotora

### 3.2.1. Unidad Locomotora

Para comprobar la cinemática inversa de las piernas, primero se construyó un modelo virtual que consiste en ambas piernas y la cadera, mostrado en la Figura 3.10.

Este modelo virtual se construye a partir de los modelos virtuales creados mediante Inventor y posteriormente se ensamblan de manera jerárquica tomando la cadera como base y los demás eslabones se ensamblan utilizando el diagrama de DH como referencia. Primero, se transforman los referenciales de cada eslabón para que coincida el eje  $Z$  de los referenciales de DH y el eje  $Y$  del mundo virtual. Posteriormente se ensamblan 2 cadenas cinemáticas abiertas partiendo de la cadera cuyos efectores finales son ambos pies. Este proceso de ensamble se encuentra de manera detallada en la referencia [17] y el código generado en el Apéndice E. El modelo virtual puede manipularse mediante la interacción con un usuario o mediante otros lenguajes de programación.

#### 3.2.1.1. Simulador Cinemático

Para la comprobación de la cinemática, tanto directa como inversa, se utilizó Matlab. Este software tiene la ventaja de que tiene librerías para conectarse directamente con archivos VRML a través de interfaces gráficas o incluso a través de Simulink. Se eligió desarrollar una interfaz gráfica conectada a un mundo virtual para comprobar tanto cinemática inversa como cinemática directa, esta interfaz se muestra en la Figura 3.9.

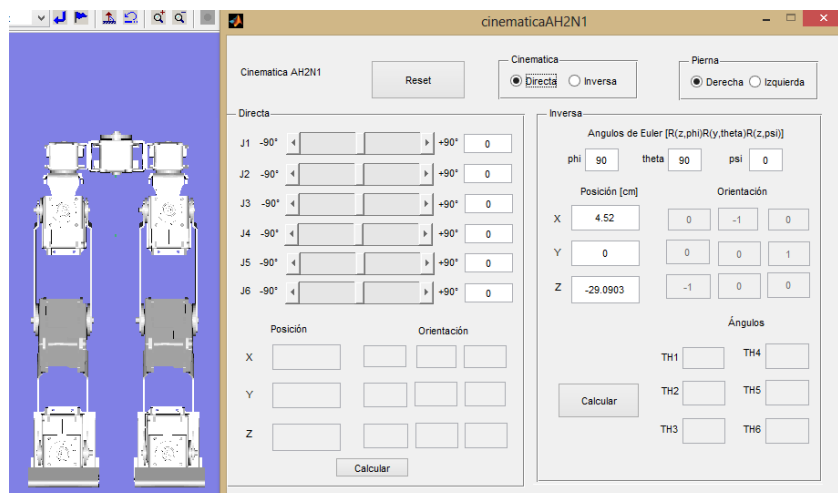


Figura 3.9: Interfaz de la unidad locomotora

### 3.2.2. Unidad Pasajera

Para comprobar la cinemática inversa de los brazos, se construyó el modelo virtual que incluye el tórax, los brazos y la cabeza, mostrado en la Figura 3.10.

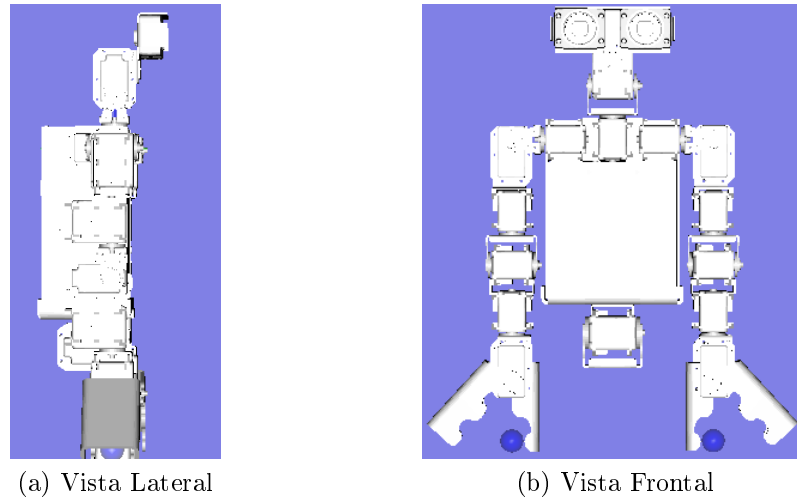


Figura 3.10: Modelo VRML de la Unidad Pasajera

Este modelo se construye de la misma manera que el anterior, utilizando el tórax como base y conectándole 3 cadenas cinemáticas abiertas. Además incluye 2 puntos de vista en los ojos, mostrados en la Figura 3.11 , los cuales permiten simular visión artificial dentro del mundo virtual.

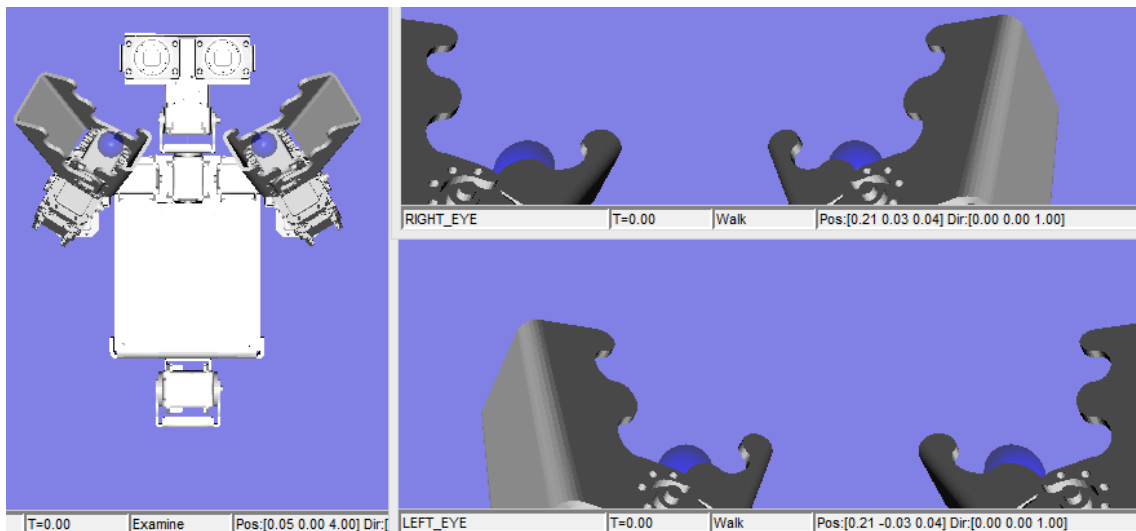


Figura 3.11: Puntos de vista de las cámaras

### 3.2.2.1. Simulador Cinemático

Para la comprobación de la cinemática, tanto directa como inversa, se desarrolló una interfaz gráfica así como la mencionada anteriormente, esta interfaz se muestra en la Figura 3.12.



Figura 3.12: Interfaz de la unidad pasajera

### 3.2.3. Modelo Completo

Para el modelo completo se exportó la unidad pasajera completa a VRML y se ensambló con la unidad locomotora. Este modelo se muestra en la Figura 3.13. No se utilizó el modelo de la unidad pasajera ya que el modelo completo se utilizó con el fin de visualizar las trayectorias de caminado además de que el costo computacional se incrementa con el número de transformaciones dentro de los archivos VRML. Este modelo además se colocó dentro de una cancha de fútbol, la cual proporciona una referencia para visualizar el movimiento del robot además de proporcionar un fondo al modelo virtual.



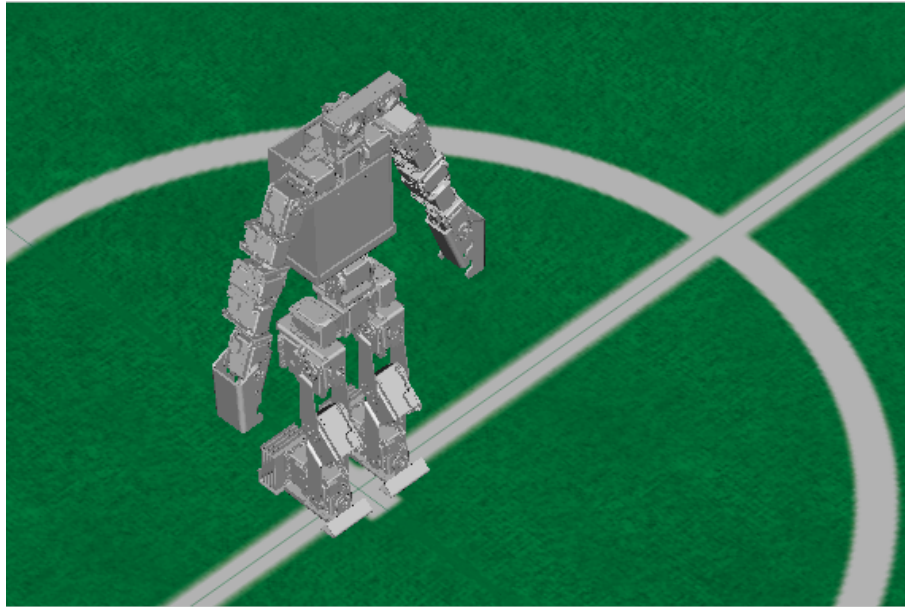


Figura 3.13: Modelo VRML completo

### 3.3. Modelo Dinámico

Para el modelo dinámico del humanoide se utilizó la formulación de Newton-Euler debido a que su costo computacional es menor que el de la formulación de Euler-Lagrange. Debido al número de gdl y a que el movimiento de la unidad pasajera es menor comparado con el de la unidad locomotora, se utilizó un modelo dinámico con menos grados de libertad. Este modelo consiste de 12 gdl y considera la unidad pasajera como un eslabón en conjunto con la cadera.

#### 3.3.1. Formulación Newton-Euler

La formulación de Newton-Euler es un método utilizado para analizar la dinámica de robots manipuladores. En este método se trata cada eslabón del robot por separado y se obtienen las ecuaciones que describen su momento lineal y su movimiento angular. Ya que cada eslabón está acoplado a otros, las ecuaciones contienen fuerzas acopladas y pares que aparecen también en las ecuaciones que describen eslabones vecinos. La formulación de Newton-Euler es superior a la formulación Lagrangiana cuando se desea conocer las fuerzas generalizadas necesitan aplicarse con el fin de realizar una secuencia

particular de coordenadas generalizadas en el tiempo. Esto es útil cuando no nos interesa conocer la relación funcional general entre ambas. Además, el computo iterativo del método permite reducir el tiempo de cálculo.

Para obtener las ecuaciones de movimiento para un manipulador de n-ecuaciones, primero escogemos referenciales  $0, \dots, n$ , donde el referencial 0 es un referencial inercial, y el referencial  $i$  está fijo al eslabón  $i$  para  $i \geq 1$ . Ahora presentamos diversos vectores expresados en el referencial  $i$ . El primer conjunto de vectores pertenece a las velocidades y las aceleraciones de diferentes partes del manipulador. [14]

- $a_i^G$  = aceleración del centro de masa del eslabón  $i$
- $a_i^i$  = aceleración lineal del eslabón expresada en el referencial  $i$
- $\omega_i^i$  = velocidad angular del eslabón expresada en el referencial  $i$
- $\alpha_i$  = aceleración angular del eslabón expresada en el referencial  $i$

El siguiente conjunto de vectores corresponde a fuerzas y pares.

- $\mathbf{g}_0$  = aceleración debida a la gravedad (expresada en el referencial  $0$ )
- $f_i^{i,i-1}$  = fuerza que el eslabón  $i-1$  ejerce sobre el eslabón  $i$  expresada en el referencial  $i$
- $\tau_i$  = par que el actuador de la articulación  $i$ -ésima debe ejercer
- $R_i^{i-1}$  = matriz de rotación del referencial  $i$  al referencial  $i-1$

EL conjunto final de vectores pertenece a características físicas del manipulador.

- $m_i$  = masa del eslabón  $i$
- $I_{G_i}$  = matriz de inercia del eslabón  $i$  expresado en un referencial paralelo al referencial  $i$ , cuyo origen está en el centro de masa del eslabón  $i$
- $\mathbf{r}_i^{G/i}$  = vector de la articulación  $i$  al centro de masa del eslabón  $i$  expresado en el referencial  $i$

- $\mathbf{r}_i^{i/i-1}$  = vector de la articulación  $i-1$  a la articulación  $i$  expresado en el referencial  $i$

- $\rho$  = tipo de articulación (1 si es rotacional, 0 si es prismática)

Para cada eslabón se calcula lo siguiente [18]:

1. Velocidad angular

$$\omega_i^i = R_i^{i-1}(\omega_{i-1}^{i-1} + \rho_i \dot{q}_i \mathbf{z}) \quad (3.42)$$

2. Aceleración angular

$$\alpha_i^i = R_i^{i-1}(\alpha_{i-1}^{i-1} + \rho_i \ddot{q}_i \mathbf{z} + \omega_{i-1}^{i-1} \times \rho_i \dot{q}_i \mathbf{z}) \quad (3.43)$$

3. Aceleración lineal del eslabón

$$a_i^i = R_i^{i-1} a_{i-1}^{i-1} + \alpha_i^i \times \mathbf{r}_i^{i/i-1} + \omega_i^i \times (\omega_i^i \times \mathbf{r}_i^{i/i-1}) \quad (3.44)$$

4. Aceleración del centro de masa de cada eslabón

$$a_i^G = a_i^i + \alpha_i^i \times \mathbf{r}_i^{G/i} + \omega_i^i \times (\omega_i^i \times \mathbf{r}_i^{G/i}) \quad (3.45)$$

5. Fuerza inercial de cada eslabón

$$F_i = m_i a_i^G \quad (3.46)$$

6. Momento inercial de cada eslabón

$$M_{Gi} = I_{Gi} \alpha_i^i + \omega_i^i \times I_{Gi} \omega_i^i \quad (3.47)$$

7. Ecuación de Newton

$$f_i^{i,i-1} = f_i^{i+1,i} - m_i R_i^0 \mathbf{g}_0 + F_i \quad (3.48)$$

8. Ecuación de Euler

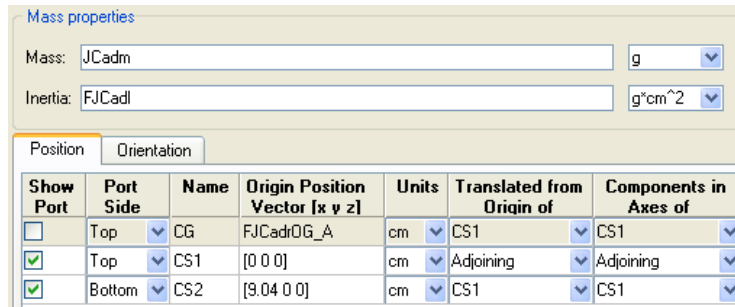
$$n_i^{i,i-1} = n_i^{i+1,i} + (\mathbf{r}_i^{i/i-1} + \mathbf{r}_i^{G/i}) \times f_i^{i,i-1} - \mathbf{r}_i^{G/i} \times \mathbf{r}_i^{i+1,i} + M_{Gi} \quad (3.49)$$

Ya que este algoritmo está diseñado para una cadena cinemática abierta simple y el humanoide es arborescente, debemos considerar al humanoide como una cadena cinemática abierta de 12 gdl, cuya base es el pie de apoyo y cuyo efector final el pie flotante. La fase de soporte doble se considera instantánea y, por lo tanto, simplemente se invierte el orden de la cadena. A partir de las trayectorias de las articulaciones, se calcula de manera instantánea los pares necesarios para producir este movimiento. El programa desarrollado se puede encontrar en el Apéndice F.3.

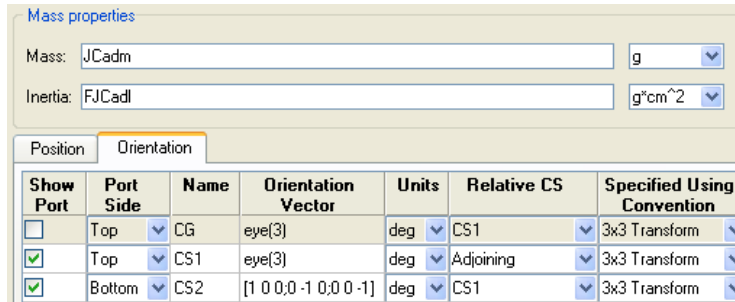
### 3.3.2. SimMechanics

Para comprobar la validez del modelo desarrollado en la sección anterior, se desarrolló un modelo dinámico utilizando la caja de herramientas *SimMechanics* de *Simulink*. Esta caja de herramientas permite hacer simulaciones dinámicas de máquinas con múltiples eslabones articulados. Esto se puede realizar de dos maneras: utilizando trayectorias de movimiento como entrada al modelo o trayectorias de fuerza. En este caso se utilizaron las trayectorias de movimiento que ya fueron generadas a partir de los algoritmos de caminado. Una vez implementadas las trayectorias, el modelo permite añadir sensores a las articulaciones y así poder observar los pares necesarios en las articulaciones para producir el movimiento deseado.

Para hacer uso de esta caja, primero se especifican las propiedades de cada eslabón dentro de un bloque *Body*, mostrado en la Figura 3.14. Dentro de este bloque, se especifican su tensor de inercia y su masa. Además, se debe especificar la posición del centro de masa, así como la pose de las articulaciones correspondientes a cada eslabón. Este se hace fijando dos referenciales: uno en la articulación anterior, el cual está fijo al eslabón actual y un referencial en la siguiente articulación, el cual se encuentra fijo al eslabón siguiente. Esto difiere de la metodología de DH debido a que el primer referencial de la cadena cinemática se encuentra fijo a la base del pie, y no a la primera articulación. Cabe aclarar que, tanto el referencial siguiente como el centro de masa, se describen a partir del referencial fijo al eslabón. La orientación se puede especificar como una matriz de rotación, un cuaternión o por cualquier combinación de ángulos de Euler.



(a) Posición



(b) Orientación

Figura 3.14: Propiedades del eslabón Cadera

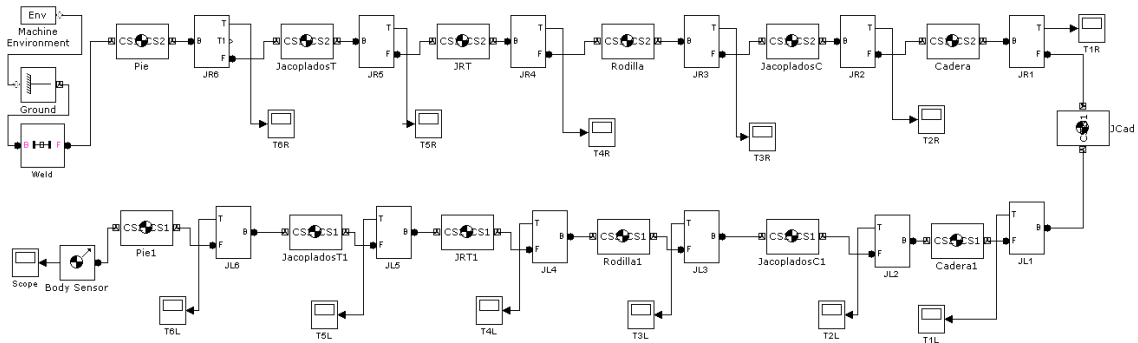


Figura 3.15: Diagrama de bloques de SimMechanics

Posteriormente se realiza un ensamble desde la base (pie fijo) hasta el efector final (pie flotante), de manera similar a la formulación Newton-Euler. Este ensamble se muestra en la Figura 3.15. Para conectar los eslabones se utilizan los bloques *Revolute*, los cuales corresponden a articulaciones rotacionales. Además, a este bloque se conectan los bloques *Joint Actuator* y *Joint Sensor*, los cuales se ocupan para introducir las trayectorias de referencia y para medir los pares ejercidos en las articulaciones respectivamente. El subsistema que conecta los eslabones se muestra en la Figura 3.16.

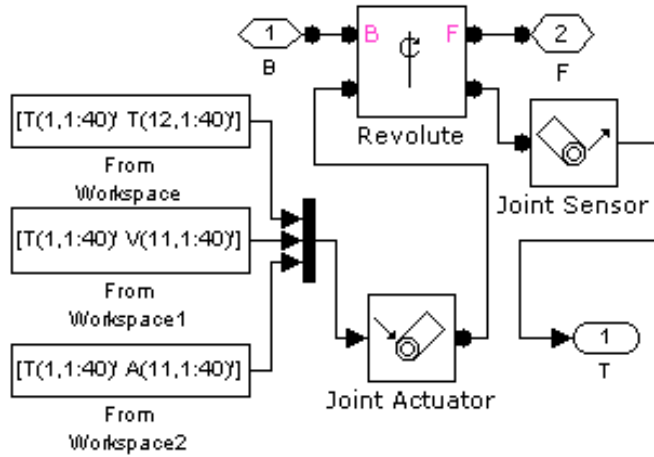
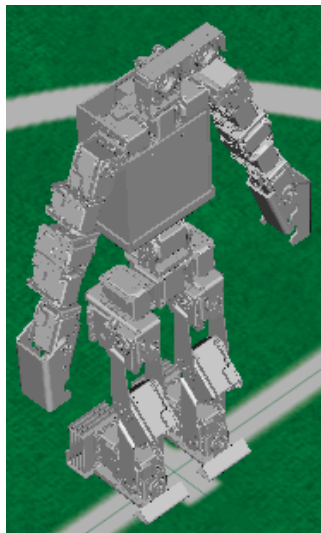
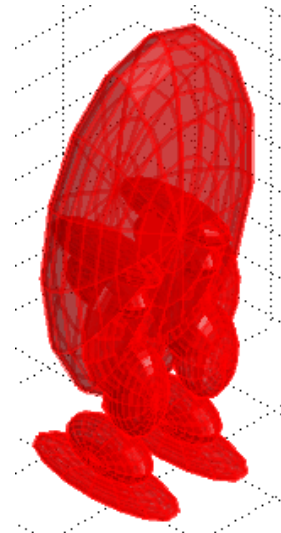


Figura 3.16: Subsistema de cada articulación

Una vez realizado el ensamble, se despliega el robot como un conjunto de elipsoides que representan la distribución de masa de cada eslabón. La configuración de los elipsoides nos sirve para corroborar que el modelo se ensambló de manera correcta, ya que el conjunto de elipsoides asemeja la estructura del robot, tal como se muestra en la Figura 3.17.



(a) Modelo VRML



(b) Modelo SimMechanics

Figura 3.17: Comparación de modelos ensamblados

# Capítulo 4

## Caminado Bípedo

Cuando caminamos, utilizamos una secuencia repetitiva de movimientos de las extremidades para mover el cuerpo hacia adelante mientras se mantiene simultáneamente la estabilidad de la postura. Mientras el cuerpo se mueve hacia adelante, una extremidad sirve como soporte mientras que la otra extremidad avanza hacia el nuevo sitio de soporte. Después, las extremidades invierten papeles. En esta fase, ambos pies se encuentran en contacto con el suelo y se realiza la transferencia del peso corporal de una extremidad a la otra. A la secuencia de estas funciones realizadas por una extremidad, se le llama *ciclo de marcha* [19]. La marcha representa la manera en que caminamos o corremos, por lo tanto cualquier caminado se realiza mediante cierta marcha. [20]

### 4.1. Conceptos

En esta parte se definirán algunos conceptos necesarios para el análisis del caminado, los cuales serán utilizados más adelante en los algoritmos implementados.

#### 4.1.1. Fases del caminado

Cada ciclo de marcha se divide en dos periodos:

- Soporte. Es el término utilizado para designar el periodo completo en el cual el pie está en el suelo. Cuando ambos pies se encuentran en el suelo se le denomina *soporte doble*, de lo contrario *soporte sencillo*.
- Balanceo. El periodo de balanceo es el tiempo en el que el pie se encuentra en el

aire para el avance de la extremidad.

Frecuentemente estos periodos se denominan *fases de la marcha*. [19]

#### 4.1.2. Planos de movimiento

Para describir las trayectorias de caminado en el espacio, utilizamos planos de movimiento. Existen tres planos de movimiento: el frontal, el sagital y el transversal. Estos planos se pueden observar en la Figura 4.1 La generación de trayectorias se basa principalmente en el movimiento en los planos frontal y sagital.

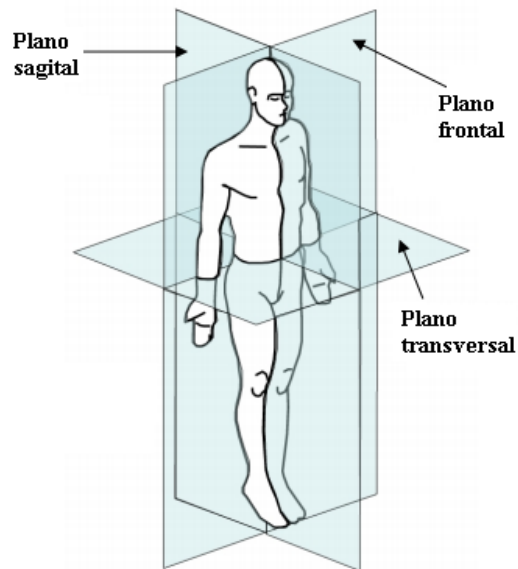


Figura 4.1: Planos de movimiento [21]

Estos planos son generados por ejes de movimiento que se tomarán como referencia para describir el movimiento de una articulación que posee más de un gdl. Para esto se utiliza la convención de ángulos *Roll*, *Pitch* y *Yaw*. Donde cada ángulo representa un movimiento angular alrededor de un eje perpendicular al plano frontal (eje sagital), sagital (eje frontal) y transversal (eje longitudinal), respectivamente.



## 4.2. Caminado Parametrizado

El caminado parametrizado fue un método trabajado por Oscar Vele [22] y posteriormente retomado por Rafael Cisneros [17]. Este método consiste en describir la trayectoria de caminado en dos planos: frontal y sagital. Para generar patrones de caminado, se toma en cuenta la trayectoria de la cadera y las trayectorias de los pies. Los parámetros que intervienen en el plano sagital se muestran en la Figura 4.2,

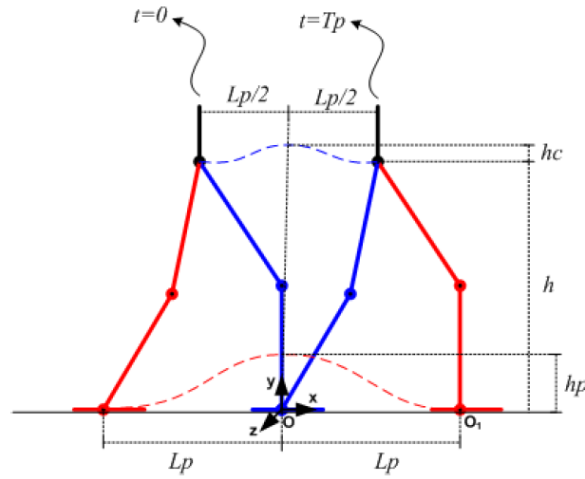


Figura 4.2: Parámetros del caminado en el plano sagital [22]

en donde:

- $Tp$  = tiempo empleado por cada paso.
- $Lp$  = longitud de paso.
- $h$  = altura de la cadera.
- $hc$  = rizado de la cadera.
- $hp$  = altura máxima de la pierna flotante. [22]

Los parámetros utilizados en el plano frontal pueden observarse en la Figura 4.3,

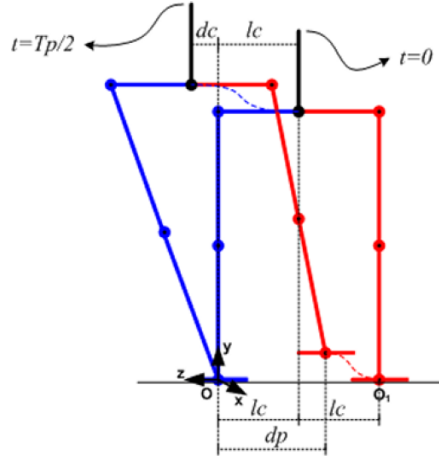


Figura 4.3: Parámetros del caminado en el plano frontal [22]

donde:

- $lc$  = longitud del centro a uno de los extremos de la cadera.
- $dc$  = sobrepaso del punto central de la cadera sobre la articulación del tobillo.
- $dp$  = distancia entre pies a la mitad del paso.

Con estos parámetros, se obtiene las posiciones en el tiempo de la cadera y del pie flotante con respecto al pie de apoyo. Ya que estos parámetros no se encuentran definidos para todo el ciclo de caminado sino para algún tiempo determinado, las posiciones que faltan se obtienen por medio de interpolación segmentaria cúbica entre puntos donde la velocidad es igual a cero, de acuerdo a la siguiente ecuación

$$x(t) = x_0 + v_0 t + \left[ \frac{3(x_1 - x_0) - T_i(2v_0 + v_1)}{T_i^2} \right] t^2 + \left[ \frac{2(x_0 - x_1) + T_i(v_0 + v_1)}{T_i^3} \right] t^3 \quad (4.1)$$

donde:

- $T_i$  = Periodo de interpolación.
- $x_0$  = Posición inicial.
- $x_1$  = Posición final.
- $v_0$  = Velocidad inicial.

- $v_1 =$  Velocidad final.

Las posiciones de la cadera se obtienen a partir de un referencial fijo en el pie y las posiciones del pie flotante se obtienen a partir del referencial de la cadera. Entonces, la posición del pie flotante con respecto al pie de soporte se calcula como

$$T_{supp}^{float} = (T_{0sl}^{6sl})^{-1} T_{0sl}^{0fl} T_{0fl}^{6fl} \quad (4.2)$$

. Una vez obtenidas las trayectorias del pie y de la cadera, se utiliza cinemática inversa para obtener trayectorias en el espacio articular para transmitir las a los servomotores. Para asegurar que esta solución es única, el referencial asociado a cada parte debe tener un plano que sea siempre paralelo al suelo. Una vez terminado el paso, el pie de soporte se convierte en el pie flotante y el pie flotante a su vez se convierte en el nuevo pie de soporte. De igual manera, cambiamos el referencial de referencia para la trayectoria del siguiente paso. Cabe mencionar que, este caminado está diseñado para trayectorias unidireccionales pero que pueden ser calculadas en línea sin necesidad de ser obtenidas previamente y se pueden modificar los parámetros de caminado, por ejemplo, aumentando la longitud del paso o aumentando la altura del pie para evadir obstáculos.

### 4.3. Caminado Omnidireccional

Para implementar un caminado omnidireccional, se utilizó el método propuesto por Behnke [23]. Este método difiere del anterior en que no utiliza cinemática inversa para determinar las posiciones de la pierna, aunque su parametrización es más compleja. Sin embargo, la gran ventaja de este método sobre el anterior es que se puede cambiar la dirección de caminado únicamente modificando el vector de entrada, además de que la dirección de caminado puede modificarse en línea. Además, las trayectorias de este método se calculan por medio de curvas senoidales en vez de splines.

Este método toma como entrada un vector de velocidades, la longitud de la pierna extendida y la longitud mínima que tendrá durante el caminado. Los tres elementos principales para generar caminado omnidireccional son: desplazamiento lateral del centro de masa, acortamiento de la pierna flotante y movimiento de las piernas en la

dirección de caminado.

### 4.3.1. Interfaz de la pierna

La pierna completa puede posicionarse relativa al tórax utilizando la extensión de la pierna (la distancia desde la articulación de la cadera a la articulación del tobillo), el ángulo de la pierna, y el ángulo del pie. Sea  $\theta_{Leg} = (\theta_{Leg}^r, \theta_{Leg}^p, \theta_{Leg}^y)$ , el conjunto de ángulos que definen el ángulo de la pierna y sea  $(\theta_{Foot}^r, \theta_{Foot}^p)$  el conjunto de ángulos que definen el ángulo del pie, así como se muestra en la Figura 4.4.

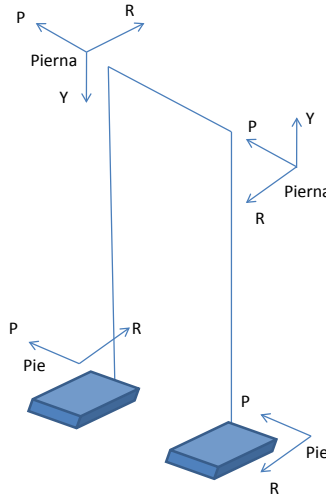


Figura 4.4: Ángulos de Roll, Pitch y Yaw de la pierna y del pie

Se define la extensión deseada de la pierna como  $-1 \leq \gamma \leq 0$ , cuando  $\gamma$  es igual a 0, la pierna se encuentra completamente extendida y cuando  $\gamma$  es igual a -1, la pierna se acorta a un porcentaje mínimo de su longitud original, definido por  $\eta_{min}$ . La longitud relativa deseada  $\eta$  puede calcularse como

$$\eta = 1 + (1 - \eta_{min})\gamma \quad (4.3)$$

Conociendo la longitud relativa podemos calcular el ángulo de la rodilla. como se muestra en la Figura 4.5.

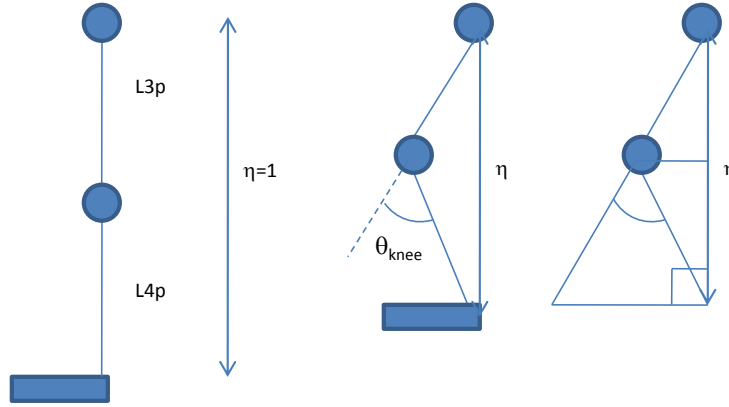


Figura 4.5: Análisis geométrico para obtener el ángulo de la rodilla

Utilizando los triángulos rectángulos, calculamos la variable articular

$$\theta_{Knee} = 180 - (90 - \text{acos}(\frac{\eta/2}{L_{4p}})) - (180 - 90 - \text{acos}(\frac{\eta/2}{L_{3p}})) \quad (4.4)$$

$$\theta_{Knee} = \text{acos}(\frac{\eta/2}{L_{4p}}) + \text{acos}(\frac{\eta/2}{L_{3p}}) = 2\text{acos}(\eta) \quad (4.5)$$

Se agrega un cambio de signo a la ecuación anterior de acuerdo al referencial asociado a la rodilla. Este ángulo acorta la pierna y se debe incluir en el ángulo del pie y de la pierna. Esto se hace restando el ángulo de la rodilla a los ángulos de *pitch* de la pierna y del pie. Si los eslabones tienen longitudes diferentes, se resta un porcentaje del ángulo de la rodilla, proporcional a la longitud que el eslabón de la articulación opuesta representa en la longitud total de la pierna. Ahora para el caso del pie, se debe restar también el ángulo de la pierna para compensar ambos cambios angulares. Estos nuevos valores angulares se actualizan como  $\theta_{Hip}$  y  $\theta_{Ankle}$

$$\theta_{Hip} = \begin{pmatrix} \theta_{Leg}^r \\ \theta_{Leg}^p \end{pmatrix} + \begin{pmatrix} 0 \\ -L_{4p}\theta_{Knee} \end{pmatrix} \quad (4.6)$$

$$\theta_{Ankle} = \theta_{Foot} - \begin{pmatrix} \theta_{Leg}^r \\ \theta_{Leg}^p \end{pmatrix} + \begin{pmatrix} 0 \\ -L_{3p}\theta_{Knee} \end{pmatrix} \quad (4.7)$$

### 4.3.2. Reloj Central

Para generar las trayectorias de cada pierna, se utiliza una fase correspondiente a cada pierna, las cuales están desfasada  $\pm\pi/2$  de una fase central  $\phi_{Trunk}$  y se encuentran dentro del intervalo  $[-\pi, \pi)$ . Así como una frecuencia de paso  $\psi$ .

### 4.3.3. Vectores de entrada

Este algoritmo de caminado tiene como entrada un vector  $\mathbf{V}_{Robot} = (v_{Robot}^x, v_{Robot}^y, v_{Robot}^\theta)$  cuyos componentes son la velocidad en la dirección frontal, velocidad en la dirección lateral y velocidad de rotación alrededor del eje vertical.

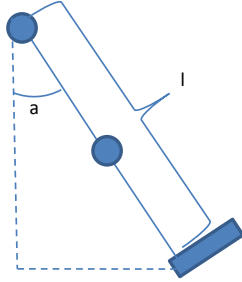


Figura 4.6: Modelo de péndulo para la pierna

El vector de amplitudes de balanceo  $\mathbf{a}_{Robot} = (a_{Robot}^r, a_{Robot}^p, a_{Robot}^y)$  se obtiene a partir del vector de velocidad. Considerando la pierna como un péndulo, como se muestra en la Figura 4.6, tenemos que las amplitudes son:

$$(a_{Robot}^r, a_{Robot}^p) = (a \sin\left(\frac{v_{Robot}^x}{\psi l}\right), a \sin\left(\frac{v_{Robot}^y}{\psi l}\right)) \quad (4.8)$$

$$a_{Robot}^y = \frac{v_{Robot}^\theta}{\psi} \quad (4.9)$$

Podemos notar que la longitud del paso está dada por  $\frac{v_{Robot}}{\psi}$ .

### 4.3.4. Desplazamiento

El desplazamiento lateral del centro de masa se realiza de una manera senoidal como sigue:

$$\theta_{Shift} = a_{Shift} \sin(\phi_{Leg}) \quad (4.10)$$

donde  $a_{Shift}$  es la amplitud de desplazamiento, la cual se incrementa con la velocidad de la marcha, así como con la velocidad lateral. Este desplazamiento se logra mediante el uso de las variables angulares de *roll*. El uso de ambas variables permite desplazar el centro de masa, así como mantener erguida la unidad pasajera.

$$\theta_{LegShift} = \theta_{Shift} \quad (4.11)$$

$$\theta_{FootShift} = -0.5 \theta_{Shift} \quad (4.12)$$

### 4.3.5. Acortamiento

Mientras se desplaza el robot lateralmente, la pierna contraria no es necesaria para soportar su peso y puede acortarse. El tiempo que dura esta fase, se determina por:

$$\phi_{Short} = v_{Short}(\phi_{Leg} + \pi/2 + o_{Short}) \quad (4.13)$$

donde  $v_{Short}$  determina la duración y  $o_{Short}$  determina el corrimiento de fase relativo al desplazamiento lateral del peso. Para realizar la transición entre la pierna extendida y la pierna acortada, se utiliza un coseno de la siguiente manera:

$$\gamma_{Short} = -0.5 a_{Short}(\cos(\phi_{Short}) + 1) \quad (4.14)$$

donde  $a_{Short}$  es la amplitud de acortamiento e incrementa con la velocidad de la marcha. Para levantar el pie al final, dirigido a la dirección de caminado, se utiliza:

$$\theta_{FootShort} = -0.125 a_{Robot}^p(\cos(\phi_{Short}) + 1) \quad (4.15)$$

Esto evita contacto accidental entre la parte frontal del pie y el piso, durante el balanceo.

### 4.3.6. Carga

Cuando la pierna de balanceo, toca el suelo, ésta es acortada por segunda vez con el propósito de facilitar la carga, de la siguiente manera:

$$\phi_{Load} = v_{Load} piCut(\phi_{Leg} + \pi/2 + -\pi/v_{Short} + o_{Short}) - \pi \quad (4.16)$$

donde  $v_{Load}$  determina la duración del segundo acortamiento y la función  $piCut$  mapea su argumento al rango  $[-\pi, \pi)$ . El acortamiento se calcula nuevamente utilizando un coseno, de la siguiente manera:

$$\gamma_{Load} = -0.5 a_{Load}(\cos(\phi_{Load}) + 1) \quad (4.17)$$

donde la amplitud del segundo acortamiento  $a_{Load}$  depende de la amplitud de balanceo en la dirección frontal  $a_{Robot}^p$ .

### 4.3.7. Balanceo

Después de que la pierna ha sido descargada y acortada, se mueve rápidamente en la dirección de caminado y al mismo tiempo, la pierna de soporte completamente extendida, se mueve lentamente en la misma dirección. El balanceo se revierte lentamente durante el resto del ciclo de caminado. Este balanceo se calcula de la siguiente manera:

$$\phi_{Swing} = v_{Swing}(\phi_{Leg} + \pi/2 + o_{Swing}) \quad (4.18)$$

donde  $v_{Swing}$  es la velocidad de balanceo y  $o_{Swing}$  es el corrimiento de fase. Mientras el balanceo es sinusoidal, el movimiento se revierte linealmente.

$$\theta_{Swing} = \begin{cases} \sin(\phi_{Swing}) & \text{si } -\pi/2 \leq \phi_{Swing} < \pi/2 \\ b(\phi_{Swing} - \pi/2) - 1 & \text{si } \pi/2 \leq \phi_{Swing} \\ b(\phi_{Swing} + \pi/2) - 1 & \text{de otra manera} \end{cases} \quad (4.19)$$

donde  $b$  es la velocidad del movimiento en reversa. El balanceo se hace con el ángulo de la pierna y se compensa parcialmente con el ángulo del pie, como se muestra a



continuación:

$$\theta_{LegSwing}^r = ls a_{Robot}^r \theta_{Swing} \quad (4.20)$$

$$\theta_{LegSwing}^p = a_{Robot}^p \theta_{Swing} \quad (4.21)$$

$$\theta_{LegSwing}^y = ls a_{Robot}^y \theta_{Swing} \quad (4.22)$$

$$\theta_{FootSwing}^r = 0.25 a_{Robot}^r \theta_{Swing} \quad (4.23)$$

$$\theta_{FootSwing}^p = 0.25 ls a_{Robot}^p \theta_{Swing} \quad (4.24)$$

donde  $ls$  es el signo de la pierna:  $ls = -1$  para la pierna izquierda  $ls = 1$  y para la pierna derecha.

### 4.3.8. Equilibrio

El robot mantiene su equilibrio al inclinarse con cada paso, en el plano sagital y el plano lateral, así como compensando los ángulos de la pierna y del pie. El ángulo de *roll* de la pierna asegura que las piernas no colisionen mientras el robot camina lateralmente o mientras rota.

### 4.3.9. Resultado

Los componentes individuales del movimiento de caminado se combinan de la siguiente manera:

$$\theta_{Leg}^r = \theta_{LegSwing}^r + \theta_{LegShift} + \theta_{LegBal}^r \quad (4.25)$$

$$\theta_{Leg}^p = \theta_{LegSwing}^p \quad (4.26)$$

$$\theta_{Leg}^y = \theta_{LegSwing}^y \quad (4.27)$$

$$\theta_{Foot}^r = \theta_{FootSwing}^r + \theta_{FootShift} + \theta_{FootBal}^r \quad (4.28)$$

$$\theta_{Foot}^p = \theta_{FootSwing}^p + \theta_{FootShort} + \theta_{FootBal}^p \quad (4.29)$$

$$\gamma = \gamma_{Short} + \gamma_{Load} \quad (4.30)$$

## 4.4. Estabilidad del caminado

Un aspecto de mucha importancia es evitar la caída del humanoide mientras se encuentra caminando. Para prevenir caídas, una condición necesaria y suficiente es asegurar que el contacto entre el pie y el suelo en cada instante sea una superficie y no una línea o un punto, esto se traduce en mantener su balance, tanto dinámico como estático. Cabe aclarar que el término balance se utiliza aquí en el sentido de mantener una posición erguida del humanoide en general. Tomando en cuenta que el humanoide se encuentra bajo la influencia de fuerzas inerciales, cuya dirección e intensidad cambian durante el caminado, el balance dinámico adquiere mayor importancia. Se dice que la marcha es balanceada dinámicamente si no existe rotación del pie de soporte alrededor de su borde durante el caminado.

Para que exista balance dinámico, es necesario y suficiente que la resultante de las fuerzas normales de reacción, actúen en un punto que se encuentra dentro del área de soporte, la cual es la superficie determinada por el contacto entre el pie y el suelo. En la fase de soporte simple, el área de soporte coincide con la envolvente convexa determinada por el pie en contacto con el suelo, mientras que en fase de soporte doble, el área de soporte es la envolvente convexa determinada por las áreas de los pies y el piso, y sus tangentes comunes, tales que el área envuelta sea máxima. Este concepto también se conoce como *polígono de soporte*.

Debido al carácter unilateral del contacto mecánico entre el pie y el suelo, las fuerzas normales de reacción, se encuentran en una dirección (desde el suelo hacia el pie). Si hallamos un punto en donde sólo actúe la resultante de las fuerzas normales, la ausencia de cualquier par significa que los momentos serán iguales a cero para cualquier eje que pasa por este punto y además es tangencial al suelo. A este punto se le conoce como punto de momento cero o *Zero-Moment Point* (ZMP) [20].

### 4.4.1. Derivación del Zero-Moment Point

Considerando el robot en su fase de soporte simple, analizamos las fuerzas que actúan sobre el pie. Primero descartamos la parte del robot por encima del tobillo y

reemplazamos su influencia por una fuerza  $F_A$  y un momento  $M_A$ , como se muestra en la Figura 4.7a, mientras que el peso del pie actúa en su centro de gravedad (G). El pie también experimenta la reacción del suelo en el punto P, cuya acción mantiene al robot en equilibrio.

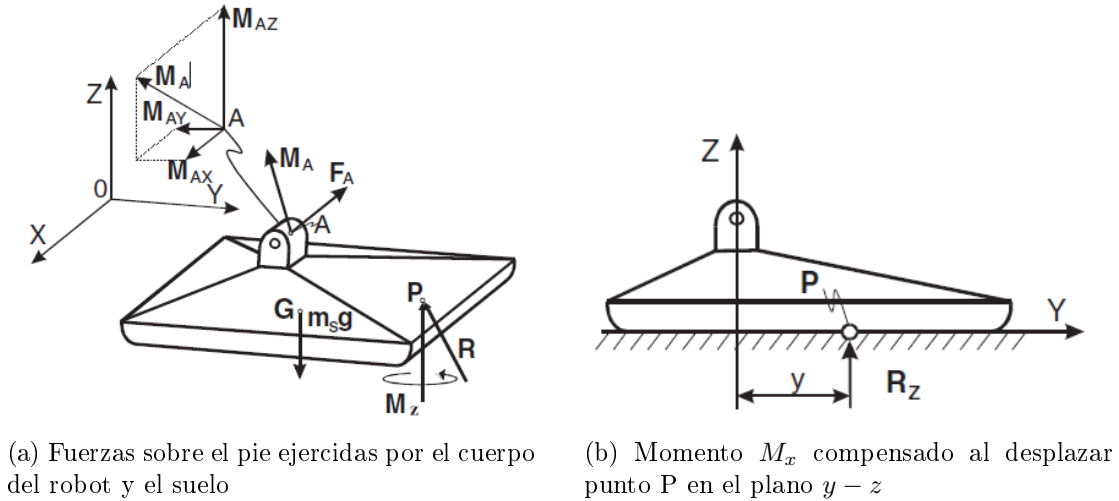


Figura 4.7: Fuerzas que actúan sobre el pie del robot. [24]

En general, la reacción total del suelo consiste en tres componentes de la fuerza  $\mathbf{R}(R_x, R_y, R_z)$  y del momento  $\mathbf{M}(M_x, M_y, M_z)$ . Suponiendo que no existe deslizamiento en el contacto entre el pie y el suelo, la fricción estática compensará los componentes horizontales de la fuerza ( $R_x, R_y$ ) y el momento de reacción vertical ( $M_z$ ). Debido a la naturaleza unidireccional del contacto entre el pie y el suelo, los componentes horizontales de los momentos pueden compensarse únicamente cambiando la posición de la fuerza de reacción  $\mathbf{R}$  dentro del polígono de soporte. Por lo tanto, las componentes horizontales del momento  $\mathbf{M}_A$  desplazarán la fuerza de reacción a una posición donde se equilibre la carga adicional. En el caso planar mostrado en la Figura 4.7b, el momento  $M_{Ax}$  es equilibrado al desplazar el punto donde actúa la fuerza  $R_z$ , una distancia  $y$ . Cabe destacar que, mientras la fuerza de reacción se encuentre dentro del área de soporte, el incremento en el momento del tobillo será compensado al cambiar la posición de esta fuerza, y se anularán los momentos  $M_x$  y  $M_y$ . Sin embargo, si el incremento es significativo, la fuerza actuará en el borde del pie y existirá una parte sin compensar

del momento de reacción, la cual causará que el robot gire alrededor del borde del pie y probablemente caiga. Por lo tanto, podemos decir que la condición necesaria y suficiente para que el robot se encuentre en equilibrio dinámico es que, para el punto P en la planta, donde la fuerza de reacción del piso actúa, los momentos horizontales  $M_x$  y  $M_y$  sean iguales a cero. Dada la dinámica del robot de la Figura 4.7a, podemos calcular la posición del ZMP que asegura equilibrio dinámico partiendo de las ecuaciones de equilibrio estático para el pie de soporte como sigue :

$$\mathbf{R} + \mathbf{F}_A + m_s g = 0 \quad (4.31)$$

$$\overrightarrow{\mathbf{OP}} \times \overrightarrow{\mathbf{R}} + \overrightarrow{\mathbf{OG}} \times m_s g + \mathbf{M}_A + M_z + \overrightarrow{\mathbf{OA}} \times \mathbf{F}_A = 0 \quad (4.32)$$

donde  $\overrightarrow{\mathbf{OP}}$ ,  $\overrightarrow{\mathbf{OG}}$  y  $\overrightarrow{\mathbf{OA}}$  son vectores que van del origen del sistema de coordenadas  $O_{xyz}$  al punto de reacción del suelo (P), centro de masa del pie (G), y articulación del tobillo (A), respectivamente, mientras que  $m_s$  es la masa del pie. En el caso general,  $M_z$  es diferente de cero y sólo puede reducirse a través de la dinámica del robot. Sin embargo, la proyección de la Ecuación 4.32 en el plano horizontal nos da la ecuación:

$$(\overrightarrow{\mathbf{OP}} \times \overrightarrow{\mathbf{R}})^H + \overrightarrow{\mathbf{OG}} \times m_s g + \mathbf{M}_A^H + (\overrightarrow{\mathbf{OA}} \times \mathbf{F}_A)^H = 0, \quad (4.33)$$

la cual es la base para calcular la posición de la fuerza de reacción del suelo que actúa en el punto P. [24]

#### 4.4.2. Cálculo del ZMP

Para un movimiento dado del robot, la fuerza y el momento en la articulación del tobillo ( $\mathbf{F}_A$  y  $\mathbf{M}_A$ ) pueden obtenerse a partir del modelo dinámico del robot, y todos los elementos de la ecuación Ecuación 4.33 con excepción de  $\overrightarrow{\mathbf{OP}}$  serán conocidos. El procedimiento para determinar la posición del ZMP consiste en 2 pasos:

1. Calcular  $\overrightarrow{\mathbf{OP}}$  de la Ecuación 4.33. Llamemos la posición obtenida del punto P *posición calculada del ZMP* ya que en este momento no sabemos si esta posición se encuentra dentro del polígono de soporte o afuera.
2. Se compara la posición calculada del ZMP con el tamaño del polígono de soporte.

Si el ZMP calculado se encuentra fuera del polígono de soporte, esto significa que la fuerza de reacción del suelo, actuando en el punto P, se encuentra en el borde del polígono de soporte y se iniciará la rotación del robot alrededor del borde pie debido al momento desequilibrado, cuya intensidad depende de la distancia del polígono de soporte a la posición calculada del ZMP. Si el punto calculado donde actúa la fuerza de reacción del suelo se encuentra dentro del polígono de soporte, este punto es el ZMP y el robot se encuentra en equilibrio. [24]

### 4.4.3. Modelo simplificado

Dadas las trayectorias de movimiento del robot y su modelo dinámico, podemos calcular o predecir el ZMP resultante. Esto depende del cálculo del modelo dinámico del robot completo, lo cual tiene un costo computacional. Para evitarnos esto, podemos reducir el robot completo a un mecanismo más sencillo, esto es, un modelo carro-mesa, como el mostrado en la Figura 4.8.

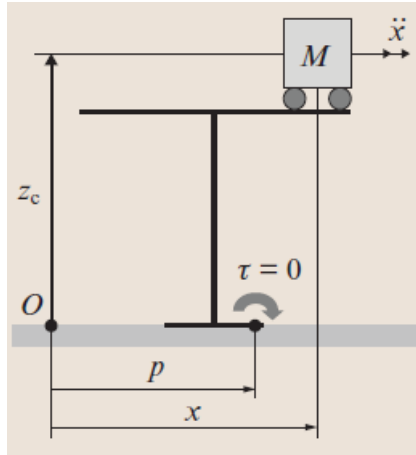


Figura 4.8: Modelo dinámico simplificado para el cálculo del ZMP. [2]

Este modelo consiste en un carro que se desplaza sobre una mesa sin masa. El carro tiene masa  $M$  y su posición  $(x, z_c)$  corresponde al centro de masa del robot. También, la mesa se considera que tiene el mismo polígono de soporte que el robot. El par  $\tau$  alrededor del punto  $p$  está dado por

$$\tau = -Mg(x - p) + M\ddot{x}z_c \quad (4.34)$$

donde  $g$  es la aceleración debida a la gravedad. Utilizando la condición de momento cero de  $\tau = 0$ , el ZMP calculado de este modelo carro-mesa se obtiene como

$$p = x - \frac{z_c}{g} \ddot{x}. \quad (4.35)$$

Podemos notar que cuando la aceleración de este carro es cero, el ZMP corresponde a la proyección del Centro de Masa ( $p = x$ ) [2].

# Capítulo 5

## Sistema de Visión

Un sistema de visión es fundamental para un robot móvil. La información obtenida le permite conocer el entorno donde se encuentra y así puede decidir cómo interactuar con él. Esta información le permite planear trayectorias para desplazarse y realizar la tarea para la cual fue programado. En el caso del fútbol, es necesario poder desplazarse hacia donde se encuentra la pelota, tomando en cuenta su ubicación, así como la de los demás robots que se encuentran en el campo y además la portería hacia la cual se deberá dirigir. Cuando además el robot se programa para manipular objetos, no sólo debe ser capaz de reconocer los objetos que manipulará, así como su pose, también debe calcular la distancia a la que estos se encuentran. Esto se puede hacer de 2 maneras: utilizando marcas conocidas o utilizando visión estereoscópica. El sistema de percepción del prototipo AH1N2 se basa en visión estereoscópica obtenida mediante la cámara Minoru y OpenCV.

### 5.1. Visión Estereoscópica

La visión estereoscópica es la habilidad de obtener información de una escena, a partir de dos o más imágenes tomadas desde distintos puntos de vista. Nuestra percepción 3D del mundo se debe a la interpretación que el cerebro da a partir de la diferencia en la posición retinal, llamada *disparidad*, entre puntos correspondientes. Las disparidades de todos los puntos de una imagen forman el mapa de disparidad y si se conoce la geometría del sistema estereoscópico, el mapa puede convertirse en un mapa 3D de la escena observada (reconstrucción). [25]

En la práctica, visión estereoscópica involucra cuatro pasos:

1. Matemáticamente remover distorsión radial y tangencial. Los resultados de este paso son imágenes sin distorsión.
2. Ajuste para los ángulos y las distancias entre cámaras. Los resultados de este paso son imágenes cuyas filas están alineadas y rectificadas.
3. Encontrar las mismas características en las imágenes izquierda y derecha (correspondencia). El resultado de este paso es un mapa de disparidad, donde las disparidades son las diferencias en coordenadas  $x$ , en los planos imagen, de la misma característica observada en la cámara izquierda y en la derecha.
4. Conociendo la geometría del sistema estereoscópico, transformamos el mapa de disparidad en distancias por medio de triangulación. [26]

### 5.1.1. Calibración de cámaras

La calibración de cámaras es un proceso que se utiliza para corregir las desviaciones causadas por los lentes de las cámaras mediante el modelo geométrico de la cámara y el modelo de distorsión de los lentes. Ambos modelos definen los *parámetros intrínsecos* de la cámara y nos permiten relacionar las mediciones de la cámara con mediciones en el mundo tridimensional. Ya que se utiliza una cámara estereoscópica, el proceso de calibración no sólo calcula los parámetros intrínsecos de cada cámara, también calcula las relaciones geométricas entre las 2 cámaras, esto es, calcula la matriz de rotación y el vector de traslación entre las dos cámaras.

Una vez obtenidos los parámetros de calibración, se obtienen los mapas de consulta para realizar la rectificación de imágenes. Estos mapas indican de dónde se deben interpolar píxeles de la imagen de origen para cada píxel de la imagen de destino. Posteriormente se utilizan estos mapas para corregir la distorsión en las imágenes. La rectificación estéreo es el proceso de corregir las imágenes individuales para que aparezcan como si hubiesen sido tomadas por dos cámaras con planos imagen cuyas filas están alineadas. En este caso, utilizamos el algoritmo de Bouguet para la rectificación



estéreo. Dadas las matrices de rotación y traslación (R,T) entre las imágenes estereo, el algoritmo de Bouguet minimiza el cambio que la reproyección genera para cada una de las dos imágenes (minimizando las distorsiones) mientras que maximiza el área de visión común. El resultado de este algoritmo son dos matrices de rectificación para alinear filas, dos matrices para las ecuaciones de proyección y un parámetro opcional Q, que es la matriz de reproyección. Este último parámetro es el que se utiliza para calcular la distancia en tres dimensiones.

### 5.1.2. Cálculo de distancia 3D

Para calcular la distancia 3D de cualquier punto en la escena, es necesario conocer el modelo geométrico del sistema estereoscópico. En este caso partimos de un sistema cuyas cámaras se encuentran paralelas y cuyos planos imagen son coplanares, como se muestra en la Figura 5.1. En este sistema, los píxeles en ambas imágenes tienen sus orígenes en la parte superior izquierda de sus respectivas imágenes, y los píxeles se denotan por coordenadas  $(x_l, y_l)$  y  $(x_r, y_r)$ , respectivamente. Los centros de proyección están en  $O_l$  y  $O_r$ , con rayos principales intersecando el plano imagen en el punto principal  $(c_x, c_y)$ . Tomando  $x^l$  y  $x^r$  como las posiciones horizontales de puntos en las imágenes izquierda y derecha respectivamente, la disparidad se define simplemente como  $d = x^l - x^r$ .

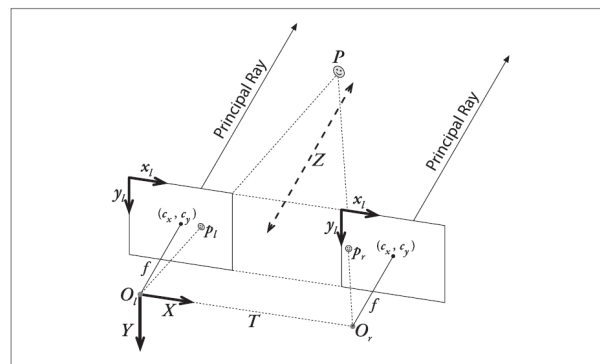


Figura 5.1: Sistema estereoscópico [26]

Puntos en dos dimensiones pueden transformarse a puntos en tres dimensiones, dadas las coordenadas en pantalla y la matriz de parámetros intrínsecos de la cámaras. Para esto utilizamos la matriz de reproyección Q obtenida en la calibración estereo. La

matriz de reproyección es:

$$Q = \begin{bmatrix} 1 & 0 & 0 & -c_x \\ 0 & 1 & 0 & -c_y \\ 0 & 0 & 0 & f \\ 0 & 0 & -1/T_x & (c_x - c'_x)/T_x \end{bmatrix} = \begin{bmatrix} q00 & q01 & q02 & q03 \\ q10 & q11 & q12 & q13 \\ q20 & q21 & q22 & q23 \\ q30 & q31 & q32 & q33 \end{bmatrix}$$

Aquí los parámetros pertenecen a la imagen izquierda excepto  $c'_x$ , que es la coordenada x del punto principal en la imagen derecha. Dado un punto homogéneo de dos dimensiones y su disparidad asociada d, podemos reproyectar el punto a tres dimensiones utilizando:

$$Q \begin{bmatrix} x \\ y \\ d \\ 1 \end{bmatrix} = \begin{bmatrix} X \\ Y \\ Z \\ W \end{bmatrix}$$

Las coordenadas 3D entonces son  $(X/W, Y/W, Z/W)$

## 5.2. OpenCV

### 5.2.1. Calibración de Cámaras

Para calibrar la cámara estereoscópica se siguen los siguientes pasos:

1. Se imprime un tablero como el que se muestra en la Figura 5.2.

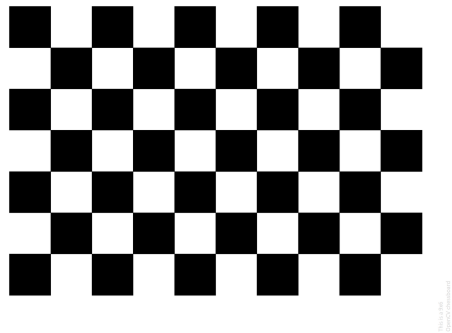


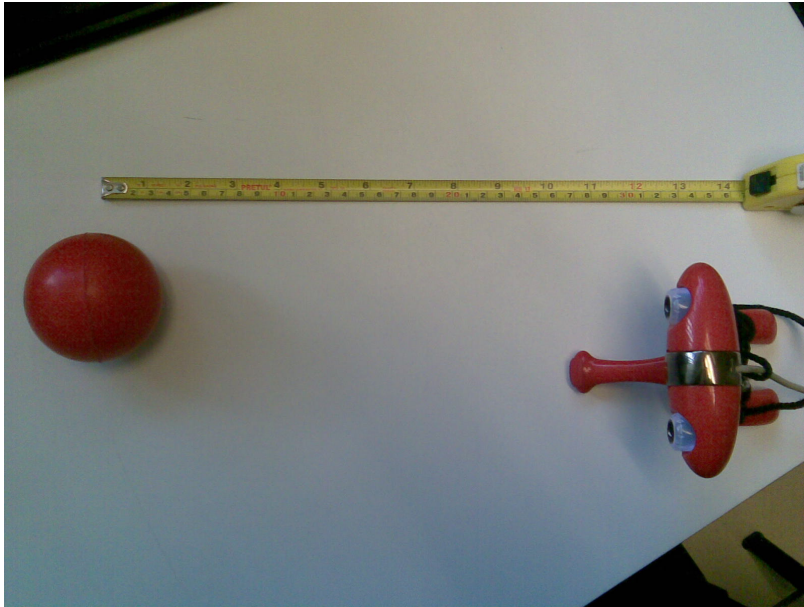
Figura 5.2: Tablero para calibración [27]

2. Utilizando el código publicado en [28], se toma una secuencia de fotos al tablero en diversas posiciones, utilizando ambas cámaras. Además, se crea un archivo de texto con la lista de imágenes, que se utiliza en la calibración.

3. Ahora se ejecuta el código de calibración publicado en [27], utilizando como parámetros de entrada el nombre del archivo de texto, el número de cuadros horizontales y verticales que detectará el algoritmo y por último la longitud del lado de los cuadrados que componen el tablero.

```
./stereo_calibrate list.txt 9 6 2.6
```

El código almacena en diferentes archivos las matrices obtenidas durante la calibración. En este caso las matrices que nos interesan son las matrices  $Q$ ,  $mx1$ ,  $mx2$ ,  $my1$  y  $my2$ , las cuales son la matriz de reproyección y los mapas de consulta en las coordenadas x y y.



(a) Escena



(b) Medición real

Figura 5.3: Configuración de la escena para medición 3D

### 5.2.2. Distancia 3D

Una vez obtenida la calibración de cámaras ahora sólo resta utilizar las matrices obtenidas en conjunto con imágenes rectificadas para determinar distancia en tres dimensiones. Para esto se siguen los siguientes pasos:

1. Se toma una imagen, con ambas cámaras, del objeto de interés. En este caso, el objeto con el cual se desea estimar distancia en tres dimensiones, es una pelota roja. La escena se puede observar en la Figura 5.3.
2. Se utilizan las matrices que representan a los mapas de consulta para realizar una rectificación de las imágenes utilizando la función *cvRemap*.
3. Se segmentan las imágenes para encontrar un punto en común en ambas. En este caso se utilizó únicamente segmentación por color en el espacio HSV. Para esto se utilizó la función *cvThreshold* con las imágenes de *Hue* y *Saturation*. Posteriormente se utilizó una operación binaria AND y la función *cvFloodFill* para reducir puntos segmentados fuera de la pelota. El resultado de esta calibración se puede observar en la Figura 5.4.

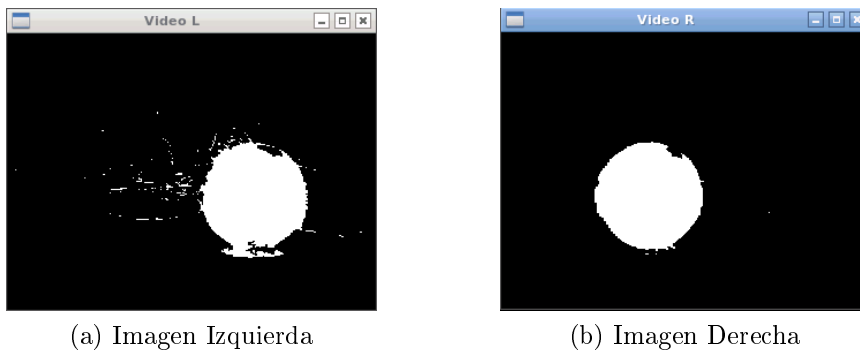


Figura 5.4: Imágenes segmentadas

4. Una vez segmentada la pelota, se obtiene su centroide utilizando momentos de OpenCV. Estos momentos se utilizan para realizar una comparación de contornos de una forma sencilla mediante las funciones *cvMoments* y *cvGetSpatialMoments*.
5. Utilizando el centroide de ambas imágenes, se realiza la operación matricial con el vector de coordenadas del centroide en la imagen izquierda, la disparidad y la matriz  $Q$  para obtener la distancia de la pelota con respecto a la cámara izquierda expresada en centímetros.

$$\begin{aligned}
X &= x_l * q_{00} + q_{03} \\
Y &= y_l * q_{11} + q_{13} \\
Z &= q_{23} \\
W &= d * q_{32} + q_{33}
\end{aligned}$$

donde  $q_{ij}$  son los elementos de la matriz  $Q$ ,  $x_l$  y  $y_l$  son las coordenadas  $x$  y  $y$ , respectivamente, del centroide en la imagen izquierda y  $d$  es la disparidad. Posteriormente se divide  $X$ ,  $Y$  y  $Z$  entre  $W$  para obtener la distancia 3D. La distancia calculada se puede observar en la Figura 5.5.

```

Centroid R(x,y)=(127,141)
Centroid L(x,y)=(211,142)
X = 3.007527
Y = 2.527560
Z = 31.051749

```

Figura 5.5: Distancia calculada a partir de dos imágenes

El código se encuentra en el Apéndice G.3.

## 5.3. Coordinación Percepción-Control

En esta sección se explica la manera en que la distancia obtenida en la sección anterior, se relaciona con la cinemática inversa del brazo para tomar objetos que estén al alcance del robot.

### 5.3.1. Cinemática de la cámara

Ya que obtuvimos las coordenadas de un objeto con respecto a la cámara, ahora necesitamos transformar las coordenadas al referencial del pecho para posteriormente transformarlo al referencial del hombro y aplicar la cinemática inversa del brazo con el cual se desee alcanzar dicho objeto. Para esto se necesita un nuevo diagrama cinemático que incluya el referencial del pecho y el referencial de la cámara, de acuerdo a la metodología de DH, el cual se muestra en la Figura 5.6. El referencial base  $b1$  se

encuentra en el centro del servomotor del pecho y el referencial  $C$  se encuentra en el centro de la cámara estereoscópica. Una vez establecidos los referenciales, se obtienen los parámetros de DH mostrados en la Tabla 5.1

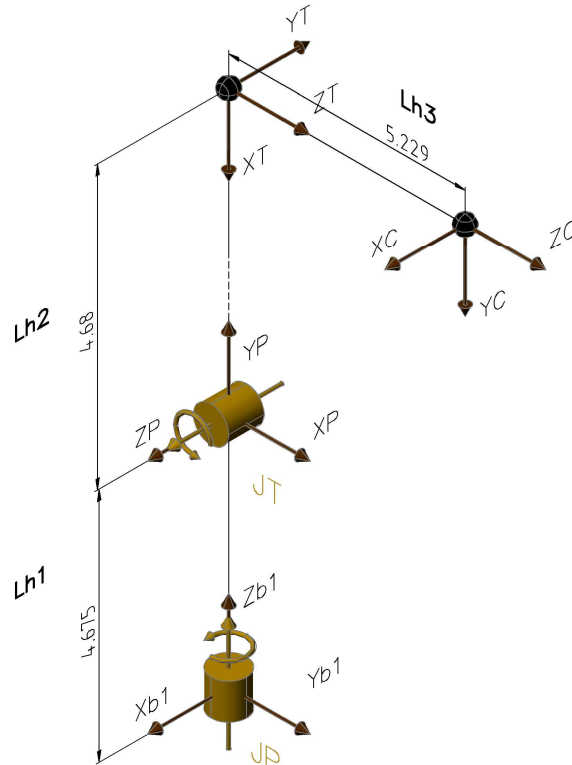


Figura 5.6: Diagrama cinemático de la cabeza

articulación i	$\theta_i$	$\alpha_i$	$a_i$	$d_i$
1	$\theta_P + 90^\circ$	$90^\circ$	0	$L_{h1}$
2	$\theta_T - 90^\circ$	$-90^\circ$	$-L_{h2}$	0
3	$-90^\circ$	$0^\circ$	0	$L_{h2}$

Tabla 5.1: Tabla de parámetros de la cabeza

Utilizando la Tabla 5.1 obtenemos las matrices de paso  $A_i$

$$A_1 = \begin{bmatrix} -s_P & 0 & c_P & 0 \\ c_P & 0 & s_P & 0 \\ 0 & 1 & 0 & L_{h1} \\ 0 & 0 & 0 & 1 \end{bmatrix} \quad A_2 = \begin{bmatrix} s_T & 0 & c_T & -L_{h2}s_T \\ -c_T & 0 & s_T & L_{h2}c_T \\ 0 & -1 & 0 & 0 \\ 0 & 0 & 0 & 1 \end{bmatrix} \quad A_3 = \begin{bmatrix} 0 & 1 & 0 & 0 \\ -1 & 0 & 0 & 0 \\ 0 & 0 & 1 & L_{h3} \\ 0 & 0 & 0 & 1 \end{bmatrix}$$

Para obtener la transformación homogénea del referencial de la cámara con respecto al del pecho realizamos la multiplicación de matrices

$$A_1 A_2 A_3 = T_{b1}^C = \begin{bmatrix} c_P & -s_P s_T & -s_P c_T & -L_{h3} s_P c_T + L_{h2} s_P s_T \\ s_P & c_P s_T & c_P c_T & L_{h3} c_P c_T - L_{h2} c_P s_T \\ 0 & -c_T & s_T & L_{h3} s_T + L_{h2} c_T + L_{h1} \\ 0 & 0 & 0 & 1 \end{bmatrix} \quad (5.1)$$

y las coordenadas de la cámara con respecto al referencial del pecho quedan de la siguiente manera:

$$\begin{bmatrix} X_{b1} \\ Y_{b1} \\ Z_{b1} \end{bmatrix} = \begin{bmatrix} X_C c_P + (L_{h2} - Y_C) s_P s_T - (Z_C + L_{h3}) s_P c_T \\ X_C s_P + (Y_C - L_{h2}) c_P s_T + (Z_C + L_{h3}) c_P c_T \\ (L_{h2} - Y_C) c_T + (Z_C + L_{h3}) s_T + L_{h1} \end{bmatrix} \quad (5.2)$$

### 5.3.2. Detección de objetos

Para el algoritmo de visión en conjunto con el movimiento del brazo, se utilizó un proceso de detección más riguroso ya que se debía verificar que los ángulos fuesen adecuados para el brazo antes de transmitirlos a los servomotores. Para esta nueva detección se realizó un proceso de segmentación por color, similar al mencionado en la Sección 5.2.2 pero también se utilizó la transformada de Hough para detección de círculos [29].



### 5.3.3. Seguimiento y alcance de objetos

Una vez detectada la pelota, se realizó un seguimiento de la misma y posteriormente el robot decide en qué momento tratar de agarrarla, esto es, en el momento en que estuviera al alcance de su brazo. Para realizar el seguimiento de la pelota, se consideró la posición del centroide dentro de un intervalo donde los ángulos de *Pan* y de *Tilt* no serían modificados, reduciendo el número de ángulos que se enviarían a los servomotores. Además, la detección de círculos, a pesar de haber sido mejorada, presenta pequeñas variaciones en la detección de la pelota y, por lo tanto, de su centroide. Cabe aclarar que el intervalo considerado se aplica directamente en los ángulos de *Pan* y de *Tilt*, esto es, primero se calculan estos ángulos utilizando las coordenadas de la pelota con respecto a la cámara de la manera siguiente:

$$Pan = atan2\left(\frac{-X}{Z}\right) \quad Tilt = atan2\left(\frac{-Y}{Z}\right)$$

y si alguno de ellos es mayor que el intervalo establecido, se actualiza la posición de los servomotores utilizando este nuevo ángulo para centrar la pelota nuevamente. Una vez obtenida la posición de la pelota con respecto a la cámara, utilizamos los ángulos de *Pan* y de *Tilt* para transformar las coordenadas al referencial del pecho mediante la cinemática obtenida en la sección previa. Ahora verificamos si esta posición se encuentra dentro del espacio de trabajo del robot utilizando la longitud del brazo y además debemos verificar que los ángulos obtenidos no sobrepasen los límites articulares establecidos. Si se determina que la pelota se encuentra dentro del espacio de trabajo y además los ángulos son adecuados, se manda la instrucción a los servomotores para que intente alcanzar y agarrar la pelota.



# Capítulo 6

## Pruebas y Resultados

En este capítulo se mostrarán los resultados obtenidos de la implementación de los algoritmos desarrollados, tanto en simulación como en el prototipo físico. Estos resultados ayudarán a comprobar la validez de dichos algoritmos para que el trabajo futuro sobre dicho prototipo pueda ser desarrollado en simulación y posteriormente implementado en el prototipo sin la necesidad de realizar mayores cambios.

### 6.1. Cinemática

Para las pruebas de cinemática, se especificaron diferentes poses utilizando cinemática directa dentro del simulador. Posteriormente las poses calculadas se utilizaron como entrada para el simulador de cinemática inversa y también para los programas en la Roboard.

#### 6.1.1. Piernas

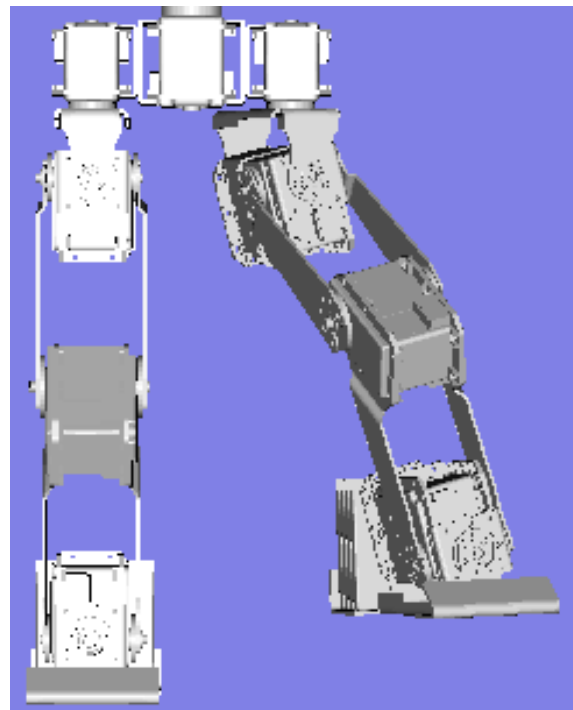
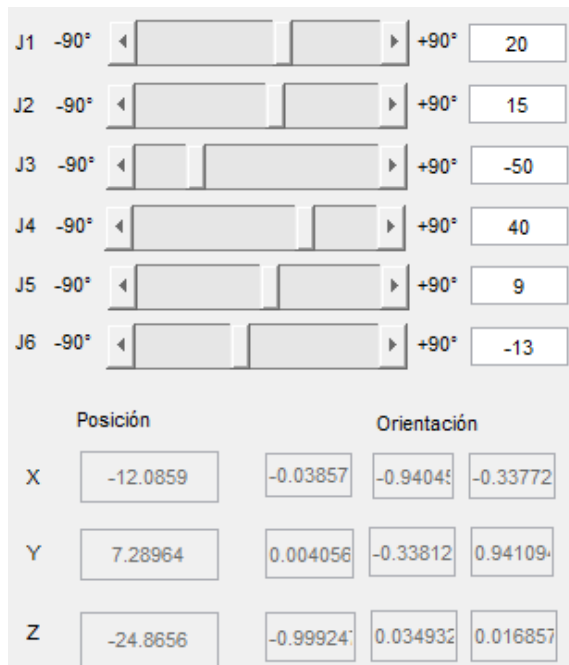
Como primera prueba se especificó el conjunto de ángulos mostrado en la Figura 6.1a. Este conjunto posiciona al pie izquierdo adelante y distante al eje longitudinal, flexionando la rodilla y además orienta al pie casi paralelo al suelo. Esta pose se muestra

en la Figura 6.1b. Esta pose está dada por la matriz de transformación

$$T_{b2}^6 = \begin{bmatrix} -0.03857 & -0.94045 & -0.33772 & -12.0859 \\ 0.004056 & -0.33812 & 0.941094 & 7.28964 \\ -0.999242 & 0.034932 & 0.016857 & -24.8656 \\ 0 & 0 & 0 & 1 \end{bmatrix}$$

la cual se introdujo al simulador de cinemática inversa y al calcular el conjunto de ángulos que generaban dicha pose, se obtuvieron los resultados mostrados en la Figura 6.2.

Estos ángulos posicionaron el modelo virtual (Figura 6.3a) y el prototipo físico (Figura 6.3b) utilizando como entrada, la pose obtenida mediante la cinemática directa.



(a) Conjunto de ángulos de la pierna y su respectiva pose obtenida

(b) Pose obtenida mediante el conjunto de ángulos de la pierna

Figura 6.1: Cinemática directa de la pierna en la prueba uno

Ángulos de Euler [R(z,phi)R(y,theta)R(z,psi)]

phi  theta  psi

	Posición [cm]		Orientación	
X	<input type="text" value="-12.0859"/>	<input type="text" value="-0.03857"/>	<input type="text" value="-0.94046"/>	<input type="text" value="-0.33770"/>
Y	<input type="text" value="7.28964"/>	<input type="text" value="0.004058"/>	<input type="text" value="-0.33810"/>	<input type="text" value="0.94110"/>
Z	<input type="text" value="-24.8656"/>	<input type="text" value="-0.99924"/>	<input type="text" value="0.034932"/>	<input type="text" value="0.016859"/>

Ángulos

TH1	<input type="text" value="19.9989"/>	TH4	<input type="text" value="39.9847"/>
TH2	<input type="text" value="15.0006"/>	TH5	<input type="text" value="9.0076"/>
TH3	<input type="text" value="-49.9924"/>	TH6	<input type="text" value="-13.0006"/>

(a) Pose deseada para el modelo VRML y sus variables articulares resultantes

```

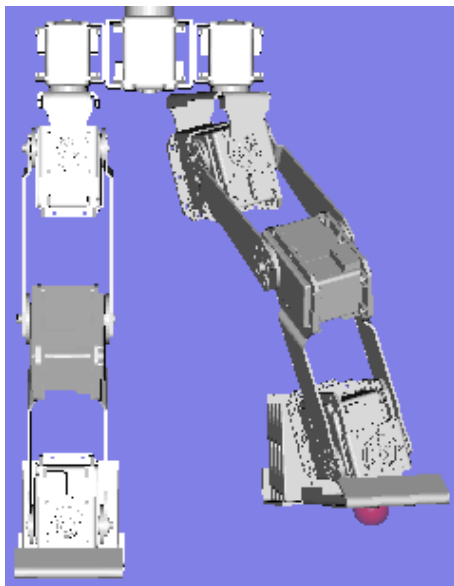
Pose deseada =
-0.038570 -0.940450 -0.337720 -12.085900
0.004056 -0.338120 0.941094 7.289640
-0.999242 0.034932 0.016857 -24.865600
0.000000 0.000000 0.000000 1.000000

Variables articulares obtenidas
THL1 = 20.000087
THL2 = 14.999897
THL3 = -49.994090
THL4 = 39.987095
THL5 = 9.007033
THL6 = -13.000004
THR1 = 1.100000
THR2 = 1.100000
THR3 = 1.100000
THR4 = 1.100000
THR5 = 1.100000
THR6 = 1.100000

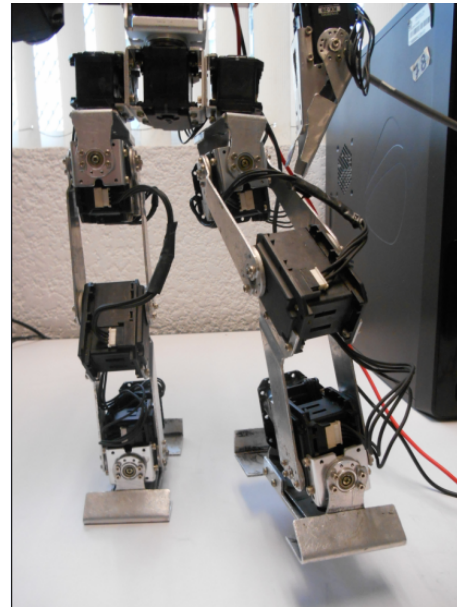
```

(b) Pose deseada para el prototipo y sus variables articulares resultantes

Figura 6.2: Cinemática inversa de la pierna en la prueba uno



(a) Pose alcanzada por el modelo VRML de la pierna



(b) Pose alcanzada por el prototipo físico de la pierna

Figura 6.3: Poses obtenidas mediante cinemática inversa de la pierna en la prueba uno

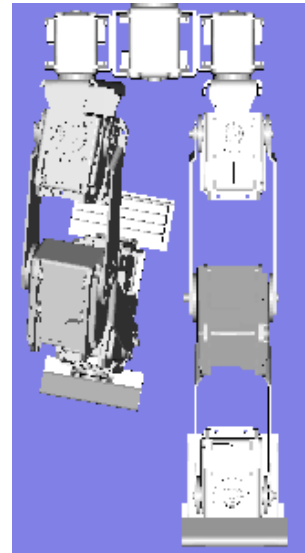
Para la segunda prueba se especificó el conjunto de ángulos mostrado en la Figura 6.4a. Este conjunto posiciona al pie derecho atrás y cercano al eje longitudinal,

flexionando la rodilla y además orientado con la suela casi perpendicular al suelo. Esta pose se muestra en la Figura 6.4b.

J1	-90°	<		>	+90°	-12
J2	-90°	<		>	+90°	-10
J3	-90°	<		>	+90°	30
J4	-90°	<		>	+90°	40
J5	-90°	<		>	+90°	18
J6	-90°	<		>	+90°	-11

Posición		Orientación			
X	3.32953	-0.01434	-0.98410	0.177006	
Y	-18.4446	-0.99989	0.014225	-0.00194	
Z	-17.3203	-0.00060	-0.17701	-0.98420	



(a) Conjunto de ángulos de la pierna y su respectiva pose obtenida

(b) Pose obtenida mediante el conjunto de ángulos de la pierna

Figura 6.4: Cinemática directa de la pierna en la prueba dos

Ángulos de Euler [R(z,phi)R(y,theta)R(z,psi)]

phi  theta  psi

Posición [cm]		Orientación			
X	3.32953	-0.01430	-0.98405	0.17707	
Y	-18.4446	-0.99989	0.014188	-0.00194	
Z	-17.3203	-0.00060	-0.17708	-0.98419	

Ángulos			
TH1	-12.0033	TH4	39.986
TH2	-10.0037	TH5	18.0063
TH3	30.0061	TH6	-11.0052

```

Pose deseada =
-0.014340 -0.984100 0.177006 3.329530
-0.999890 0.014225 -0.001940 -18.444600
-0.000600 -0.177010 -0.984200 -17.320300
0.000000 0.000000 0.000000 1.000000

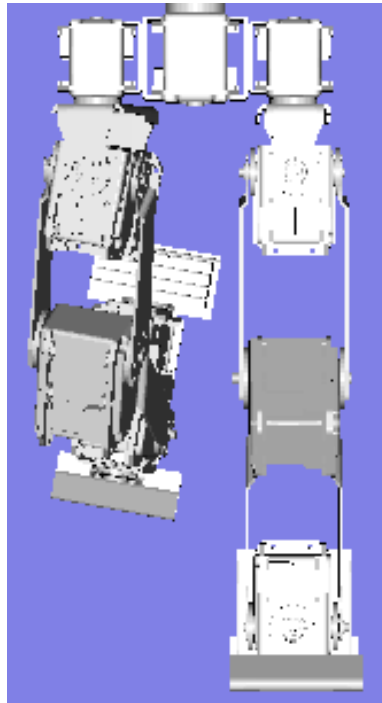
Variables articulares obtenidas
THL1 = 1.100000
THL2 = 1.100000
THL3 = 1.100000
THL4 = 1.100000
THL5 = 1.100000
THL6 = 1.100000
THR1 = -11.999828
THR2 = -9.999723
THR3 = 30.004592
THR4 = 39.990388
THR5 = 18.005333
THR6 = -10.999859
    
```

(a) Pose deseada para el modelo VRML y sus variables articulares resultantes

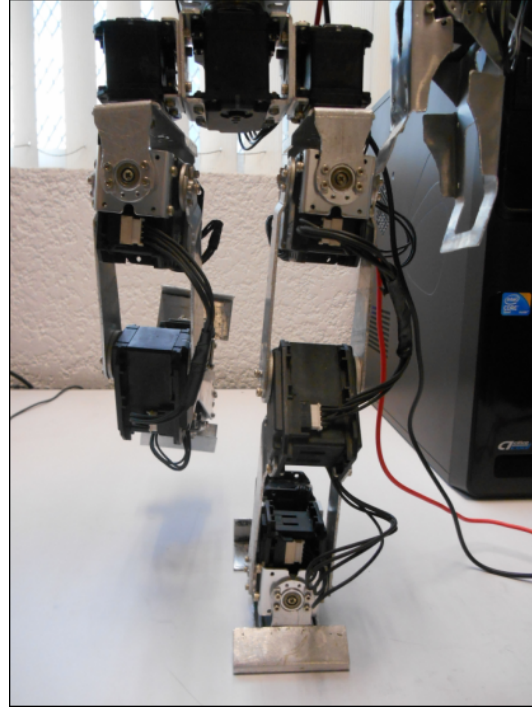
(b) Pose deseada para el prototipo y sus variables articulares resultantes

Figura 6.5: Cinemática inversa de la pierna en la prueba dos

Estos ángulos posicionaron nuevamente el modelo virtual como se puede observar en la Figura 6.6a y el prototipo físico en la Figura 6.6b.



(a) Pose alcanzada por el modelo VRML de la pierna



(b) Pose alcanzada por el prototipo físico de la pierna

Figura 6.6: Poses obtenidas mediante cinemática inversa de la pierna en la prueba dos

### 6.1.2. Brazos

Para las pruebas de los brazos se especificó únicamente la posición deseada para la mano y posteriormente se comparó con la posición alcanzada mediante la cinemática inversa. Ambas posiciones se pueden observar dentro del simulador utilizando una pelota para la posición deseada y otra para la posición de la mano. Se realizaron cuatro pruebas para comparar la precisión de la cinemática. Estas pruebas se realizaron en los 4 cuadrantes del espacio de trabajo del brazo, determinados por la intersección de los ejes de *Pitch* y *Yaw* del hombro. Finalmente se muestran diversas tablas de comparación donde se observa el error numérico expresado en centímetros.

- Prueba uno.

Posición [cm]		Orientación		
X	12	0.062859	0.216715	-0.974209
Y	15	0.344773	0.911328	0.224973
Z	10	0.936579	-0.350021	-0.017432
Ángulos				
	TH1	66.5675	TH3	-4.2133
	TH2	12.3528	TH4	92.3705

```

Posición deseada =
X = 12.000000
Y = 15.000000
Z = 10.000000

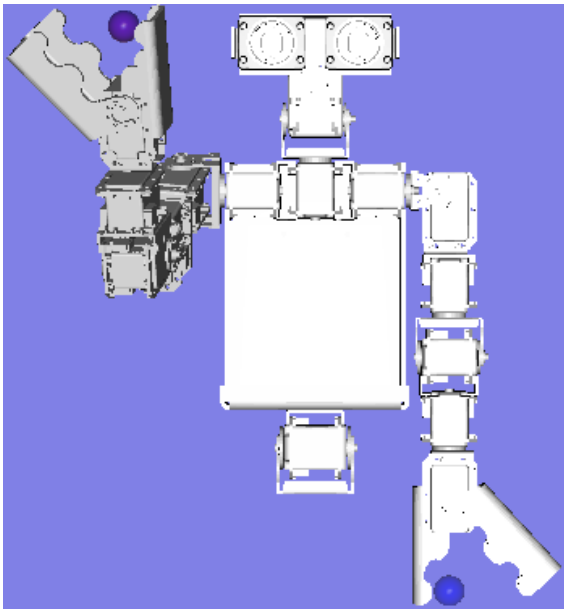
Variables articulares obtenidas
THL1 = 66.567548
THL2 = 12.352756
THL3 = -4.213320
THL4 = 92.370505

```

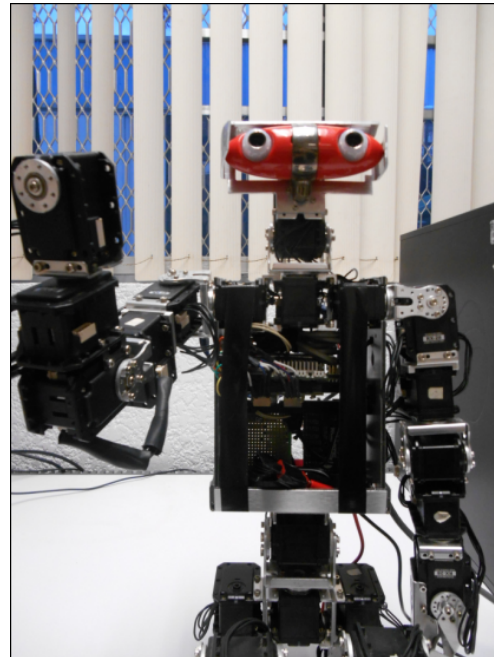
(a) Posición deseada para el modelo VRML y sus variables articulares resultantes

(b) Posición deseada para el prototipo y sus variables articulares resultantes

Figura 6.7: Cinemática inversa del brazo en la prueba uno



(a) Posición alcanzada por el modelo VRML



(b) Posición alcanzada por prototipo físico

Figura 6.8: Poses obtenidas mediante cinemática inversa del brazo en la prueba uno



■ Prueba dos.

Posición [cm]		Orientación		
X	-5	0.246058	0.093898	-0.964694
Y	13	0.287971	0.943271	0.165264
Z	7	0.925488	-0.318461	0.205059
Ángulos				
	TH1	51.1335	TH3	-15.2699
	TH2	0	TH4	110.8875
<input type="button" value="Calcular"/>				
<input type="button" value="Dentro del Espacio de Trabajo"/>				

(a) Posición deseada para el modelo VRML y sus variables articulares resultantes

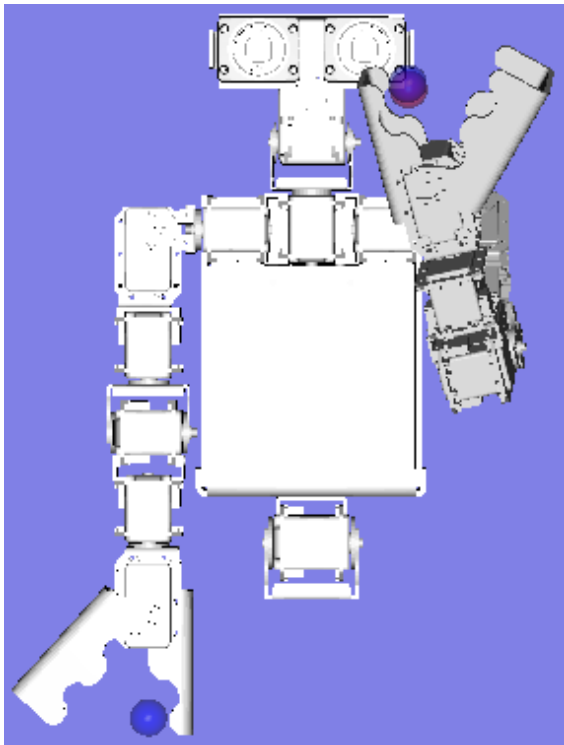
```

Posición deseada =
X = -5.000000
Y = 13.000000
Z = 7.000000

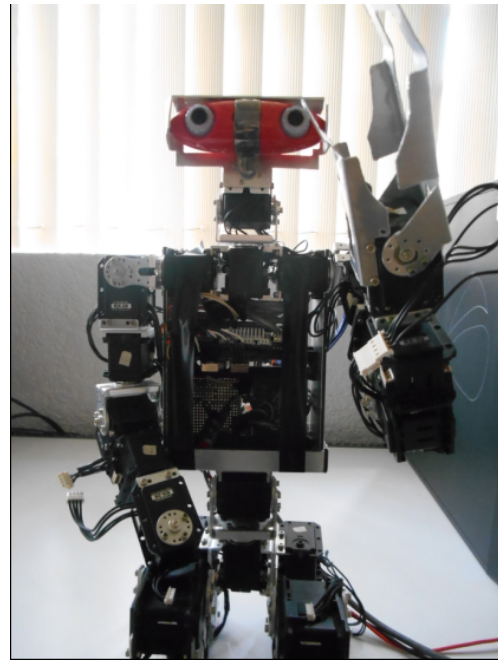
Variables articulares obtenidas
THL1 = 51.133519
THL2 = 1.100000
THL3 = -15.269861
THL4 = 110.887495
    
```

(b) Posición deseada para el prototipo y sus variables articulares resultantes

Figura 6.9: Cinemática inversa del brazo en la prueba dos



(a) Posición alcanzada por el modelo VRML



(b) Posición alcanzada por prototipo físico

Figura 6.10: Poses obtenidas mediante cinemática inversa del brazo en la prueba dos

- Prueba tres.

Posición [cm]		Orientación		
X	<input type="text" value="4"/>	<input type="text" value="-0.313111"/>	<input type="text" value="-0.075361"/>	<input type="text" value="-0.94672"/>
Y	<input type="text" value="15"/>	<input type="text" value="0.863556"/>	<input type="text" value="0.392282"/>	<input type="text" value="-0.316834"/>
Z	<input type="text" value="-5"/>	<input type="text" value="0.395259"/>	<input type="text" value="-0.916751"/>	<input type="text" value="-0.057751"/>
Ángulos				
	TH1	<input type="text" value="10.3302"/>	TH3	<input type="text" value="18.7873"/>
	TH2	<input type="text" value="0"/>	TH4	<input type="text" value="103.5326"/>

(a) Posición deseada para el modelo VRML y sus variables articulares resultantes

```

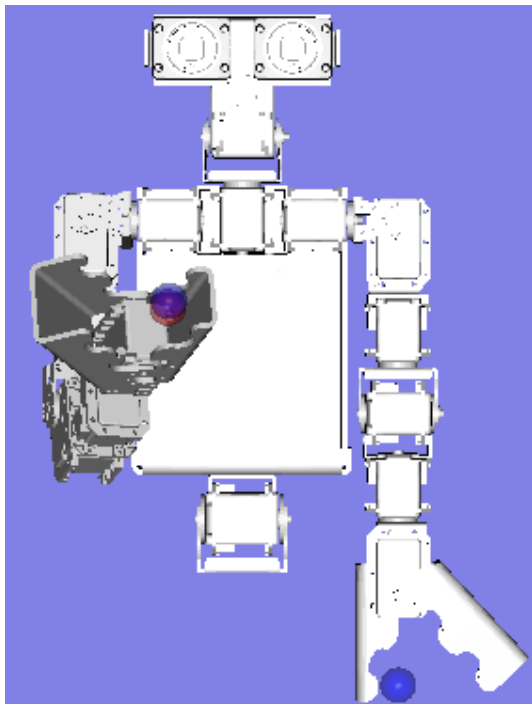
Posición deseada =
X = 4.000000
Y = 15.000000
Z = -5.000000

Variables articulares obtenidas
THL1 = 10.330156
THL2 = 1.100000
THL3 = 18.787337
THL4 = 103.532618

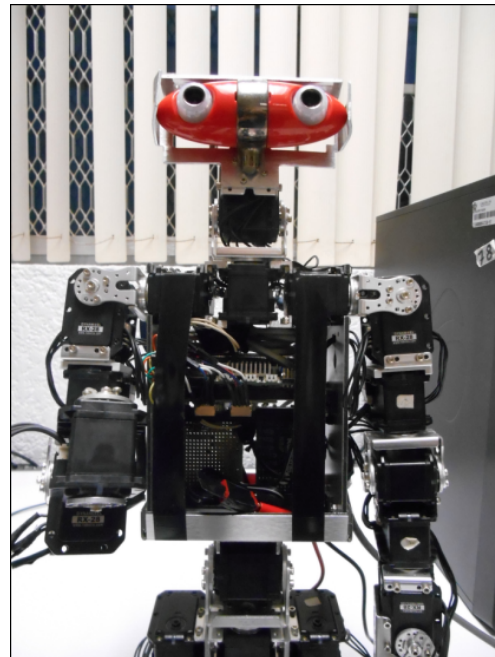
```

(b) Posición deseada para el prototipo y sus variables articulares resultantes

Figura 6.11: Cinemática inversa del brazo en la prueba tres



(a) Posición alcanzada por el modelo VRML



(b) Posición alcanzada por prototipo físico

Figura 6.12: Poses obtenidas mediante cinemática inversa del brazo en la prueba tres

■ Prueba cuatro.

Posición [cm]		Orientación		
X	-16	-0.23428	-0.25121	-0.93915
Y	20	0.968741	-0.14137	-0.20384
Z	-10	-0.08156	-0.95755	0.276482
<b>Ángulos</b>				
	TH1	31.1926	TH3	1.7868
	TH2	-20.0142	TH4	51.8902
<input type="button" value="Calcular"/>				
<input type="button" value="Dentro del Espacio de Trabajo"/>				

(a) Posición deseada para el modelo VRML y sus variables articulares resultantes

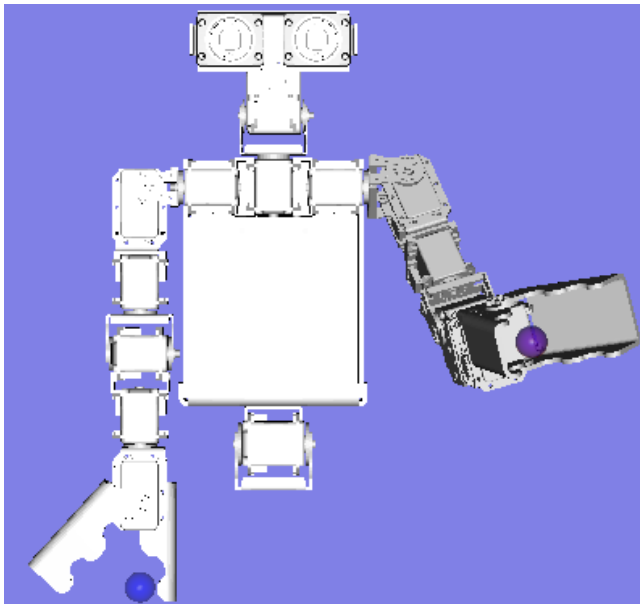
```

Posición deseada =
X = -16.000000
Y = 20.000000
Z = -10.000000

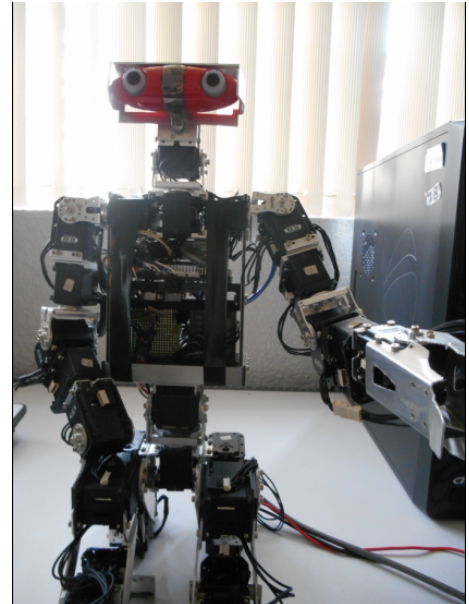
Variables articulares obtenidas
THL1 = 31.192617
THL2 = -20.014153
THL3 = 1.786811
THL4 = 51.890184
    
```

(b) Posición deseada para el prototipo y sus variables articulares resultantes

Figura 6.13: Cinemática inversa del brazo en la prueba cuatro



(a) Posición alcanzada por el modelo VRML



(b) Posición alcanzada por prototipo físico

Figura 6.14: Poses obtenidas mediante cinemática inversa del brazo en la prueba cuatro

P. deseada	P. real	Error
12	11.9888	0.0112
15	14.9567	0.0433
10	10.0684	0.0684
Magnitud del Error		0.0817

Tabla 6.1: Tabla de comparación de la cinemática inversa del brazo en la prueba uno

P. deseada	P. real	Error
-5	-4.9651	0.0349
13	12.8171	0.1829
7	7.3117	0.3117
Magnitud del Error		0.363

Tabla 6.2: Tabla de comparación de la cinemática inversa del brazo en la prueba dos

P. deseada	P. real	Error
5	4.9702	0.0298
15	15.0766	0.0766
-5	-4.7406	0.2594
Magnitud del Error		0.2721

Tabla 6.3: Tabla de comparación de la cinemática inversa del brazo en la prueba tres

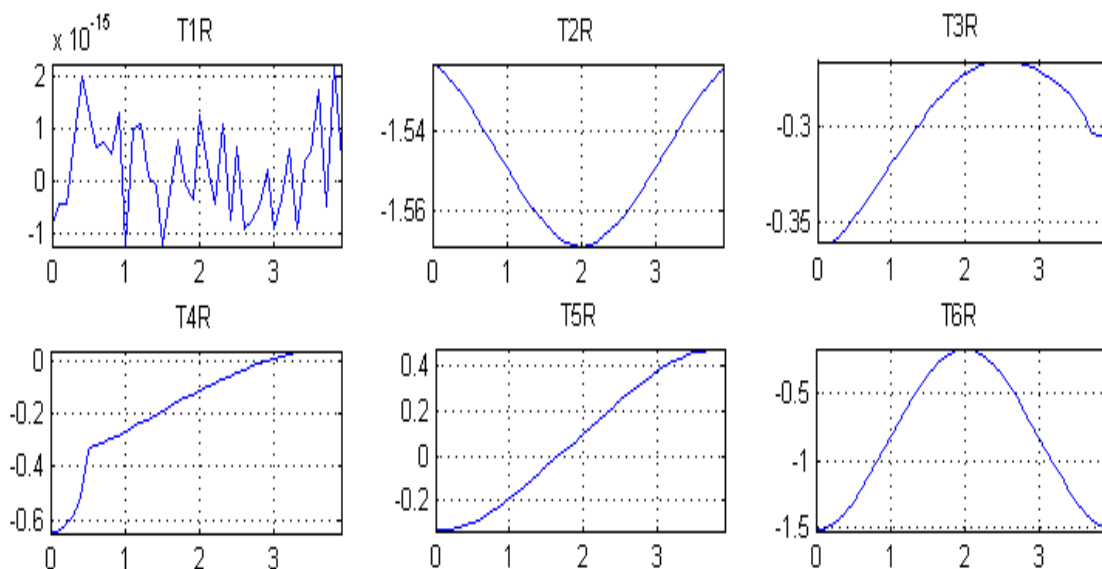
P. deseada	P. real	Error
-16	-16.9903	0.0097
20	20.0315	0.0315
-10	-9.9439	0.0561
Magnitud del Error		0.0651

Tabla 6.4: Tabla de comparación de la cinemática inversa del brazo en la prueba cuatro

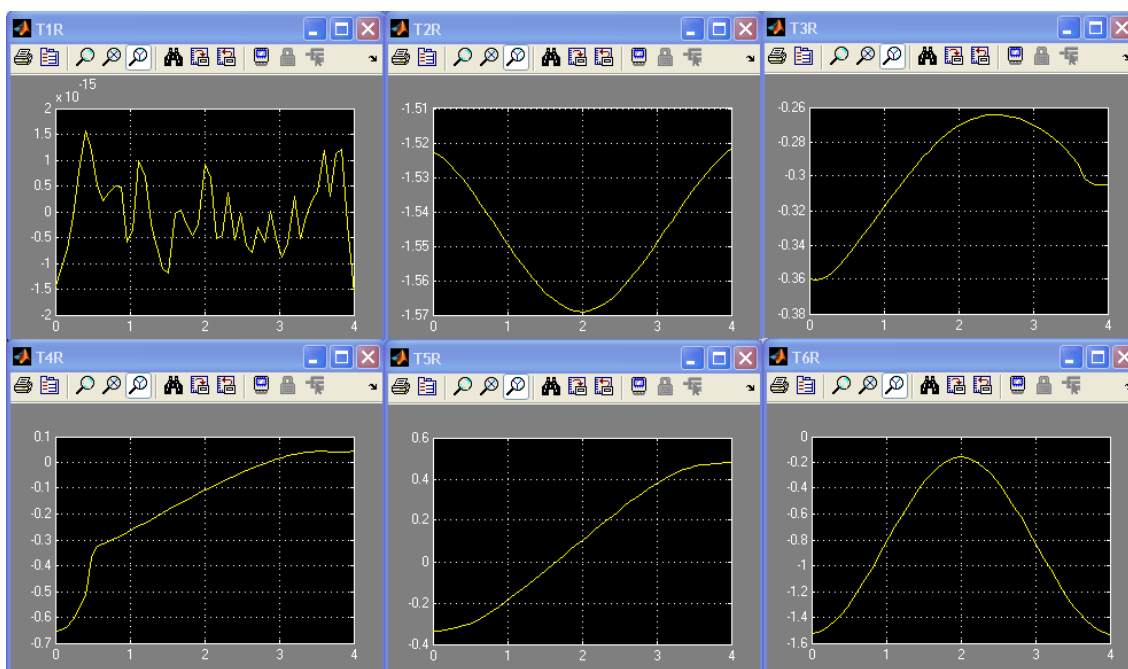
## 6.2. Dinámica

Para comprobar la validez del modelo dinámico obtenido mediante la formulación de Newton-Euler, se realizó el ensamble del robot en SimMechanics como se mencionó en la Sección 3.3.2. La trayectoria que se evaluó en esta parte, fue simplemente un paso desde la posición inicial del caminado parametrizado. Al introducir la posición, velocidad y aceleración, junto con el tiempo de muestreo, a los modelos, obtenemos los

pares resultantes que será necesario aplicar en cada articulación con el fin de producir dicho movimiento. Los pares resultantes en la pierna derecha (soporte), se muestran en la Figura 6.15. Los pares resultantes en la pierna izquierda (flotante), se muestran en la Figura 6.16.

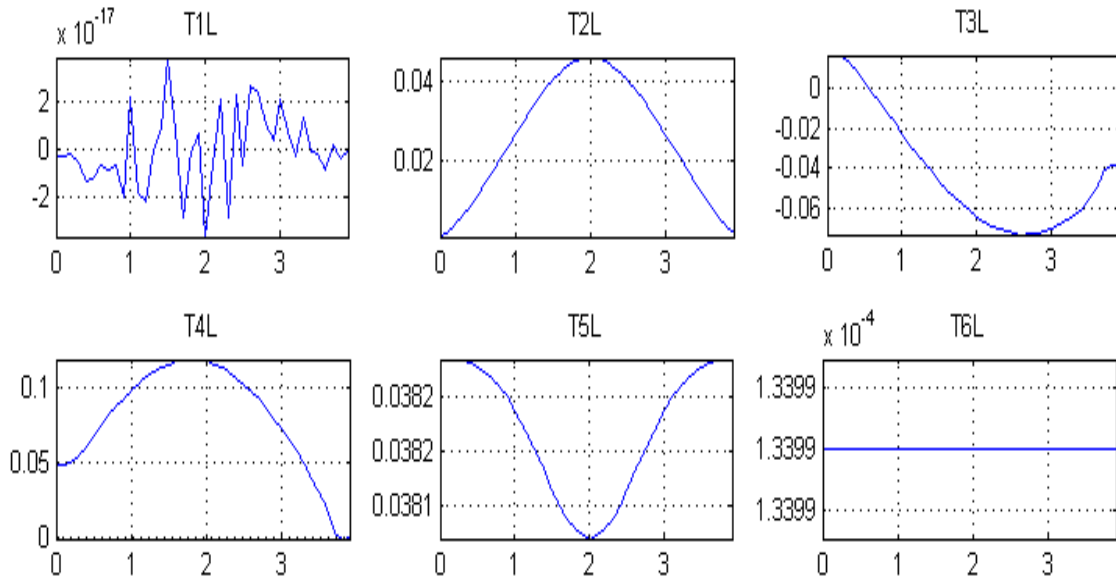


(a) Pares obtenidos con el modelo de Newton-Euler

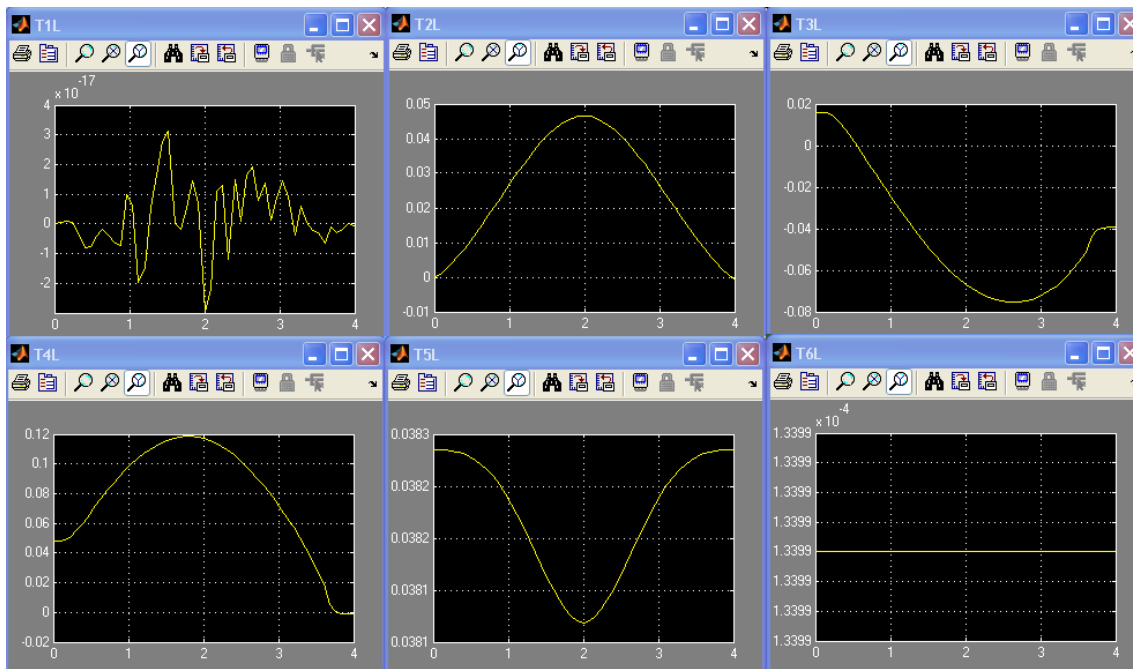


(b) Pares obtenidos con el modelo de SimMechanics

Figura 6.15: Pares de la pierna de soporte



(a) Pares obtenidos con el modelo de Newton-Euler



(b) Pares obtenidos con el modelo de SimMechanics

Figura 6.16: Pares de la pierna flotante

## 6.3. Caminado

Para las pruebas de caminado se implementaron las trayectorias obtenidas mediante ambos métodos, tanto en el prototipo físico como en el modelo virtual. Estas trayectorias fueron calculadas utilizando un conjunto fijo de parámetros para cada una. Posteriormente se evaluó su estabilidad al obtener la trayectoria del zmp y compararla con el polígono de soporte.

### 6.3.1. Caminado parametrizado

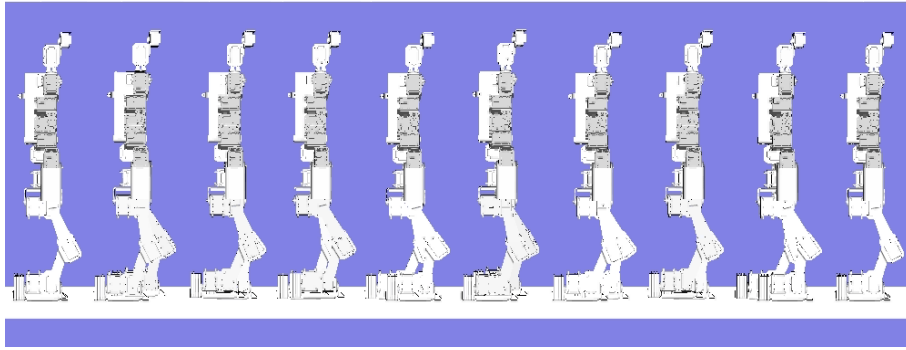
Conjunto de parámetros

- Duración.  $T_p = 4$ ,  $T_{ds} = 0.2$ ,  $\Delta T = 0.2$
- Plano sagital.  $L_p = 5$ ,  $h = 28$ ,  $h_b = 0.5$ ,  $h_p = 1$
- Plano frontal.  $d_b = -2$ ,  $d_p = 10$

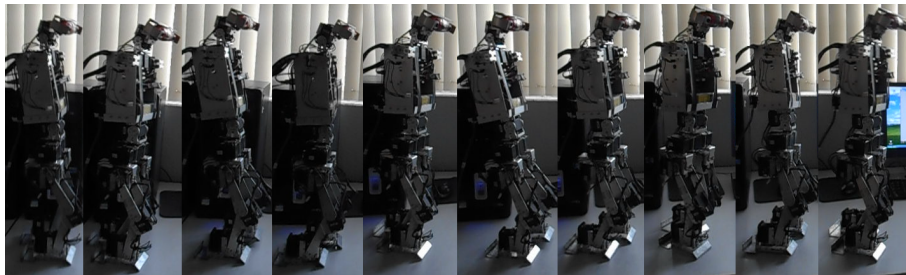
### 6.3.2. Caminado omnidireccional

Conjunto de parámetros

- Parámetros de entrada.  $V_{Robot} = [0;1;0]$ ,  $\psi = 0.1$ ,  $l = 29\text{cm}$
- Acortamiento.  $v_{Short} = 3$ ,  $o_{Short} = -0.05$
- Carga.  $v_{Load} = 2.0$
- Balanceo.  $v_{Swing} = 2.0$ ,  $o_{Swing} = -0.15$ , longitud mínima = 0.875

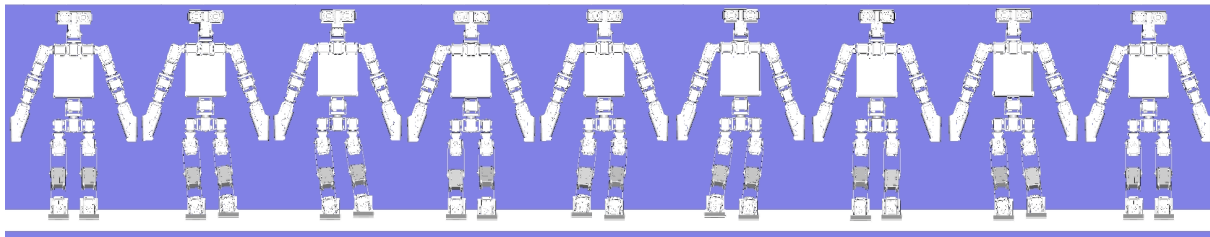


(a) Trayectoria en el modelo VRML

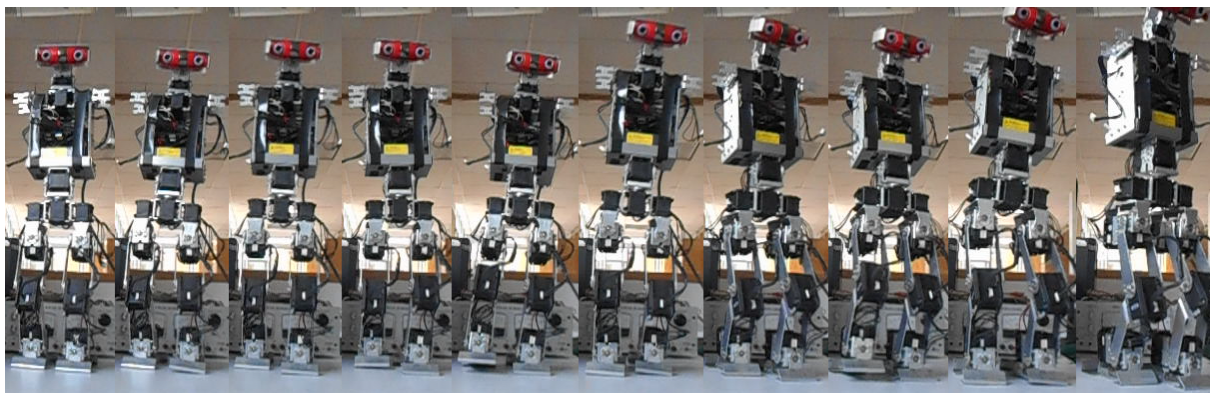


(b) Trayectoria en el prototipo físico

Figura 6.17: Caminado parametrizado en el plano sagital



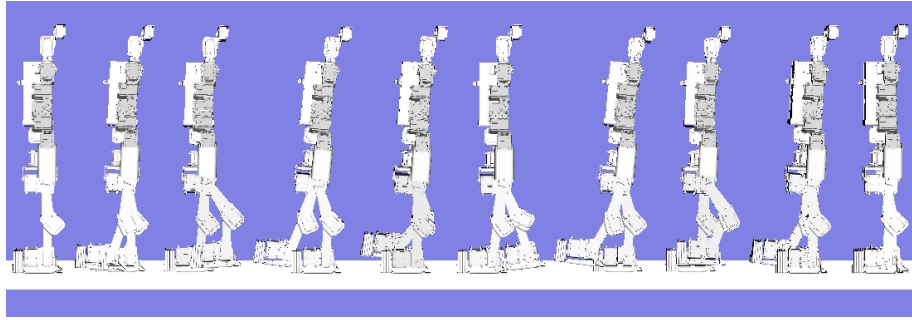
(a) Trayectoria en el modelo VRML



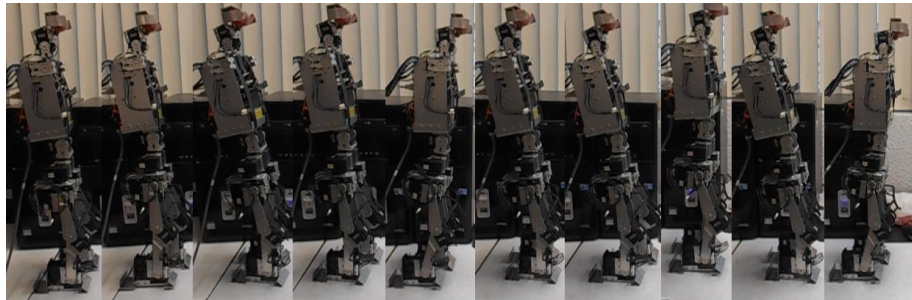
(b) Trayectoria en el prototipo físico

Figura 6.18: Caminado parametrizado en el plano frontal



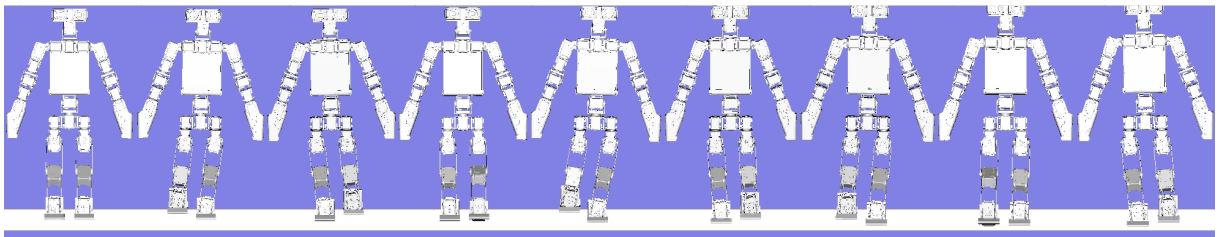


(a) Trayectoria en el modelo VRML

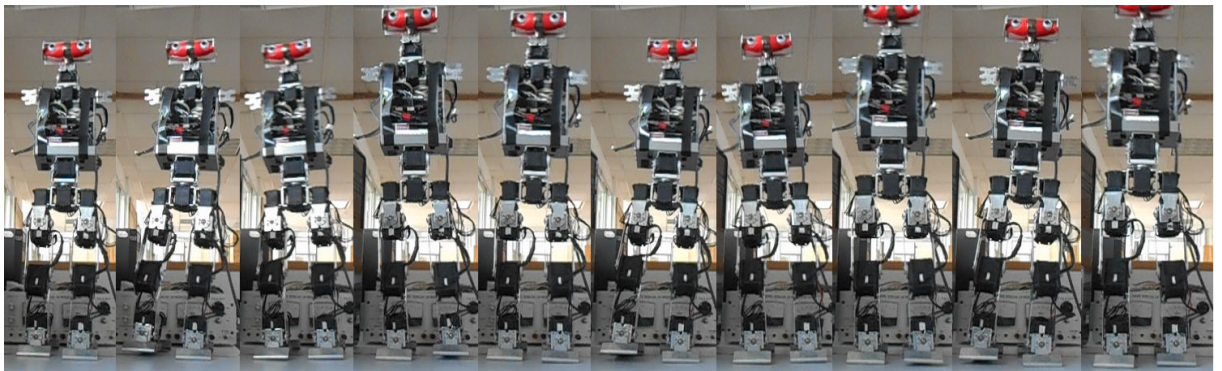


(b) Trayectoria en el prototipo físico

Figura 6.19: Caminado omnidireccional en el plano sagital



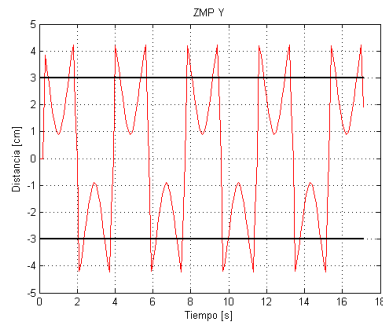
(a) Trayectoria en el modelo VRML



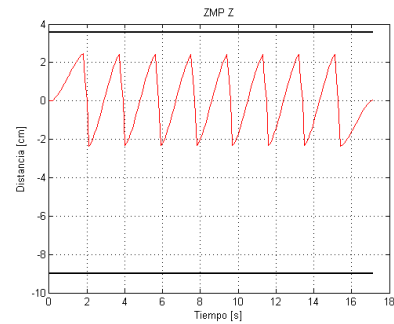
(b) Trayectoria en el prototipo físico

Figura 6.20: Caminado omnidireccional en el plano frontal

### 6.3.3. Estabilidad del caminado

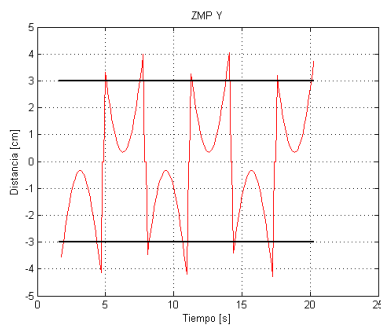


(a) Coordenada Y en el tiempo

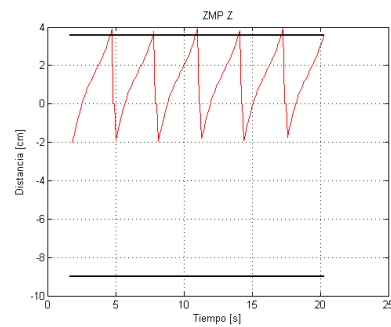


(b) Coordenada Z en el tiempo

Figura 6.21: Trayectoria del ZMP en el caminado parametrizado

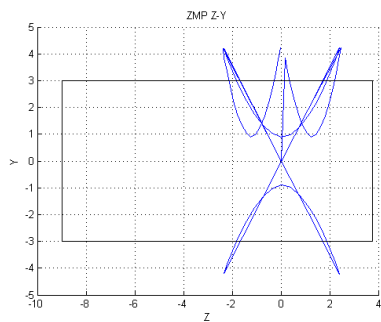


(a) Coordenada Y en el tiempo

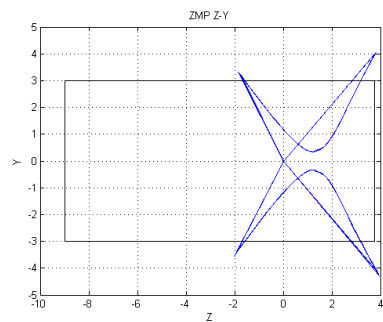


(b) Coordenada Z en el tiempo

Figura 6.22: Trayectoria del ZMP en el caminado omnidireccional



(a) Caminado parametrizado



(b) Caminado omnidireccional

Figura 6.23: Trayectoria del ZMP respecto al polígono de soporte simple

## 6.4. Coordinación Percepción-Control

Para la prueba de coordinación se utilizó la misma pelota roja de la prueba de distancia. Esta pelota se movió dentro del campo de visión de la cámara estereoscópica y mediante los ángulos de *Pan* y de *Tilt* centraba la pelota cuando alguno de estos ángulos fuese significativo. Posteriormente se acercó la pelota y en el momento en que ésta se encontraba al alcance del brazo, el robot la toma y regresa a su posición inicial.

### 6.4.1. Segmentación

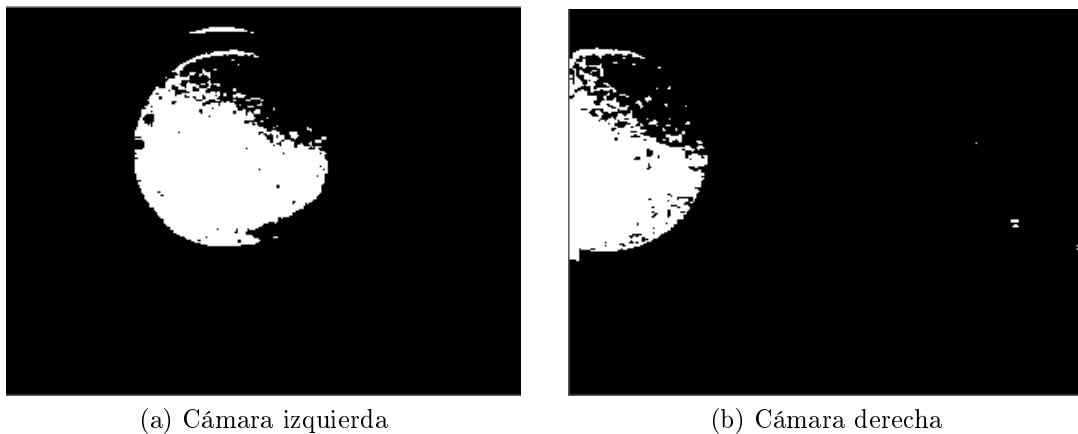


Figura 6.24: Segmentación de pelota

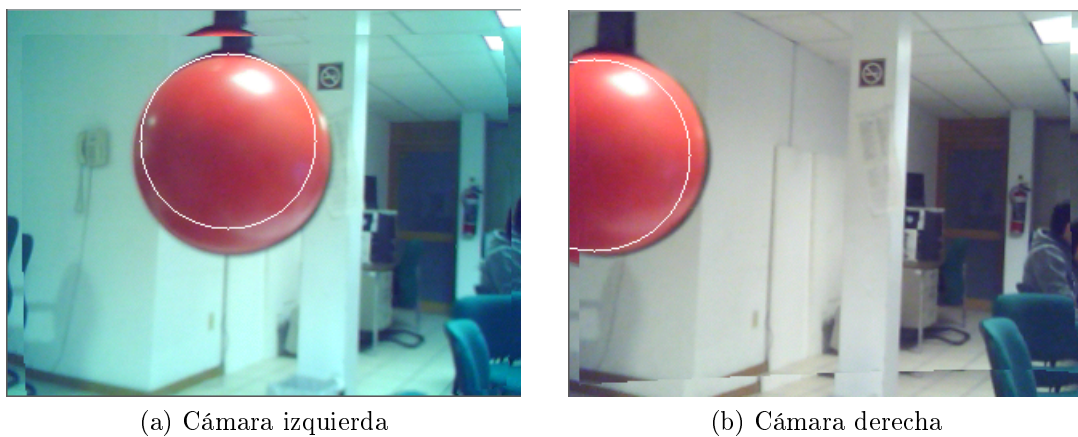


Figura 6.25: Detección de pelota

### 6.4.2. Seguimiento

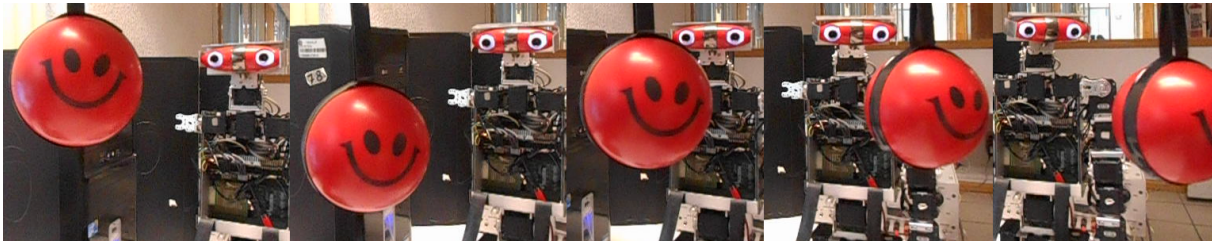


Figura 6.26: Seguimiento de pelota roja utilizando servomotores de Pan y *Tilt*

### 6.4.3. Alcance de objeto

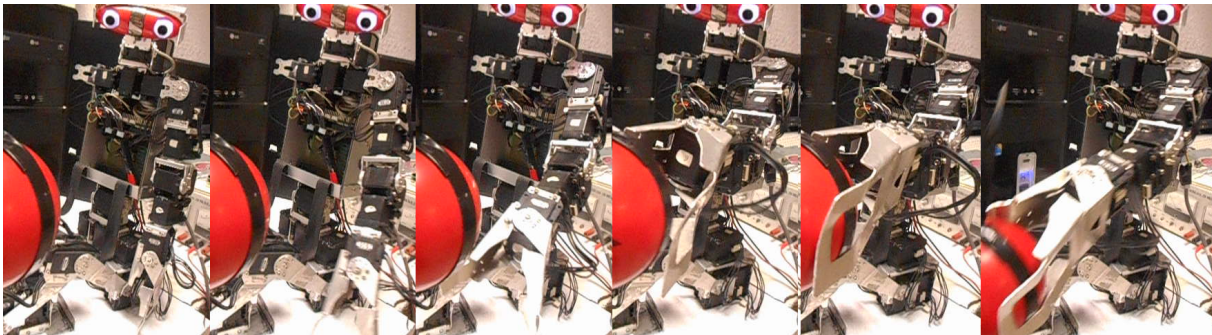


Figura 6.27: Alcance de pelota con brazo izquierdo

# Capítulo 7

## Conclusiones

En esta Tesis se presentó el análisis que se requiere para llevar a un humanoide desde un estado de reposo hasta un estado de locomoción con cierta autonomía. El proceso descrito es básico para trabajar con cualquier humanoide y es un proceso que muchas veces se da por entendido y se parte del mismo para desarrollar nuevos avances en la robótica de humanoides. Un objetivo de esta Tesis fue describir este proceso básico de análisis para reducir el tiempo que se emplea en conocer los primeros pasos para trabajar con robots humanoides, y así invertirlo en el proceso de investigación e innovación. Este proceso inicial se ilustró mediante la creación de interfaces gráficas que permitieron, tanto validar los algoritmos de cinemática como observar las trayectorias diseñadas para el caminado. La cinemática desarrollada para las piernas se basó en la metodología de Denavit Hartenberg [14] y Lee [16]. La implementación no fue directa pero se basó en el proceso utilizado en su artículo. Por otra parte, la cinemática de los brazos fue desarrollada en su totalidad en esta Tesis. Se descartó la posibilidad de utilizar el algoritmo de Lee debido a que, a pesar de que la solución era exacta, requería de la orientación del efector final y debido al número de gdl del brazo, la orientación depende de la posición, lo cual descarta la posibilidad de este algoritmo. Se utilizó un método geométrico con una compensación numérica que presenta buenos resultados utilizando únicamente la posición de la mano para posicionar el brazo. El modelo dinámico del humanoide fue posible validarlo, de acuerdo a las gráficas mostradas en la Sección 6.2, al comparar los pares con los obtenidos mediante el modelo en SimMechanics, sin embargo, debido a que las trayectorias de SimMechanics no consideran las derivadas de la posición, únicamente la formulación de Newton y la de Euler pudieron

ser comprobadas, el modelo completo sigue sin poder validarse de la misma manera en que se valida el modelo cinemático.

Otro objetivo de esta Tesis fue describir el procedimiento requerido para obtener un humanoide programable que pudiese utilizarse en un futuro para investigación en conjunto con plataformas conocidas como lo son los robots Nao y DARwIn. Este proceso, al igual que el proceso de modelado, se da por conocido debido a que no es necesario cuando se adquiere un humanoide comercialmente. Para este humanoide desarrollado en el Departamento de Control Automático del CINVESTAV en conjunto con la Universidad La Salle, este proceso es fundamental para desarrollar una plataforma básica de investigación. Este proceso puede parecer trivial pero consume demasiado tiempo cuando no se cuenta con un proceso detallado de configuración. Es este proceso el cual se desea plasmar en este trabajo. Cabe mencionar que el sistema de comunicación implementado con los controladores particulares utilizados en esta Tesis, no existía previamente, particularmente el uso del controlador CM-700 con una computadora sin utilizar la terminal de RoboPlus. Sin embargo, este sistema no está exento del uso del controlador con otra computadora y la terminal de RoboPlus ya que debido al sistema operativo instalado en la Roboard, se requiere utilizar otra computadora para cargar programas al controlador CM-700, además las características del procesador, no permiten instalar el programa que se utiliza para crear programas nuevos para el controlador. Este aspecto del prototipo no lo hace dependiente de otra computadora ya que el programa que se utilizó dentro del controlador sólo sirve de intérprete y por lo tanto no requiere modificaciones frecuentes. Lo que sí hace dependiente al sistema, de otra computadora es el hecho de que la Roboard no cuenta con salida de video propia a menos de que se utilice la tarjeta de salida VGA. El inconveniente de esto, además de que la tarjeta se calienta rápidamente, es que ocupa el mismo puerto que la tarjeta de red inalámbrica, por lo tanto la computadora se manipula por medio de escritorio remoto. Esto no difiere en gran medida a la forma en que se trabaja con el robot DARwIn ya que requiere de un monitor HD, un teclado y un mouse. El proceso de diseño es un proceso de análisis iterativo en ingeniería. El robot diseñado en esta Tesis fue la segunda iteración del primer humanoide desarrollado en el Departamento de Control Automático. La principal

ventaja sobre el diseño anterior fue la inclusión de baterías y controladores dentro del tórax, lo cual las protege y además facilita las conexiones. El costo de esta mejora fue el aumento del volumen del tórax, el cual se compensó al cambiar el material para no aumentar significativamente el peso del robot. Las piernas no se modificaron ya que sus eslabones eran adecuados para el movimiento del robot y para los servomotores utilizados.

Con respecto a las rutinas de caminado, al implementar las trayectorias en el modelo físico, los servomotores presentaron un error de posición debido a la carga y al acoplamiento mecánico que existe entre el servomotor y la brida de soporte. Esto generó un intervalo en el cual las bridas, podían ser rotadas sin presentar resistencia. Ésta flexibilidad angular fue lo suficientemente considerable para que el robot se balancease hacia adelante o hacia atrás con la misma facilidad, lo cual resultó ser el mayor obstáculo que impedía la implementación de caminatas estables, además de que introdujo un giro en *Yaw* en el pie de soporte. Sin embargo, esta flexibilidad se redujo al colocar acoplamientos en las bridas actuadas de los servomotores, principalmente los del del tobillo. También, se compensó mediante modificaciones en las trayectorias articulares. Esta modificación se puede simplificar mediante la inclusión de sensores que permitan evaluar el seguimiento de las trayectorias de caminado y su estabilidad. Actualmente, se cuenta únicamente con la medición de la posición y la velocidad en los servomotores y se requiere medir más variables para garantizar la estabilidad de cualquier trayectoria implementada. A pesar de haberse mejorado el acoplamiento mecánico, finalmente fue necesario reducir el peso de la unidad pasajera para obtener un caminado estable, ésto se hizo mediante la remoción de los brazos. Ésto se puede evitar en un futuro al colocar un modelo diferente de brazo que posea menos grados de libertad pero que a la vez sea más ligero.

Como último objetivo, se implementó un algoritmo de manipulación de objetos en lazo cerrado mediante un sistema de percepción. Este sistema consiste en: segmentación, estimación de distancia, seguimiento, transformación de coordenadas y posicionamiento del brazo. El paso más importante, y a la vez más difícil de alcanzar, es la segmentación. Todo el algoritmo depende de una correcta detección del objeto y una estimación de la

posición de su centroide. Sin importar la segmentación que utilicemos y los parámetros de la transformada de Hough, esta segmentación no es lo suficientemente robusta para garantizar una correcta detección en todo momento, sin embargo, se establecieron condiciones que se debían cumplir dentro de la detección del objeto antes de posicionar el brazo. Este trabajo abarca los aspectos que se deben tomar como base para el trabajo de investigación en la robótica humanoide, además de que presenta una nueva iteración al proceso de diseño de robots humanoides en el CINVESTAV.

## 7.1. Trabajo a futuro

Como trabajo a futuro se consideran los siguientes puntos:

- Incorporación de sensores inerciales y de presión
- Manipulación adicional de objetos utilizando el giro de la muñeca mediante el uso de visión y cinemática directa
- Alcance adicional de objetos utilizando el ángulo de *Yaw* del tórax
- Implementación de rutinas de levantado
- Ejecución paralela de algoritmos de visión y caminado
- Modificación de los eslabones en la unidad locomotora para reducir error de posición
- Mejorar el acoplamiento mecánico en la brida de soporte
- Colocar cubiertas al tórax
- Colocar base en los pies que aumente la fricción con el suelo
- Implementación de trayectorias en lazo cerrado midiendo el ZMP para compensar incertidumbre en el modelado y rechazar perturbaciones
- Control de posición basado en la fuerza que se genera al cerrar la mano



- Agregar dispositivos de entrada y salida a la Roboard
- Programas ejecutables de demostración en ausencia de escritorio remoto
- Establecer comunicación bidireccional en los controladores



# Apéndice A

## Especificaciones del Hardware

<b>Model</b>	CM-700
<b>Processor</b>	ATMega2561
<b>Memory</b>	Flash (Kbytes): 256 Kbytes
<b>ADCs</b>	Analog Devices AD-7918 10-bit
<b>I/O Interface</b>	<ul style="list-style-type: none"><li>• Internal I/O Device</li><li>• Button : 2 sets (Reset 1, Start 1)</li><li>• Voltage Sensor : 1</li> <li>• External I/O Device</li><li>• OLLO Peripheral-Device Compatible 5 pin I/O Port : 6</li><li>• 3-Pin Connector for Dynamixel using TTL Communication : 4</li><li>• 4-Pin Connector for Dynamixel using RS-485 Communication : 5</li></ul>
<b>Power Consumption</b>	<ul style="list-style-type: none"><li>• When IDLE : 40mA</li><li>• Exterior I/O Maximum Current : 0.9<sup>a</sup></li><li>• Overall Maximum Current : 10A (Fuse)</li></ul>
<b>Power Input</b>	DC-in 7V to 35V
<b>Dimension</b>	66 x 46 mm
<b>Weight</b>	37.3g

Figura A.1: Especificaciones del subcontrolador CM-700

<b>Model</b>	RB-100
<b>Processor</b>	DM&P Vortex86DX
<b>BIOS</b>	AMI BIOS
<b>Memory</b>	256MB DDR 2 onboard
<b>ADCs</b>	Analog Devices AD-7918 10-bit
<b>I/O Interface</b>	<ul style="list-style-type: none"> <li>• Micro SD slot x1 **support class 2,4,6 SDHC with any capacity</li> <li>• USB port x 1 (USB 2.0 version)</li> </ul>
<b>Connectors</b>	<ul style="list-style-type: none"> <li>• 2.54 mm 3-pin box header for PWM x 24</li> <li>• 2.54 mm 10-pin box header for RS-232 x1</li> <li>• 2.54 mm 10 -pin box header for USB x1</li> <li>• 2.0 mm 4-pin header for RS-485 x1</li> <li>• 2.0 mm 4-pin header for TTL serial x1</li> <li>• 2.54 mm 10 -pin box header for SPI &amp; I 2C x1</li> <li>• 2.54 mm 16-pin header for A/D x1</li> <li>• 1.25 mm 3 -pin wafer for TTL serial x 1</li> <li>• 1.25 mm 4 -pin wafer for LAN x 1</li> <li>• 1.25 mm 4-pin wafer for MIC-in x 1</li> <li>• 1.25 mm 4-pin wafer for Line-out x1</li> <li>• 1.25 mm 6-pin wafer for JTAG x1</li> <li>• 0.8mm 124-Pin Mini PCI Card connector</li> <li>• 3.96 mm 2 pin for Power x 1</li> </ul>
<b>Power Consumption</b>	+5V @ 400mA
<b>Power Input</b>	DC-in 6V to 24V
<b>Dimension</b>	96 x 56 mm
<b>Weight</b>	40g
<b>Resolution</b>	PWM : 20ns Serial : 115200bps I2C : 1Kbps ~ 3.3Mbps SPI : 10Mbps to 150Mbps Half-Duplex; CPOL=0/1,CPHA=1 Clock mode
<b>Compatible O/S</b>	DOS, Windows 98/ME, WIndows XP Windows Embedded CE 6.0 Windows XP Embedded, Windows Embedded Stardand Linux distribution kernel 2.4.x, 2.6.x

Figura A.2: Especificaciones de la Roboard RB-100

<b>Model</b>	RX_28
<b>Resolution</b>	0.29°
<b>Gear Reduction Ratio</b>	193 : 1
<b>Stall Torque</b>	3.7N.m (at 18.5V, 1.9A)
<b>No load speed</b>	85rpm (at 18.5V)
<b>Running Degree</b>	<ul style="list-style-type: none"> <li>• 0° ~ 300°</li> <li>• Endless Turn</li> </ul>
<b>Running Temperature</b>	-5°C ~ +80°C
<b>Command Signal</b>	Digital Packet
<b>Protocol Type</b>	RS485 Asynchronous Serial Communication (8bit,1stop, No Parity)
<b>Link (Physical)</b>	RS485 Multi Drop Bus
<b>ID</b>	254 ID (0~253)
<b>Communication Speed</b>	7343bps ~ 1 Mbps
<b>Feedback</b>	Position, Temperature, Load, Input Voltage, etc.
<b>Power Consumption</b>	Standby current : 50 mA
<b>Power Input</b>	DC-in 12V~18.5V (Recommended Voltage 14.8V)
<b>Material</b>	Full Metal Gear, Engineering Plastic Body
<b>Dimension</b>	35.6 x 50.6 x 35.5 mm
<b>Weight</b>	72g

Figura A.3: Especificaciones del servomotor RX-28

<b>Model</b>	RX_64
<b>Resolution</b>	0.29°
<b>Gear Reduction Ratio</b>	200 : 1
<b>Stall Torque</b>	5.3N.m (at 18.5V, 2.6A)
<b>No load speed</b>	64rpm (at 18.5V)
<b>Running Degree</b>	<ul style="list-style-type: none"> <li>• 0° ~ 300°</li> <li>• Endless Turn</li> </ul>
<b>Running Temperature</b>	-5°C ~ +80°C
<b>Command Signal</b>	Digital Packet
<b>Protocol Type</b>	RS485 Asynchronous Serial Communication (8bit,1stop, No Parity)
<b>Link (Physical)</b>	RS485 Multi Drop Bus
<b>ID</b>	254 ID (0~253)
<b>Communication Speed</b>	7343bps ~ 1 Mbps
<b>Feedback</b>	Position, Temperature, Load, Input Voltage, etc.
<b>Power Consumption</b>	Standby current : 50 mA
<b>Power Input</b>	DC-in 12V~18.5V (Recommended Voltage 14.8V)
<b>Material</b>	Full Metal Gear, Engineering Plastic Body
<b>Dimension</b>	40.2 x 61.1 x 41 mm
<b>Weight</b>	125g

Figura A.4: Especificaciones del servomotor RX-64

# Apéndice B

## Configuración de la Roboard

Para trabajar con la Roboard, es necesario instalar un sistema operativo a una tarjeta MicroSD. Se eligió la instalación de Lubuntu debido a que es el sistema que recomienda la página de Roboard y debido a que es un sistema de distribución libre como Ubuntu pero es más ligero, siendo más adecuado para sistemas embebidos. Existen 2 opciones para instalar Lubuntu en la Roboard:

- Utilizando el instalador de Lubuntu directamente en la Roboard.
- Utilizando la imagen disponible en la imagen de Roboard.

### B.1. Instalador de Lubuntu

La página de Roboard tiene diversos tutoriales para la instalación de diferentes sistemas operativos desde el instalador y además cada tutorial tiene diferentes modos de instalación. Estos tutoriales además de estar desactualizados, están incompletos y no condujeron a una instalación exitosa. A continuación se describirá el proceso exitoso de instalación:

1. Descargar una imagen de Lubuntu, en este caso se utilizó la versión 10.04.
2. Crear una USB para instalar Ubuntu, utilizando la imagen de Lubuntu.
3. Colocar una MicroSD con los requerimientos mínimos recomendados. En este caso se utilizó una MicroSD clase 10 de 8 GB de marca SanDisk.

4. Conectar la tarjeta de video a la Roboard y a su vez a un monitor. Además se deben conectar la USB con el instalador, un teclado y un mouse, a los 3 puertos USB disponibles.
5. Encender la Roboard.
6. Seguir las instrucciones de instalación de Ubuntu del tutorial de la página. En este caso no aparecerá el menú de configuración en la pantalla inicial y esta parte del tutorial no se podrá realizar pero esto no afectará la instalación de Lubuntu. Las particiones de la memoria se realizan de la misma manera que en el tutorial. El tutorial se sigue hasta la compilación de la imagen de Linux que se encuentra disponible en la página de la Roboard.
7. Una vez que se termina el tutorial de instalación de Ubuntu y se reinicia la Roboard, se debe configurar la conexión de Internet abriendo las conexiones y creando una nueva conexión vía Ethernet por defecto. Esta conexión se configura con los datos particulares del dominio y la ip de la red a la que se conecta y además se debe de cambiar el puerto Ethernet por defecto al puerto 8.
8. Ahora se debe seguir el tutorial de la imagen de Lubuntu para habilitar los puertos que tiene la Roboard y para habilitar el uso de escritorio remoto ya que la tarjeta de video se calienta. Esta parte de los tutoriales está correcta.

Este proceso de instalación tiene un inconveniente al compilar el kernel con los archivos provistos por la página de Roboard. Esto es que al momento de iniciar nuevamente la Roboard, aparece una pantalla de Ubuntu además de la pantalla de Lubuntu pero esto no afecta el funcionamiento del sistema.

## **B.2. Imagen de Lubuntu**

1. Descargar la imagen de Lubuntu proporcionada por la página de Roboard. Esta imagen actualmente no está disponible desde el hipervínculo de la página, la



imagen se encuentra en un vínculo que aparece en un foro de RoboSavvy <http://robosavvy.com/forum/viewtopic.php?t=7347>.

2. Seguir el tutorial para instalar la imagen en la Roboard. Este tutorial es el único completo y correcto. El único problema con el tutorial es que al iniciar la Roboard y seleccionar la opción de instalación del menú de Clonezilla, la Roboard muestra una pantalla negra y si después de unos segundos no aparece el proceso de instalación, debe reiniciarse la Roboard hasta que aparezca.
3. El proceso de configuración de la LAN puede realizarse una vez iniciada la sesión en ambiente gráfico sin necesidad de utilizar la terminal, tal como se describe en el procedimiento anterior.
4. Por último debe habilitarse el uso de escritorio remoto.

Un punto importante de la configuración de Lubuntu es que no se debe tratar de modificar la resolución de la pantalla cuando se utiliza la tarjeta de video. Esto es porque a pesar de que existen numerosas soluciones, ninguna logra un cambio exitoso y además pueden alterar las opciones de la interfaz gráfica evitando el acceso a Lubuntu la siguiente vez que se encienda la Roboard. Además, al habilitar el escritorio remoto, se deja de trabajar con la resolución de la tarjeta de video de la Roboard.



# Apéndice C

## Instalación de OpenCV

El siguiente procedimiento está basado en el proceso descrito en el tutorial de OzBotz <http://www.ozbotz.org/opencv-installation/> con algunas modificaciones.

1. Se deben realizar los primeros 10 pasos del tutorial. Cuando no se encuentran todas las aplicaciones mencionadas en los pasos, se deben buscar opciones similares como por ejemplo *git* y *libjpeg8*. Para esto se recomienda instalar Synapse para buscar e instalar aplicaciones. En caso de no encontrarlas omitirlas.
2. Antes de bajar OpenCV, se deben instalar los siguientes paquetes manualmente:
  - libjpeg62-dev
  - libtiff4-dev
  - zlib1g-dev
  - libjasper-dev
  - libavcodec-dev
  - libdc1394-22-dev
  - libgstreamer0.10-dev
  - libgstreamer-plugins-base0.10-dev
  - libavformat-dev
  - libv4l-dev
  - libswscale-dev

3. Descargar la versión de OpenCV 2.4.3 y continuar con el paso 10 hasta *cd build*. Para compilar la carpeta en vez de utilizar la línea del tutorial, esta se reemplazará por *cmake -D CMAKE\_BUILD\_TYPE=RELEASE -D CMAKE\_INSTALL\_PREFIX=/usr/local -D BUILD\_PYTHON\_SUPPORT=ON USE\_V4L=ON WITH\_TBB=ON -D BUILD\_NEW\_PYTHON\_SUPPORT=ON USE\_GStreamer=ON ..*
4. Una vez que finaliza, se verifica que dentro del resumen se encuentren las opciones tal como se muestran en el tutorial, de lo contrario se deben revisar los paquetes que muestran error ya que al ejecutar el comando *make*, tardará alrededor de 5 horas y 30 minutos para compilar la carpeta y si se presenta un error, se tendrá que corregir y se tendrá que iniciar de nuevo el proceso de compilación.
5. Una vez que termina la ejecución del comando *make* seguir el tutorial hasta el final. Un punto importante que se debe tomar en cuenta antes de utilizar cualquier cámara, es que se debe verificar los permisos para utilizarla, en caso de obtener cuadros vacíos se debe agregar el usuario a un grupo de video y además verificar que la cámara está siendo detectada por Linux dentro de los dispositivos.

# Apéndice D

## Conversión de Datos: double-unsigned char-double

1. Se utiliza la función *sprintf* para convertir un dato *double* a string.
2. Se divide el arreglo de caracteres en dos arreglos, uno para la parte entera y otro para los primeros dos decimales.
3. Se convierte cada arreglo a entero utilizando la función *atoi*.
4. Se utilizan estos enteros como caracteres sin signo. En este punto se convierten los valores negativos a un valor entre 1 y 255.
5. Los caracteres sin signo se convierten a enteros y si un número entero es mayor de 130, se resta 255 ya que se encuentra dentro de la parte que involucra números negativos.
6. Los números enteros se convierten a *string* utilizando la función *sprintf*.
7. Se concatena la parte entera y decimal en un mismo arreglo utilizando la función *strcat*.
8. Por último se convierte el arreglo a tipo *double* con la función *atof*.



# Apéndice E

## Código VRML

### E.1. Unidad Pasajera

```
1 DEF UPasajera Group {
2   children [
3
4     Jabdominal {}
5
6     Group {
7       children [
8         DEF JABD_Sensor CylinderSensor {
9           diskAngle 0.7854
10          minAngle -3.0543
11          maxAngle 3.0543
12        }
13
14        DEF JABD Transform {
15          children [
16
17            DEF AABD Transform {
18              rotation 0 1 0 -1.5708
19              translation 0.1674 0 0 #0.1135
20              children [
21
22                Cuerpo {}
23                #RefB1 {}
24
25                DEF ABALL Transform {
26                  rotation 0.7071 0.7071 0 3.1416
27                  children [
28
29                    DEF JBALL Transform {
30                      children [
31
32                        Pelota {}
33
34                      ]
35                    }
36                  ]
37                }
38
39                DEF Cabeza Group {
40                  children [
41
42                    DEF AUXH Transform {
43                      rotation 1 0 0 -1.5708
44                      translation 0 0 0
45                      children [
46
47                        DEF JPAN_Sensor CylinderSensor {
48                          diskAngle 0.7854
49                          minAngle -3.0543
50                          maxAngle 3.0543
51                        }
52                        DEF JPAN Transform {
53                          children [
54
55                            DEF APAN Transform {
56                              rotation 0.5773 0.5773 0.5773 2.0943 #R(y,90)R(z,90)
57                              translation 0 0.04675 0
58                              children [
59
60                                BR2sh {}
61
```

```

62     DEF JTILT_Sensor CylinderSensor {
63         diskAngle 0.7854
64         minAngle -3.0543
65         maxAngle 3.0543
66     }
67
68     DEF JTILT Transform {
69         children [
70
71             DEF ATILT Transform {
72                 rotation 0.5773 -0.5773 0.5773 2.0943 #R(y,-90)R(z,90)
73                 translation 0 0 0
74                 children [
75
76                     Cabeza {}
77
78                     DEF REYE Viewpoint {
79                         description "RIGHT_EYE"
80                         position 0.036416 -0.048 -0.028
81                         orientation 0.7071 0 -0.7071 3.1416 #R(x,180)R(y,90)
82                         fieldOfView 0.78 #2.2
83                     }
84
85                     DEF LEYE Viewpoint {
86                         description "LEFT_EYE"
87                         position 0.036416 -0.048 0.028
88                         orientation 0.7071 0 -0.7071 3.1416 #R(x,180)R(y,90)
89                         fieldOfView 0.78 #2.2
90                     }
91                 ]
92             }
93         ]
94     }
95 }
96
97 }
98
99 }
100
101 }
102
103 }
104
105 DEF RArm Group {
106     children [
107
108         DEF J1RA_Sensor CylinderSensor {
109             diskAngle 0.7854
110             minAngle -3.0543
111             maxAngle 3.0543
112         }
113
114         DEF J1RA Transform {
115             children [
116
117                 DEF A1RA Transform {
118                     rotation 0 0 1 1.5708
119                     translation 0 0 0.08715 0
120                     children [
121
122                         BR28h {}
123
124                         DEF J2RA_Sensor CylinderSensor {
125                             diskAngle 0.7854
126                             minAngle -3.0543
127                             maxAngle 3.0543
128                         }
129
130                         DEF J2RA Transform {
131                             children [
132
133                                 DEF A2RA Transform {
134                                     rotation 0 0.7071 -0.7071 3.1416 #R(z,180)R(x,-90)
135                                     translation 0 0 0.083
136                                     children [
137
138                                         Hombro {}
139
140                                         DEF J3RA_Sensor CylinderSensor {
141                                             diskAngle 0.7854
142                                             minAngle -3.0543
143                                             maxAngle 3.0543
144                                         }
145
146                                         DEF J3RA Transform {
147                                             children [
148
149                                                 DEF A3RA Transform {
150                                                     rotation 0.7071 -0.7071 0 3.1416 #R(x,180)R(z,90)
151                                                     translation 0 -0.0255 0
152                                                     children [
153
154                                                         BR28h {}

```



```

155     DEF J4RA_Sensor CylinderSensor {
156         diskAngle 0.7854
157         minAngle -3.0543
158         maxAngle 3.0543
159     }
160
161     DEF J4RA Transform {
162         children [
163
164             DEF A4RA Transform {
165                 rotation 0.5773 -0.5773 0.5773 2.0943 #R(y,90)R(z,90)
166                 translation 0.0609 0 0
167                 children [
168
169                     Antebrazo {}
170
171                     DEF J5RA_Sensor CylinderSensor {
172                         diskAngle 0.7854
173                         minAngle -3.0543
174                         maxAngle 3.0543
175                     }
176
177                     DEF J5RA Transform {
178                         children [
179
180                             DEF A5RA Transform {
181                                 rotation 0 1 0 1.5708
182                                 translation 0 -0.0415 0
183                                 children [
184
185                                     ManoD {}
186
187                                     DEF ARBALL Transform {
188                                         #translation 0 -0.0205 0.07
189                                         translation 0 -0.05 0 #axis to gripper center
190
191                                         children [
192                                             PelotaM {}
193
194                                             ]
195                                         ]
196                                     ]
197                                 ]
198                             ]
199                         ]
200                     ]
201                 ]
202             ]
203         ]
204     ]
205 }
206
207 DEF LArm Group {
208     children [
209
210         DEF J1LA_Sensor CylinderSensor {
211             diskAngle 1.5708
212             minAngle -3.0543
213             maxAngle 3.0543
214         }
215
216         DEF J1LA Transform {
217             children [
218
219                 DEF A1LA Transform {
220                     rotation 0.7071 -0.7071 0 3.1416
221                     translation 0 -0.08715 0
222                     children [
223
224                         BR28h {}
225
226                         DEF J2LA_Sensor CylinderSensor {
227                             diskAngle 0.7854
228                             minAngle -3.0543
229                             maxAngle 3.0543
230                         }
231
232                         DEF J2LA Transform {
233                             children [
234
235                                 ]
236                             ]
237                         ]
238                     ]
239                 ]
240             ]
241         ]
242     ]
243 }
244
245
246

```

247  
248  
249  
250  
251  
252  
253  
254  
255  
256  
257  
258  
259  
260  
261  
262  
263  
264  
265  
266  
267  
268  
269  
270  
271  
272  
273  
274  
275  
276  
277  
278  
279  
280  
281  
282  
283  
284  
285  
286  
287  
288  
289  
290  
291  
292  
293  
294  
295  
296  
297  
298  
299  
300  
301  
302  
303  
304  
305  
306  
307  
308  
309  
310  
311  
312  
313  
314  
315  
316  
317  
318  
319  
320  
321  
322  
323  
324  
325  
326  
327  
328  
329  
330  
331  
332  
333  
334  
335  
336  
337  
338

```
DEF A2LA Transform {  
  rotation 1 0 0 1.5708  
  translation 0 0 -0.08275  
  children [  
  
    Hombro {}  
  
    DEF J3LA_Sensor CylinderSensor {  
      diskAngle 0.7854  
      minAngle -3.0543  
      maxAngle 3.0543  
    }  
  
    DEF J3LA Transform {  
      children [  
  
        DEF A3LA Transform {  
          rotation 0.7071 -0.7071 0 3.1416 #R(x,180)R(z,90)  
          translation 0 -0.0255 0  
          children [  
  
            BR28h {}  
  
            DEF J4LA_Sensor CylinderSensor {  
              diskAngle 0.7854  
              minAngle -3.0543  
              maxAngle 3.0543  
            }  
  
            DEF J4LA Transform {  
              children [  
                DEF A4LA Transform {  
                  rotation 0.5773 -0.5773 0.5773 2.0943 #R(y,90)R(z,90)  
                  translation 0.0609 0 0  
                  children [  
  
                    Antebrazo {}  
  
                    DEF J5LA_Sensor CylinderSensor {  
                      diskAngle 0.7854  
                      minAngle -3.0543  
                      maxAngle 3.0543  
                    }  
  
                    DEF J5LA Transform {  
                      children [  
  
                        DEF A5LA Transform {  
                          rotation 0 1 0 1.5708  
                          translation 0 -0.0415 0  
                          children [  
  
                            Manol {}  
  
                            DEF ALBALL Transform {  
                              #translation 0 -0.0205 0.07  
                              translation 0 -0.05 0 #axis to grip center  
                              children [  
  
                                PelotaM {}  
  
                              ]  
                            }  
                          ]  
                        ]  
                      ]  
                    ]  
                  ]  
                ]  
              ]  
            ]  
          ]  
        ]  
      ]  
    ]  
  ]  
}
```

```

339     }
340   ]
341 }

```

## E.2. Unidad Locomotora

```

482 DEF Mode Switch {
483   whichChoice 0
484   choice [
485     DEF BaseB Group { #Modo 0
486       children [
487         JCad {}
488         #RefB2 {}
489         Group {
490           children [
491             DEF UBody Group {
492               children [
493                 DEF AUP Transform {
494                   translation 0 0.027 0
495                   children [
496                     UPasajera {}
497                   ]
498                 }
499               ]
500             }
501           ]
502         }
503       ]
504     }
505     DEF RLeg Group {
506       children [
507         DEF ACRL Transform {
508           rotation 0 1 0 3.1415
509           translation 0 -0.02125 0.0452
510           #translation 0 0 0.0452
511           children [
512             #JCadR {}
513           ]
514         }
515         Group {
516           children [
517             DEF J1RL_Sensor CylinderSensor {
518               diskAngle 0.7854
519               minAngle -3.0543
520               maxAngle 3.0543
521             }
522             DEF J1RL Transform {
523               children [
524                 DEF A1JRL Transform {
525                   #rotation 1 0 0 1.5708
526                   rotation 0.57735 -0.57735 0.57735 2.094395
527                   translation 0 -0.031 0
528                   children [
529                     Cadera {}
530                   ]
531                 }
532                 Group {
533                   children [
534                     DEF J2RL_Sensor CylinderSensor {
535                       diskAngle 0.7854
536                       minAngle -3.0543
537                       maxAngle 3.0543
538                     }
539                   ]
540                 }
541                 DEF J2RL Transform {
542                   children [
543                     DEF A2RL Transform {
544                       rotation -0.57735 -0.57735 -0.57735 2.094395 # TH = 120 R [010;001;100]
545                       translation 0 0 0
546                       children [
547                         JAcoplados {}
548                       ]
549                     }
550                     Group {
551                       children [
552                         DEF J3RL_Sensor CylinderSensor {
553                           diskAngle 0.7854
554                           minAngle -3.0543
555                           maxAngle 3.0543
556                         }
557                       ]
558                     }
559                     DEF J3RL Transform {
560                       children [
561                         DEF A3RL Transform {
562                           rotation 0 1 0 3.141592

```

562  
563  
564  
565  
566  
567  
568  
569  
570  
571  
572  
573  
574  
575  
576  
577  
578  
579  
580  
581  
582  
583  
584  
585  
586  
587  
588  
589  
590  
591  
592  
593  
594  
595  
596  
597  
598  
599  
600  
601  
602  
603  
604  
605  
606  
607  
608  
609  
610  
611  
612  
613  
614  
615  
616  
617  
618  
619  
620  
621  
622  
623  
624  
625  
626  
627  
628  
629  
630  
631  
632  
633  
634  
635  
636  
637  
638  
639  
640  
641  
642  
643  
644  
645  
646  
647  
648  
649  
650  
651  
652

```
#translation 0.094553 0 0  
translation 0.095659 0 0  
children [  
  
  RodillaTobillo {}  
  
  Group {  
    children [  
      DEF J4RL_Sensor CylinderSensor {  
        diskAngle 0.7854  
        minAngle -3.0543  
        maxAngle 3.0543  
      }  
  
      DEF J4RL Transform {  
        children [  
          DEF A4RL Transform {  
            rotation 0 1 0 1.5708  
            translation -0.114207 0 0  
            children [  
  
              JRT {}  
  
              Group {  
                children [  
                  DEF J5RL_Sensor CylinderSensor {  
                    diskAngle 0.7854  
                    minAngle -3.0543  
                    maxAngle 3.0543  
                  }  
  
                  DEF J5RL Transform {  
                    children [  
                      DEF A5RL Transform {  
                        rotation 0 0 1 -1.5708  
                        translation 0 0 0  
                        children [  
  
                          JAcopladosT {}  
  
                          Group {  
                            children [  
                              DEF J6RL_Sensor CylinderSensor {  
                                diskAngle 0.7854  
                                minAngle -3.0543  
                                maxAngle 3.0543  
                              }  
  
                              DEF J6RL Transform {  
                                children [  
                                  DEF A6RL Transform {  
                                    rotation 0 0 0 0  
                                    translation 0 -0.002 -0.02775  
                                    children [  
                                      Pie {}  
                                    ]  
                                  ]  
                                ]  
                              ]  
                            ]  
                          ]  
                        ]  
                      ]  
                    ]  
                  ]  
                ]  
              ]  
            ]  
          ]  
        ]  
      ]  
    ]  
  ]  
]
```

```

653     }
654   ]
655 }
656 ]
657 }
658
659 DEF LLeg Group {
660   children [
661     DEF ACLL Transform {
662       rotation 0 1 0 3.1415
663       translation 0 -0.02125 -0.0452
664       children [
665
666         #JCadL {}
667
668         Group {
669           children [
670             DEF J1LL_Sensor CylinderSensor {
671               diskAngle 0.7854
672               minAngle -3.0543
673               maxAngle 3.0543
674             }
675
676             DEF J1LL Transform {
677               children [
678                 DEF AJ1LL Transform {
679                   #rotation 1 0 0 1.5708
680                   rotation 0.57735 -0.57735 0.57735 2.094395
681                   translation 0 -0.031 0
682                   children [
683
684                     Cadera {}
685
686                     Group {
687                       children [
688                         DEF J2LL_Sensor CylinderSensor {
689                           diskAngle 0.7854
690                           minAngle -3.0543
691                           maxAngle 3.0543
692                         }
693
694                         DEF J2LL Transform {
695                           children [
696                             DEF A2LL Transform {
697                               rotation -0.57735 -0.57735 -0.57735 2.094395 # TH = 120 R [010;001;100]
698                               translation 0 0 0
699                               children [
700
701                                 JAcoplados {}
702
703                                 Group {
704                                   children [
705                                     DEF J3LL_Sensor CylinderSensor {
706                                       diskAngle 0.7854
707                                       minAngle -3.0543
708                                       maxAngle 3.0543
709                                     }
710
711                                     DEF J3LL Transform {
712                                       children [
713                                         DEF A3LL Transform {
714                                           rotation 0 1 0 3.141592
715                                           #translation 0.094553 0 0
716                                           translation 0.095659 0 0
717                                           children [
718
719                                             RodillaTobillo {}
720
721                                             Group {
722                                               children [
723                                                 DEF J4LL_Sensor CylinderSensor {
724                                                   diskAngle 0.7854
725                                                   minAngle -3.0543
726                                                   maxAngle 3.0543
727                                                 }
728
729                                                 DEF J4LL Transform {
730                                                   children [
731                                                     DEF A4LL Transform {
732                                                       rotation 0 1 0 1.5708
733                                                       translation -0.114207 0 0
734                                                       children [
735
736                                                         JRT {}
737
738                                                         Group {
739                                                           children [
740                                                             DEF J5LL_Sensor CylinderSensor {
741                                                               diskAngle 0.7854
742                                                               minAngle -3.0543
743                                                               maxAngle 3.0543
744                                                             }
745

```

746  
747  
748  
749  
750  
751  
752  
753  
754  
755  
756  
757  
758  
759  
760  
761  
762  
763  
764  
765  
766  
767  
768  
769  
770  
771  
772  
773  
774  
775  
776  
777  
778  
779  
780  
781  
782  
783  
784  
785  
786  
787  
788  
789  
790  
791  
792  
793  
794  
795  
796  
797  
798  
799  
800  
801  
802  
803  
804  
805  
806  
807  
808  
809  
810  
811  
812  
813  
814  
815  
816  
817  
818  
819  
820  
821  
822  
823  
824  
825  
826  
827  
828  
829  
830  
831  
832  
833  
834  
835

```
DEF J5LL Transform {
  children [
    DEF A5LL Transform {
      rotation 0 0 1 -1.5708
      translation 0 0 0
      children [

        JAcopladosT {}

        Group {
          children [
            DEF J6LL_Sensor CylinderSensor {
              diskAngle 0.7854
              minAngle -3.0543
              maxAngle 3.0543
            }

            DEF J6LL Transform {
              children [
                DEF A6LL Transform {
                  rotation 0 0 0 0
                  translation 0 -0.002 -0.02775
                  children [

                    Pie {}
                  ]
                }
              ]
            }
          ]
        }
      ]
    }
  ]
}

DEF BaseRF Group {
  children [
    DEF RF Transform {
      children [
        DEF ARF Transform {
          rotation -0.57735 0.57735 0.57735 2.094395
          #translation 0 -0.263153 0.0452
          translation 0 -0.262116 0.0452 #considerando 95.659 de rodilla_tobillo
        }
      ]
      children [
        PieRev {}

        Group {
          children [
            DEF J6RLRev_Sensor CylinderSensor {
              diskAngle 0.7854
              minAngle -3.0543
              maxAngle 3.0543
            }
          ]
        }
      ]
    }
  ]
}
```

```

836     }
837
838     DEF J6RLRev Transform {
839     children [
840     DEF A6RLRev Transform {
841     rotation 0.5773 -0.5773 0.5773 2.0943
842     translation 0 0 0
843     children [
844
845     JacopladosTRev {}
846
847     Group {
848     children [
849     DEF J5RLRev_Sensor CylinderSensor {
850     diskAngle 0.7854
851     minAngle -3.0543
852     maxAngle 3.0543
853     }
854
855     DEF J5RLRev Transform {
856     children [
857     DEF A5RLRev Transform {
858     rotation 0 1 0 -1.5708
859     translation 0.114207 0 0
860     children [
861
862     JRTRev {}
863
864     Group {
865     children [
866     DEF J4RLRev_Sensor CylinderSensor {
867     diskAngle 0.7854
868     minAngle -3.0543
869     maxAngle 3.0543
870     }
871
872     DEF J4RLRev Transform {
873     children [
874     DEF A4RLRev Transform {
875     rotation 0 1 0 1.5708
876     #translation 0.0011264 0 -0.096696
877     #translation 0 0 -0.0955696
878     translation 0 0 -0.095659
879     children [
880
881     RodillaTobilloRev {}
882
883     Group {
884     children [
885     DEF J3RLRev_Sensor CylinderSensor {
886     diskAngle 0.7854
887     minAngle -3.0543
888     maxAngle 3.0543
889     }
890
891     DEF J3RLRev Transform {
892     children [
893     DEF A3RLRev Transform {
894     rotation -0.5773 0.5773 -0.5773 2.0943
895     translation 0 0 0
896     children [
897
898     JacopladosRev {}
899
900     Group {
901     children [
902     DEF J2RLRev_Sensor CylinderSensor {
903     diskAngle 0.7854
904     minAngle -3.0543
905     maxAngle 3.0543
906     }
907
908     DEF J2RLRev Transform {
909     children [
910     DEF A2RLRev Transform {
911     rotation -0.5773 0.5773 -0.5773 2.0943
912     translation 0 0 0.031
913     children [
914
915     CaderaRev {}
916
917     Group {
918     children [
919     DEF J1RLRev_Sensor CylinderSensor {
920     diskAngle 0.7854
921     minAngle -3.0543
922     maxAngle 3.0543
923     }
924
925     DEF J1RLRev Transform {
926     children [
927     DEF A1RLRev Transform {
928     rotation 1 0 0 3.1415

```

```

929                                     translation  0 -0.02125 0.0452
930                                     children  [
931
932                                     JCad {}
933                                     RefB2 {}
934
935                                     USE UBody
936                                     USE LLeg
937                                     ]
938                                     ]
939                                     ]
940                                     ]
941                                     ]
942                                     ]
943                                     ]
944                                     ]
945                                     ]
946                                     ]
947                                     ]
948                                     ]
949                                     ]
950                                     ]
951                                     ]
952                                     ]
953                                     ]
954                                     ]
955                                     ]
956                                     ]
957                                     ]
958                                     ]
959                                     ]
960                                     ]
961                                     ]
962                                     ]
963                                     ]
964                                     ]
965                                     ]
966                                     ]
967                                     ]
968                                     ]
969                                     ]
970                                     ]
971                                     ]
972                                     ]
973                                     ]
974                                     ]
975                                     ]
976                                     ]
977                                     ]
978                                     ]
979                                     ]
980 DEF BaseLF Group {
981   children [
982     DEF LF Transform {
983       children [
984         DEF ALF Transform {
985           rotation -0.57735 0.57735 0.57735 2.094395
986           #translation 0 -0.263153 -0.0452
987           translation 0 -0.262116 -0.0452
988           children [
989             PieRev {}
990
991             Group {
992               children [
993                 DEF J6LLRev_Sensor CylinderSensor {
994                   diskAngle 0.7854
995                   minAngle -3.0543
996                   maxAngle 3.0543
997                 }
998
999                 DEF J6LLRev Transform {
1000                  children [
1001                    DEF A6LLRev Transform {
1002                      rotation 0.5773 -0.5773 0.5773 2.0943
1003                      translation 0 0 0
1004                      children [
1005                        JAcopladosTRev {}
1006
1007                        Group {
1008                          children [
1009                            DEF J5LLRev_Sensor CylinderSensor {
1010                              diskAngle 0.7854
1011                              minAngle -3.0543
1012                              maxAngle 3.0543
1013                            }
1014
1015                            DEF J5LLRev Transform {
1016                              children [
1017                                children [
1018

```



```

1019 DEF A5LLRev Transform {
1020 rotation 0 1 0 -1.5708
1021 translation 0.114207 0 0
1022 children [
1023
1024 JRTRev {}
1025
1026 Group {
1027 children [
1028 DEF J4LLRev_Sensor CylinderSensor {
1029 diskAngle 0.7854
1030 minAngle -3.0543
1031 maxAngle 3.0543
1032 }
1033
1034 DEF J4LLRev Transform {
1035 children [
1036 DEF A4LLRev Transform {
1037 rotation 0 1 0 1.5708
1038 #translation 0 0 -0.096696
1039 translation 0 0 -0.095659
1040 children [
1041
1042 RodillaTobilloRev {}
1043
1044 Group {
1045 children [
1046 DEF J3LLRev_Sensor CylinderSensor {
1047 diskAngle 0.7854
1048 minAngle -3.0543
1049 maxAngle 3.0543
1050 }
1051
1052 DEF J3LLRev Transform {
1053 children [
1054 DEF A3LLRev Transform {
1055 rotation -0.5773 0.5773 -0.5773 2.0943
1056 translation 0 0 0
1057 children [
1058
1059 JAcopladosRev {}
1060
1061 Group {
1062 children [
1063 DEF J2LLRev_Sensor CylinderSensor {
1064 diskAngle 0.7854
1065 minAngle -3.0543
1066 maxAngle 3.0543
1067 }
1068
1069 DEF J2LLRev Transform {
1070 children [
1071 DEF A2LLRev Transform {
1072 rotation -0.5773 0.5773 -0.5773 2.0943
1073 translation 0 0 0.031
1074 children [
1075
1076 CaderaRev {}
1077
1078 Group {
1079 children [
1080 DEF J1LLRev_Sensor CylinderSensor {
1081 diskAngle 0.7854
1082 minAngle -3.0543
1083 maxAngle 3.0543
1084 }
1085
1086 DEF J1LLRev Transform {
1087 children [
1088 DEF A1LLRev Transform {
1089 rotation 1 0 0 3.1415
1090 translation 0 -0.02125 -0.0452
1091 children [
1092
1093 JCad {}
1094 RefB2 {}
1095
1096 USE UBody
1097 USE RLeg
1098 ]
1099 }
1100 ]
1101 }
1102 ]
1103 }
1104 ]
1105 }
1106 ]
1107 }
1108 ]
1109 }
1110 ]

```

```
1111
1112
1113
1114
1115
1116
1117
1118
1119
1120
1121
1122
1123
1124
1125
1126
1127
1128
1129
1130
1131
1132
1133
1134
1135
1136
1137
1138
1139
1140
1141 }
```

# Apéndice F

## Código Matlab

### F.1. Cinemática Piernas

```
1 clear all
2 close all
3 clc
4
5 %% Angulos y Eslabones
6
7 t1 = 10
8 t2 = 20
9 t3 = 30
10 t4 = 40
11 t5 = 50
12 t6 = 60
13
14 LL1 = 4.52;
15 LL2 = 5.225;
16 LL3 = 9.6696;
17 LL4 = 11.4207;
18 LL5 = 2.775;
19
20 % Pierna
21 L = 1;
22 %% Cinematica Directa
23
24 A1 = mpaso(t1,90,0,0);
25 A2 = mpaso(t2,-90,-90,0,0);
26 A3 = mpaso(t3,0,LL3,0);
27 A4 = mpaso(t4,0,LL4,0);
28 A5 = mpaso(t5,90,0,0);
29 A6 = mpaso(t6,0,LL5,0);
30
31 T0_6 = A1*A2*A3*A4*A5*A6;
32
33 T6_0 = inv(T0_6);
34
35 A0 = [-1 0 0 L*4.52;
36        0 -1 0 0;
37        0 0 1 -5.225;
38        0 0 0 1]; % B2_0
39
40 TB2_6 = A0*A1*A2*A3*A4*A5*A6;
41
42 %% Cinematica Inversa
43 pp = T6_0(1,3,4);
44 ppx = T6_0(1,4);
45 ppy = T6_0(2,4);
46 ppz = T6_0(3,4);
47
48 aax = T6_0(1,3);
49 aay = T6_0(2,3);
50 aaaz = T6_0(3,3);
51
52 ssx = T6_0(1,2);
53 ssy = T6_0(2,2);
54 ssz = T6_0(3,2);
55
56 nnx = T6_0(1,1);
57 nny = T6_0(2,1);
58 nnz = T6_0(3,1);
59 %% TH4
60
61 C4 = ((ppx+LL5)^2+ppy^2+ppz^2-LL3^2-LL4^2)/(2*LL3*LL4);
```

```

62
63 KNEE = 1;
64
65 if KNEE == 0
66     KNEE = 1;
67 end
68
69 if (C4>1)
70     TH4 = atan2(0,C4);
71 else
72     TH4 = atan2(KNEE*sqrt(1-C4^2),C4);
73 end
74
75 % % TH5
76
77 psi = atan2(sin(TH4)*LL3,cos(TH4)*LL3+LL4);
78
79 ANKLE = 1;
80
81 TH5 = atan2(-ppz,ANKLE*sqrt((ppx+LL5)^2+ppy^2))-psi;
82
83 % % TH6
84
85 TH6 = atan2(ppy,-ppx-LL5);
86
87 if (cos(TH4+TH5)*LL3+cos(TH5)*LL4)<0
88     TH6 = TH6 + pi;
89 end
90
91 % % TH2
92
93 HIP = 1;
94 TH2 = atan2(sin(TH6)*aax+cos(TH6)*aay,HIP*sqrt(1-(sin(TH6)*aax+cos(TH6)*aay)^2));
95
96 % % TH1
97
98 TH1 = atan2(sin(TH6)*ssx+cos(TH6)*ssy,sin(TH6)*nnx+cos(TH6)*nny);
99
100 % % TH3
101
102 TH345 = atan2(aaz,cos(TH6)*aax-sin(TH6)*aay);
103
104 TH3 = TH345 - TH4 - TH5;
105
106 TH3 = TH3 + pi;

```

## F.2. Cinemática Brazos

```

1 clear all
2 close all
3 clc
4
5 LA1 = 8.715;
6 LA2 = 10.825; %10.825
7 LA3 = 15.24; %10.24+5cm centro de mano
8
9 t1 = 10;
10 t2 = 10;
11 t3 = 0;
12 t4 = 40;
13
14 t=[t1;
15     t2;
16     t3;
17     t4]
18
19 %Brazo
20 L = 1; %L = 1 derecho L = -1 izquierdo
21
22 % % Cinematica Directa
23
24 A0 = [ 0 0 1 L*LA1;
25         1 0 0 0;
26         0 1 0 0;
27         0 0 0 1]; % B1_0
28
29 A1 = mpaso(t1-90,90,0,0);
30 A2 = mpaso(t2+90,-90,0,0);
31 A3 = mpaso(t3+90,90,0,-LA2);
32 A4 = mpaso(t4-90,180,LA3,0);
33
34 T4_0 = A1*A2*A3*A4;
35
36 TB1_4 = A0*A1*A2*A3*A4;
37
38 % % Cinematica Inversa Geometrica
39
40 %Cinematica Directa
41

```

```

42 ppx = TB1_4(1,4);
43 ppy = TB1_4(2,4);
44 ppz = TB1_4(3,4);
45
46 % ppx = 5;
47 % ppy = 10;
48 % ppz = -10;
49
50 D = [ppy;
51      ppz;
52      ppx-L*LA1;
53      1];
54
55 magD = sqrt(D(1)^2+D(2)^2+D(3)^2);
56
57 %% TH4 DEF
58
59 %Con ley de cosenos
60
61 C4 = (LA2^2+LA3^2-magD^2)/(2*LA2*LA3);
62
63 if(C4>-1 && C4<1)
64     TH4 = atan2(-sqrt(1-C4^2),C4);
65 else
66     TH4 = atan2(0,C4);
67 end
68
69 if TH4<0.00001 && TH4>-0.00001
70     TH4 = 0;
71 end
72
73 TH4 = TH4 + pi;
74 TH4G = TH4*180/pi;
75 if TH4G>180
76     TH4G = TH4G - 360;
77 end
78 if TH4G<-180
79     TH4G = TH4G + 360;
80 end
81 if TH4G<0.00001 && TH4G>-0.00001
82     TH4G = 0;
83 end
84
85 %% TH1 DEF
86
87 CS = (LA2^2+magD^2-LA3^2)/(2*magD*LA2);
88 % S = atan2(-1*sqrt(1-CS^2),CS);
89 S = acos(CS);
90 SH = S*180/pi;
91
92 Deq = sqrt(D(1)^2+D(2)^2+0^2);
93 Scf = Deq/magD;
94 Sheq = Scf*S;
95
96 if((D(2)||D(3))==0)
97     TH1 = pi/2 - S;
98 else
99     if(L*D(3)<=0)
100         TH1 = pi/2 - atan2(-D(2),D(1))-Sheq;
101     else
102         TH1 = pi - atan2(D(1),D(2))-S/Scf;
103     end
104 end
105
106 TH1G = TH1*180/pi;
107 if TH1G>180
108     TH1G = TH1G - 360;
109 end
110 if TH1G<-180
111     TH1G = TH1G + 360;
112 end
113 if TH1G<0.00001 && TH1G>-0.00001
114     TH1G = 0;
115 end
116
117 %% TH2 DEF
118
119 if(D(3)==0)
120     TH2 = 0;
121 else
122     if(L*D(3)<=0)
123         TH2 = 0;
124     else
125         TH2 = atan2(D(3),D(1));
126     end
127 end
128
129 TH2G = TH2*180/pi;
130 if TH2G>180
131     TH2G = TH2G - 360;
132 end
133 if TH2G<-180
134     TH2G = TH2G + 360;
135 end
136 if TH2G<0.00001 && TH2G>-0.00001
137     TH2G = 0;

```

```

138 end
139
140 % % TH3 DEF
141 A1 = mpaso(TH1G-90,90,0,0);
142 A2 = mpaso(TH2G+90,-90,0,0);
143
144 T2_0 = A1*A2;
145
146 % D en Ref2
147 D2 = inv(T2_0)*D;
148
149 TH3 = atan2(-D2(1),D2(2));
150
151 if (D(1)<0.00001 && D(1)>-0.00001 && D(2)==L*-24.125 && D(3)<0.00001 && D(3)>-0.00001)
152     TH3 = 0;
153 end
154
155 TH3G = TH3*180/pi;
156 if TH3G>180
157     TH3G = TH3 - 360;
158 end
159 if TH3G<0.00001 && TH3G>-0.00001
160     TH3G = 0;
161 end

```

### F.3. Función del Modelo Dinámico

```

1 function [T,Z] = din12(Leg,Q,V,A)
2 L = Leg; % L = 1 RF ,L = -1 LF
3
4 load('dinmat.mat');
5
6 q1r = Q(7,1);
7 q2r = Q(8,1);
8 q3r = Q(9,1);
9 q4r = Q(10,1);
10 q5r = Q(11,1);
11 q6r = Q(12,1);
12
13 q1dr = -V(7,1);
14 q2dr = -V(8,1);
15 q3dr = -V(9,1);
16 q4dr = -V(10,1);
17 q5dr = -V(11,1);
18 q6dr = -V(12,1);
19
20 q1ddr = -A(7,1);
21 q2ddr = -A(8,1);
22 q3ddr = -A(9,1);
23 q4ddr = -A(10,1);
24 q5ddr = -A(11,1);
25 q6ddr = -A(12,1);
26
27 q1l = Q(1,1);
28 q2l = Q(2,1);
29 q3l = Q(3,1);
30 q4l = Q(4,1);
31 q5l = Q(5,1);
32 q6l = Q(6,1);
33
34 q1dl = V(1,1);
35 q2dl = V(2,1);
36 q3dl = V(3,1);
37 q4dl = V(4,1);
38 q5dl = V(5,1);
39 q6dl = V(6,1);
40
41 q1ddl = A(1,1);
42 q2ddl = A(2,1);
43 q3ddl = A(3,1);
44 q4ddl = A(4,1);
45 q5ddl = A(5,1);
46 q6ddl = A(6,1);
47
48 A00 = [1 0 0 L*9.04;
49         0 1 0 0;
50         0 0 1 0;
51         0 0 0 1];
52 A1r = mpaso(q1r,90,0,0); % LL1 = 4.52 cm
53 A2r = mpaso(q2r-90,-90,0,0); % LL2 = 5.225 cm
54 A3r = mpaso(q3r,0,9.5659,0); % LL3 = 0.096696 m
55 A4r = mpaso(q4r,0,11.4207,0); % LL4 = 0.114207 m
56 A5r = mpaso(q5r,90,0,0);
57 A6r = mpaso(q6r,0,2.775,0); % LL5 = 0.02775 m
58

```

```

59 A1ri = inv(A1r);
60 A2ri = inv(A2r);
61 A3ri = inv(A3r);
62 A4ri = inv(A4r);
63 A5ri = inv(A5r);
64 A6ri = inv(A6r);
65
66 A1l = A00*mpaso(q11,90,0,0);          % LL1 = 4.52 cm
67 A1l = mpaso(q11,90,0,0);
68 A2l = mpaso(q21,-90,-90,0,0);        % LL2 = 5.225 cm
69 A3l = mpaso(q31,0,9.5659,0);         % LL3 = 0.096696 m
70 A4l = mpaso(q41,0,11.4207,0);        % LL4 = 0.114207 m
71 A5l = mpaso(q51,90,0,0);
72 A6l = mpaso(q61,0,2.775,0);         % LL5 = 0.02775 m
73
74 A1li = inv(A1l);
75 A2li = inv(A2l);
76 A3li = inv(A3l);
77 A4li = inv(A4l);
78 A5li = inv(A5l);
79 A6li = inv(A6l);
80
81 %b/A b*inv(A)
82 T5r_6r = A6ri;
83 T4r_6r = T5r_6r/A5r;
84 T3r_6r = T4r_6r/A4r;
85 T2r_6r = T3r_6r/A3r;
86 T1r_6r = T2r_6r/A2r;
87 T0r_6r = T1r_6r/A1r;
88 T11_6r = T0r_6r*A1l;
89 T21_6r = T11_6r*A2l;
90 T31_6r = T21_6r*A3l;
91 T41_6r = T31_6r*A4l;
92 T51_6r = T41_6r*A5l;
93 T61_6r = T51_6r*A6l;
94
95 A1 = mpaso(-q6r,-90,0,0);
96 A2 = mpaso(-q5r,0,-11.4207,0);
97 A3 = mpaso(-q4r,0,-9.5659,0);
98 A4 = mpaso(-q3r+180,-90,0,0)*mpaso(-90,0,0,0);
99 A5 = mpaso(-q2r,-90,0,0);
100 A6 = mpaso(-q1r,0,L*9.04,0);
101 A7 = A1l;
102 A8 = A2l;
103 A9 = A3l;
104 A10 = A4l;
105 A11 = A5l;
106 A12 = A6l;
107
108 T1_0 = A1;
109 T2_0 = T1_0*A2;
110 T3_0 = T2_0*A3;
111 T4_0 = T3_0*A4;
112 T5_0 = T4_0*A5;
113 T6_0 = T5_0*A6;
114 T7_0 = T6_0*A7;
115 T8_0 = T7_0*A8;
116 T9_0 = T8_0*A9;
117 T10_0 = T9_0*A10;
118 T11_0 = T10_0*A11;
119 T12_0 = T11_0*A12;
120
121 %% Velocidad Angular
122
123 z = [0;
124      0;
125      1];
126
127 w0_0 = [0;
128         0;
129         0];
130 w1_1 = A1(1:3,1:3)*(w0_0+q6dr*z);
131 w2_2 = A2(1:3,1:3)*(w1_1+q5dr*z);
132 w3_3 = A3(1:3,1:3)*(w2_2+q4dr*z);
133 w4_4 = A4(1:3,1:3)*(w3_3+q3dr*z);
134 w5_5 = A5(1:3,1:3)*(w4_4+q2dr*z);
135 w6_6 = A6(1:3,1:3)*(w5_5+q1dr*z);
136
137 w7_7 = A7(1:3,1:3)*(w6_6+q1dl*z);
138 w8_8 = A8(1:3,1:3)*(w7_7+q2dl*z);
139 w9_9 = A9(1:3,1:3)*(w8_8+q3dl*z);
140 w10_10 = A10(1:3,1:3)*(w9_9+q4dl*z);
141 w11_11 = A11(1:3,1:3)*(w10_10+q5dl*z);
142 w12_12 = A12(1:3,1:3)*(w11_11+q6dl*z);
143
144 %% Aceleracion Angular
145 %aa^{i}_i = R^{i-1}_i (aa^{i-1}_{i-1} + ro_i qdd_i z + w^{i-1}_{i-1} x ro_i qd_i z )
146
147 aa0_0 = [0;
148          0;

```

```

149     0];
150
151 aa1_1 = A1(1:3,1:3)*(aa0_0+q6ddr*z+cross(w0_0,q6dr*z));
152 aa2_2 = A2(1:3,1:3)*(aa1_1+q5ddr*z+cross(w1_1,q5dr*z));
153 aa3_3 = A3(1:3,1:3)*(aa2_2+q4ddr*z+cross(w2_2,q4dr*z));
154 aa4_4 = A4(1:3,1:3)*(aa3_3+q3ddr*z+cross(w3_3,q3dr*z));
155 aa5_5 = A5(1:3,1:3)*(aa4_4+q2ddr*z+cross(w4_4,q2dr*z));
156 aa6_6 = A6(1:3,1:3)*(aa5_5+q1ddr*z+cross(w5_5,q1dr*z));
157
158 aa7_7 = A7(1:3,1:3)*(aa6_6+q1ddl*z+cross(w6_6,q1dl*z));
159 aa8_8 = A8(1:3,1:3)*(aa7_7+q2ddl*z+cross(w7_7,q2dl*z));
160 aa9_9 = A9(1:3,1:3)*(aa8_8+q3ddl*z+cross(w8_8,q3dl*z));
161 aa10_10 = A10(1:3,1:3)*(aa9_9+q4ddl*z+cross(w9_9,q4dl*z));
162 aa11_11 = A11(1:3,1:3)*(aa10_10+q5ddl*z+cross(w10_10,q5dl*z));
163 aa12_12 = A12(1:3,1:3)*(aa11_11+q6ddl*z+cross(w11_11,q6dl*z));
164
165 %% Aceleracion Lineal
166 %a^i = R^i-1 * a^i-1 + aa^i * x^i-1 + w^i * x^i-1
167
168 al0_0 = [0;
169         0;
170         0];
171
172 al1_1 = A1(1:3,1:3)*al0_0+cross(aa1_1,A1(1:3,1:3)*A1(1:3,4))+cross(w1_1,al0_0);
173 al2_2 = A2(1:3,1:3)*al1_1+cross(aa2_2,A2(1:3,1:3)*A2(1:3,4))+cross(w2_2,al1_1);
174 al3_3 = A3(1:3,1:3)*al2_2+cross(aa3_3,A3(1:3,1:3)*A3(1:3,4))+cross(w3_3,al2_2);
175 al4_4 = A4(1:3,1:3)*al3_3+cross(aa4_4,A4(1:3,1:3)*A4(1:3,4))+cross(w4_4,al3_3);
176 al5_5 = A5(1:3,1:3)*al4_4+cross(aa5_5,A5(1:3,1:3)*A5(1:3,4))+cross(w5_5,al4_4);
177 al6_6 = A6(1:3,1:3)*al5_5+cross(aa6_6,A6(1:3,1:3)*A6(1:3,4))+cross(w6_6,al5_5);
178
179 al7_7 = A7(1:3,1:3)*al6_6+cross(aa7_7,A7(1:3,1:3)*A7(1:3,4))+cross(w7_7,al6_6);
180 al8_8 = A8(1:3,1:3)*al7_7+cross(aa8_8,A8(1:3,1:3)*A8(1:3,4))+cross(w8_8,al7_7);
181 al9_9 = A9(1:3,1:3)*al8_8+cross(aa9_9,A9(1:3,1:3)*A9(1:3,4))+cross(w9_9,al8_8);
182 al10_10 = A10(1:3,1:3)*al9_9+cross(aa10_10,A10(1:3,1:3)*A10(1:3,4))+cross(w10_10,al9_9);
183 al11_11 = A11(1:3,1:3)*al10_10+cross(aa11_11,A11(1:3,1:3)*A11(1:3,4))+cross(w11_11,al10_10);
184 al12_12 = A12(1:3,1:3)*al11_11+cross(aa12_12,A12(1:3,1:3)*A12(1:3,4))+cross(w12_12,al11_11);
185
186 %% Aceleracion del centro de masa
187 %a^G_i = a^i + aa^i * x^i + w^i * x^i
188
189 ag1 = al1_1+cross(aa1_1,FJacopladosTrOG_A)+cross(w1_1,al1_1);
190 ag2 = al2_2+cross(aa2_2,FJrtrOG_A)+cross(w2_2,al2_2);
191 ag3 = al3_3+cross(aa3_3,FRodillarOG_A)+cross(w3_3,al3_3);
192 ag4 = al4_4+cross(aa4_4,FJacopladosCrOG_A)+cross(w4_4,al4_4);
193 ag5 = al5_5+cross(aa5_5,FCaderarOG_A)+cross(w5_5,al5_5);
194 ag6 = al6_6+cross(aa6_6,FJCadrOG_A)+cross(w6_6,al6_6);
195
196 ag7 = al7_7+cross(aa7_7,CaderarOG_A)+cross(w7_7,al7_7);
197 ag8 = al8_8+cross(aa8_8,JacopladosCrOG_A)+cross(w8_8,al8_8);
198 ag9 = al9_9+cross(aa9_9,RodillarOG_A)+cross(w9_9,al9_9);
199 ag10 = al10_10+cross(aa10_10,JrtrOG_A)+cross(w10_10,al10_10);
200 ag11 = al11_11+cross(aa11_11,JacopladosTrOG_A)+cross(w11_11,al11_11);
201 ag12 = al12_12+cross(aa12_12,PierOG_A)+cross(w12_12,al12_12);
202
203 %% Fuerza inercial de cada eslabon
204
205 F1 = Jacopladosm*ag1;
206 F2 = Jrtrm*ag2;
207 F3 = Rodillam*ag3;
208 F4 = JacopladosCm*ag4;
209 F5 = Caderam*ag5;
210 F6 = JCadm*ag6;
211 F7 = Caderam*ag7;
212 F8 = JacopladosCm*ag8;
213 F9 = Rodillam*ag9;
214 F10 = Jrtrm*ag10;
215 F11 = Jacopladosm*ag11;
216 F12 = Piem*ag12;
217
218 %% Momento inercial de cada eslabon
219
220 M1 = FJacopladosTI*aa1_1+cross(w1_1,FJacopladosTI*w1_1);
221 M2 = FJrtI*aa2_2+cross(w2_2,FJrtI*w2_2);
222 M3 = FRodillal*aa3_3+cross(w3_3,FRodillal*w3_3);
223 M4 = FJacopladosCI*aa4_4+cross(w4_4,FJacopladosCI*w4_4);
224 M5 = FCaderal*aa5_5+cross(w5_5,FCaderal*w5_5);
225 M6 = FJCadI*aa6_6+cross(w6_6,FJCadI*w6_6);
226 M7 = Caderal*aa7_7+cross(w7_7,Caderal*w7_7);
227 M8 = JacopladosCI*aa8_8+cross(w8_8,JacopladosCI*w8_8);
228 M9 = Rodillal*aa9_9+cross(w9_9,Rodillal*w9_9);
229 M10 = JrtrI*aa10_10+cross(w10_10,JrtrI*w10_10);
230 M11 = JacopladosTI*aa11_11+cross(w11_11,JacopladosTI*w11_11);
231 M12 = Piem*aa12_12+cross(w12_12,Piem*w12_12);
232
233 %% Propagacion hacia atras de Newton
234 %f^i = f^i+1 - m_i * R^i * g_0 + F_i
235 %f^i = f^i+1 - m_i * R^i * g_0 + F_i
236

```



```

237 g0 = [981; 0; 0];
238 fl31213 = [0;
239           0;
240           0];
241 fl31212 = [0;
242           0;
243           0];
244 fl21112 = fl31212 - Piem*T12_0(1:3,1:3)'*g0+F12;
245 fl11011 = A12(1:3,1:3)*fl21112 - Jacopladosm*T11_0(1:3,1:3)'*g0+F11;
246 fl0910 = A11(1:3,1:3)*fl11011 - Jrtrm*T10_0(1:3,1:3)'*g0+F10;
247 f989 = A10(1:3,1:3)*fl0910 - Rodillam*T9_0(1:3,1:3)'*g0+F9;
248 f878 = A9(1:3,1:3)*f989 - JacopladosCm*T8_0(1:3,1:3)'*g0+F8;
249 f767 = A8(1:3,1:3)*f878 - Caderam*T7_0(1:3,1:3)'*g0+F7;
250 f656 = A7(1:3,1:3)*f767 - JCadm*T6_0(1:3,1:3)'*g0+F6;
251 f545 = A6(1:3,1:3)*f656 - Caderam*T5_0(1:3,1:3)'*g0+F5;
252 f434 = A5(1:3,1:3)*f545 - JacopladosCm*T4_0(1:3,1:3)'*g0+F4;
253 f323 = A4(1:3,1:3)*f434 - Rodillam*T3_0(1:3,1:3)'*g0+F3;
254 f212 = A3(1:3,1:3)*f323 - Jrtrm*T2_0(1:3,1:3)'*g0+F2;
255 fl01 = A2(1:3,1:3)*f212 - Jacopladosm*T1_0(1:3,1:3)'*g0+F1;
256 fl00 = A1(1:3,1:3)*fl01;
257
258 %% Propagacion hacia atras de Euler
259 %n^{i,i-1}_i = n^{i+1,i}_i + (r^{i/i-1}_i + r^{G/i}_i) x f^{i,i-1}_i - r^{G/i}_i x f^{i+1,i}_i + MG_i
260
261 n131212 = [0;
262           0;
263           0];
264
265 n121112 = n131212 + cross((A12(1:3,1:3)'*A12(1:3,4)+PierOG_A),fl21112) - cross(PierOG_A,fl31212) +
M12;
266 n111011 = A12(1:3,1:3)*n121112 + cross((A11(1:3,1:3)'*A11(1:3,4)+JacopladosTrOG_A),fl11011) - cross(JacopladosTrOG_A,
A12(1:3,1:3)*fl21112) + M11;
267 n10910 = A11(1:3,1:3)*n111011 + cross((A10(1:3,1:3)'*A10(1:3,4)+JrtrOG_A),fl0910) - cross(JrtrOG_A, A11
(1:3,1:3)*fl11011) + M10;
268 n989 = A10(1:3,1:3)*n10910 + cross((A9(1:3,1:3)'*A9(1:3,4)+RodillarOG_A),f989) - cross(RodillarOG_A, A10
(1:3,1:3)*fl0910) + M9;
269 n878 = A9(1:3,1:3)*n989 + cross((A8(1:3,1:3)'*A8(1:3,4)+JacopladosCrOG_A),f878) - cross(JacopladosCrOG_A, A9
(1:3,1:3)*f989) + M8;
270 n767 = A8(1:3,1:3)*n878 + cross((A7(1:3,1:3)'*A7(1:3,4)+CaderarOG_A),f767) - cross(CaderarOG_A, A8
(1:3,1:3)*f878) + M7;
271 n656 = A7(1:3,1:3)*n767 + cross((A6(1:3,1:3)'*A6(1:3,4)+FJCadrOG_A),f656) - cross(FJCadrOG_A, A7
(1:3,1:3)*f767) + M6;
272 n545 = A6(1:3,1:3)*n656 + cross((A5(1:3,1:3)'*A5(1:3,4)+FCaderarOG_A),f545) - cross(FCaderarOG_A, A6
(1:3,1:3)*f656) + M5;
273 n434 = A5(1:3,1:3)*n545 + cross((A4(1:3,1:3)'*A4(1:3,4)+FJacopladosCrOG_A),f434) - cross(FJacopladosCrOG_A,A5
(1:3,1:3)*f545) + M4;
274 n323 = A4(1:3,1:3)*n434 + cross((A3(1:3,1:3)'*A3(1:3,4)+FRodillarOG_A),f323) - cross(FRodillarOG_A, A4
(1:3,1:3)*f434) + M3;
275 n212 = A3(1:3,1:3)*n323 + cross((A2(1:3,1:3)'*A2(1:3,4)+FJrtrOG_A),f212) - cross(FJrtrOG_A, A3(1:3,1:3)
*f323) + M2;
276 n101 = A2(1:3,1:3)*n212 + cross((A1(1:3,1:3)'*A1(1:3,4)+FJacopladosTrOG_A),fl01) - cross(FJacopladosTrOG_A,A2
(1:3,1:3)*f212) + M1;
277
278 %% Torques
279 % T_i = n^{i,i-1}_i - I . z
280
281 T6l = z'*A12(1:3,1:3)*n121112;
282 T5l = z'*A11(1:3,1:3)*n111011;
283 T4l = z'*A10(1:3,1:3)*n10910;
284 T3l = z'*A9(1:3,1:3)*n989;
285 T2l = z'*A8(1:3,1:3)*n878;
286 T1l = z'*A7(1:3,1:3)*n767;
287 T1r = z'*A6(1:3,1:3)*n656;
288 T2r = z'*A5(1:3,1:3)*n545;
289 T3r = z'*A4(1:3,1:3)*n434;
290 T4r = z'*A3(1:3,1:3)*n323;
291 T5r = z'*A2(1:3,1:3)*n212;
292 T6r = z'*A1(1:3,1:3)*n101;
293
294
295 T = zeros(12,1);
296 T(1,1) = T1l/10000000;
297 T(2,1) = T2l/10000000;
298 T(3,1) = T3l/10000000;
299 T(4,1) = T4l/10000000;
300 T(5,1) = T5l/10000000;
301 T(6,1) = T6l/10000000;
302 T(7,1) = T1r/10000000;
303 T(8,1) = T2r/10000000;
304 T(9,1) = T3r/10000000;
305 T(10,1) = T4r/10000000;
306 T(11,1) = T5r/10000000;
307 T(12,1) = T6r/10000000;
308
309 %T/10000000 %g cm / s2 * cm a kg cm cm
310 Z = zmp(fl00/100000,(A1(1:3,1:3)*n101)/10000000);
311
312 end

```



# Apéndice G

## Código C

### G.1. Función de Caminado Parametrizado

```
1 double L_SCI(double t, double q[12], int flags [5], double Desp[6]) //ff[] 0=RF,1=ST,2=EN,3=pa,4=np
2 {
3     int L,i;
4     double lds = LL1;
5     double XB=0,YB=0,ZB=0,XF=0,YF=0,ZF=0;
6     double M1 [4][4]={1,0,0,0},{0,1,0,0},{0,0,1,0},{0,0,0,1};
7     double M2 [4][4]={1,0,0,0},{0,1,0,0},{0,0,1,0},{0,0,0,1};
8     double q1[6]={0,0,0,0,0,0};
9     double q2[6]={0,0,0,0,0,0};
10    double h=height;
11    if ( flags [RF]==1) //RF
12    {
13        L = 1;
14    }
15    else
16    {
17        L = -1;
18    }
19
20    /* % Rafa      YO
21     % X      =    Y
22     % Y      =    Z
23     % Z      =    X
24     % SCI(t, Ti,x0,x1,v0,v1)*/
25
26    if ( flags [ST] == 1 && flags[EN] == 0) //START END
27    {
28        if (t<=Tds/2.0)
29        {
30            YB = SCI(t,Tp,0,Lp/2.0,0,0);
31            ZB = SCI(t,Tp/2.0,h,h+hb,0,0);
32            XB = SCI(t,Tp/2.0,-L*lds,L*db,0,0);
33
34            YF = 0;
35            ZF = 0;
36            XF = -2.0*L*lds;
37
38        }
39
40        if (t>Tds/2.0 && t<=Tp/2.0)
41        {
42            YB = SCI(t,Tp,0,Lp/2.0,0,0);
43            ZB = SCI(t,Tp/2.0,h,h+hb,0,0);
44            XB = SCI(t,Tp/2.0,-L*lds,L*db,0,0);
45
46            YF = SCI(t-Tds/2.0,Tp-Tds,0,Lp,0,0);
47            ZF = SCI(t-Tds/2.0,(Tp-Tds)/2.0,hp,0,0,0);
48            XF = SCI(t-Tds/2.0,(Tp-Tds)/2.0,-2.0*L*lds,-L*dp,0,0);
49        }
50        if (t>Tp/2.0 && t<=Tp-Tds/2.0)
51        {
52            YB = SCI(t,Tp,0,Lp/2.0,0,0);
53            ZB = SCI(t-Tp/2.0,Tp/2.0,h+hb,h,0,0);
54            XB = SCI(t-Tp/2.0,Tp/2.0,L*db,-L*lds,0,0);
55
56            YF = SCI(t-Tds/2.0,Tp-Tds,0,Lp,0,0);
57            ZF = SCI(t-Tp/2.0,(Tp-Tds)/2.0,hp,0,0,0);
58            XF = SCI(t-Tp/2.0,(Tp-Tds)/2.0,-L*dp,-2.0*L*lds,0,0);
59        }
60        if (t>Tp-Tds/2.0 && t<=Tp)
```

```

61     {
62         YB = SCI(t, Tp, 0, Lp/2.0, 0, 0);
63         ZB = SCI(t - Tp/2.0, Tp/2.0, h + hb, h, 0, 0);
64         XB = SCI(t - Tp/2.0, Tp/2.0, L * db, -L * lds, 0, 0);
65
66         YF = Lp;
67         ZF = 0;
68         XF = -2.0 * L * lds;
69     }
70 }
71 }
72 if( flags[ST] == 0 && flags[EN] == 0)
73 {
74     if(t <= Tds/2.0)
75     {
76         YB = SCI(t, Tp, -Lp/2.0, Lp/2.0, 0, 0);
77         ZB = SCI(t, Tp/2.0, h, h + hb, 0, 0);
78         XB = SCI(t, Tp/2.0, -L * lds, L * db, 0, 0);
79
80         YF = -Lp;
81         ZF = 0;
82         XF = -2.0 * L * lds;
83     }
84     if(t > Tds/2.0 && t <= Tp/2.0)
85     {
86         YB = SCI(t, Tp, -Lp/2.0, Lp/2.0, 0, 0);
87         ZB = SCI(t, Tp/2.0, h, h + hb, 0, 0);
88         XB = SCI(t, Tp/2.0, -L * lds, L * db, 0, 0);
89
90         YF = SCI(t - Tds/2.0, Tp - Tds, -Lp, Lp, 0, 0);
91         ZF = SCI(t - Tds/2.0, (Tp - Tds)/2.0, 0, hp, 0, 0);
92         XF = SCI(t - Tds/2.0, (Tp - Tds)/2.0, -2.0 * L * lds, -L * dp, 0, 0);
93     }
94     if(t > Tp/2.0 && t <= Tp - Tds/2.0)
95     {
96         YB = SCI(t, Tp, -Lp/2.0, Lp/2.0, 0, 0);
97         ZB = SCI(t - Tp/2.0, Tp/2.0, h + hb, h, 0, 0);
98         XB = SCI(t - Tp/2.0, Tp/2.0, L * db, -L * lds, 0, 0);
99
100        YF = SCI(t - Tds/2.0, Tp - Tds, -Lp, Lp, 0, 0);
101        ZF = SCI(t - Tp/2.0, (Tp - Tds)/2.0, hp, 0, 0, 0);
102        XF = SCI(t - Tp/2.0, (Tp - Tds)/2.0, -L * dp, -2.0 * L * lds, 0, 0);
103    }
104    if(t > Tp - Tds/2.0 && t <= Tp)
105    {
106        YB = SCI(t, Tp, -Lp/2.0, Lp/2.0, 0, 0);
107        ZB = SCI(t - Tp/2.0, Tp/2.0, h + hb, h, 0, 0);
108        XB = SCI(t - Tp/2.0, Tp/2.0, L * db, -L * lds, 0, 0);
109
110        YF = Lp;
111        ZF = 0;
112        XF = -2.0 * L * lds;
113    }
114 }
115 if( flags[ST] == 0 && flags[EN] == 1)
116 {
117     if(t <= Tds/2.0)
118     {
119         YB = SCI(t, Tp, -Lp/2.0, 0, 0, 0);
120         ZB = SCI(t, Tp/2.0, h, h + hb, 0, 0);
121         XB = SCI(t, Tp/2.0, -L * lds, L * db, 0, 0);
122
123         YF = -Lp;
124         ZF = 0;
125         XF = -2.0 * L * lds;
126     }
127     if(t > Tds/2.0 && t <= Tp/2.0)
128     {
129         YB = SCI(t, Tp, -Lp/2.0, 0, 0, 0);
130         ZB = SCI(t, Tp/2.0, h, h + hb, 0, 0);
131         XB = SCI(t, Tp/2.0, -L * lds, L * db, 0, 0);
132
133         YF = SCI(t - Tds/2.0, Tp - Tds, -Lp, 0, 0, 0);
134         ZF = SCI(t - Tds/2.0, (Tp - Tds)/2.0, 0, hp, 0, 0);
135         XF = SCI(t - Tds/2.0, (Tp - Tds)/2.0, -2.0 * L * lds, -L * dp, 0, 0);
136     }
137     if(t > Tp/2.0 && t <= Tp - Tds/2.0)
138     {
139         YB = SCI(t, Tp, -Lp/2.0, 0, 0, 0);
140         ZB = SCI(t - Tp/2.0, Tp/2.0, h + hb, h, 0, 0);
141         XB = SCI(t - Tp/2.0, Tp/2.0, L * db, -L * lds, 0, 0);
142
143         YF = SCI(t - Tds/2.0, Tp - Tds, -Lp, 0, 0, 0);
144         ZF = SCI(t - Tp/2.0, (Tp - Tds)/2.0, hp, 0, 0, 0);
145         XF = SCI(t - Tp/2.0, (Tp - Tds)/2.0, -L * dp, -2.0 * L * lds, 0, 0);
146     }
147     if(t > Tp - Tds/2.0 && t <= Tp)
148     {
149         YB = SCI(t, Tp, -Lp/2.0, 0, 0, 0);
150         ZB = SCI(t - Tp/2.0, Tp/2.0, h + hb, h, 0, 0);

```

```

151         XB = SCI(t-Tp/2.0,Tp/2.0,L*db,-L*lds,0,0);
152
153         YF = 0;
154         ZF = 0;
155         XF = -2.0*L*lds;
156     }
157 }
158 t+=deltaT;
159 if (t>Tp)
160 {
161     if ( flags [RF]==1) //RF
162         flags [RF] = 0;
163     else
164         flags [RF] = 1;
165     t = deltaT;
166     flags [PA]=flags[PA]+1; //paso
167     if ( flags [ST] == 1 && flags[EN] == 0)
168         flags [ST] = 0;
169     if ( flags [PA]>=flags[NP]) //paso>=numpasos
170         flags [EN] = 1;
171 }
172
173 M1[0][3] = XB;
174 M1[1][3] = YB;
175 M1[2][3] = ZB;
176
177 M2[0][3] = XF-XB;
178 M2[1][3] = YF-YB;
179 M2[2][3] = ZF-ZB;
180
181 IKBases(0,L,M1,q1);
182 IKBases(1,-L,M2,q2);
183
184 if (L===-1)
185 {
186     for (i=0;i<6;i++)
187     {
188         q[i]=q1[i];
189     }
190     for (i=0;i<6;i++)
191     {
192         q[i+6]=q2[i];
193     }
194 }
195 else
196 {
197     for (i=0;i<6;i++)
198     {
199         q[i]=q2[i];
200     }
201     for (i=0;i<6;i++)
202     {
203         q[i+6]=q1[i];
204     }
205 }
206
207 Desp[0] = XB;
208 Desp[1] = YB;
209 Desp[2] = ZB;
210 Desp[3] = XF;
211 Desp[4] = YF;
212 Desp[5] = ZF;
213
214 return t;
215 }

```

## G.2. Función de Caminado Omnidireccional

```

1 void omni(double q[6], double VRobot[3], double psi, int ls, double pLeg, int cont, int col)
2 {
3     double vxRobot = VRobot[0];
4     double vyRobot = VRobot[1];
5     double vtRobot = VRobot[2];
6     double aRobot[3];
7     double arRobot,apRobot,ayRobot;
8
9     arRobot = asin(vxRobot/(psi*height));
10    apRobot = asin(vyRobot/(psi*height));
11    ayRobot = vtRobot/psi;
12
13    //SHIFTING
14    double aShift, tShift, tLegShift, tFootShift;
15    if(arRobot>=0)
16        aShift = 0.12+0.08*sqrt(arRobot*arRobot+apRobot*apRobot)+0.7*arRobot; //##### 0.12+0.08*sqrt(arRobot*
            arRobot+apRobot*apRobot)+0.7*arRobot;

```

```

17 else
18     aShift = 0.12+0.08*sqrt(arRobot*arRobot+apRobot*apRobot)+0.7*-arRobot; // ##### 0.12+0.08*sqrt(arRobot*
        arRobot+apRobot*apRobot)+0.7*-arRobot;
19
20 tShift = aShift*sin(pLeg);
21 tLegShift = tShift;
22 tFootShift = -0.2*tShift;
23
24 //SHORTENING
25 double pShort,aShort,gShort,tFootShort;
26 pShort = vShort*(pLeg+PI/2.0+oShort);
27 aShort = 0.2 + 2.0*sqrt(arRobot*arRobot+apRobot*apRobot);
28
29 if(pShort>=-PI && pShort<PI)
30 {
31     gShort = -aShort*0.5*(cos(pShort)+1.0); // ##### -aShort*0.5*(cos(pShort)+1);
32     tFootShort = -apRobot*0.125*(cos(pShort)+1.0); // ##### art -apRobot*0.125*(cos(pShort)+1);
        mod apRobot*0.5*(cos(pShort)+1);
33 }
34 else
35 {
36     gShort = 0;
37     tFootShort = 0;
38 }
39
40
41 //LOADING
42 double in = pLeg+PI/2.0-PI/vShort+oShort,out,pLoad,aLoad,gLoad;
43 while (in<-PI || in>=PI)
44 {
45     out = piCut(in);
46     in = out;
47 }
48 pLoad = vLoad*in-PI;
49
50 if(apRobot>=0)
51     aLoad = 0.025+0.5*(1.0-cos(apRobot)); // #####
52 else
53     aLoad = 0.025+0.5*(1.0-cos(-apRobot)); // #####
54
55 if(pLoad>=-PI && pLoad<PI)
56     gLoad = -aLoad*0.5*(cos(pLoad)+1.0);
57 else
58     gLoad = 0;
59
60 //SWINGING
61 double pSwing,b,tSwing,trLS,tpLS,tyLS,trFS,tpFS;
62
63 pSwing = vSwing*(pLeg+PI/2.0+oSwing);
64 b = -2.0/(2.0*PI*vSwing-PI); //Speed of reverse motion #####
65
66 if(pSwing>=-PI/2.0 && pSwing<PI/2.0)
67     tSwing = sin(pSwing);
68 else if(pSwing>=PI/2.0)
69     tSwing = b*(pSwing-PI/2.0)+1.0; // #####
70 else
71     tSwing = b*(pSwing+PI/2.0)-1.0; // #####
72
73 trLS = ls*arRobot*tSwing;
74 tpLS = apRobot*tSwing;
75 tyLS = ls*ayRobot*tSwing;
76 trFS = ls*0.25*arRobot*tSwing; // #####
77 tpFS = 0.25*apRobot*tSwing; // ##### 0.25*apRobot*tSwing;
78
79 //BALANCE
80 double trFB,tpFB,trLB;
81
82 trFB = 0.1*ls*arRobot*cos(pLeg+0.35); // ##### 0.1*ls*arRobot*cos(pLeg+0.35);
83 tpFB = 0.02+0.08*apRobot-0.04*apRobot*cos(2.0*pLeg+0.7); // ##### 0.02+0.08*apRobot-0.04*apRobot*cos
        (2*pLeg+0.7);
84 if(arRobot>=0)
85     trLB = 0.01+ls*arRobot+arRobot+0.1*ayRobot; //0.01+ls*arRobot+arRobot+0.1*ayRobot; 0.05 no side collision
86 else
87     trLB = 0.01+ls*arRobot-arRobot+0.1*ayRobot; //0.01+ls*arRobot-arRobot+0.1*ayRobot; 0.05 no side collision
88
89 //OUTPUT
90 double trLeg,tpLeg,tyLeg,trFoot,tpFoot,tFoot,g;
91 trLeg = trLS+tLegShift+trLB; //-----
92 tpLeg = tpLS;
93 tyLeg = tyLS;
94 trFoot = trFS+tFootShift+trFB; //-----
95 tpFoot = tpFS+tFootShort+tpFB;
96 //tFoot = [trFoot;tpFoot];
97 g = gShort+gLoad;
98
99 //LEG INTERFACE
100 //% -1<gamma<0, 0 fully extended -1 nmin
101
102 double n = 1+(1-nmin)*g; // Target relative leg length
103 double tKnee,tThigh,tHip[2],tAnkle[2],TH1,TH2,TH3,TH4,TH5,TH6;
104
105 tKnee = -2.0*acos(n);
106 tThigh = tyLeg;

```

```

107
108 if(tyLeg==0)
109 {
110     //tHip = [trLeg;tpLeg]+[0;-0.5*tKnee]; %0.5 same size thigh and shank
111     tHip[0] = trLeg;
112     tHip[1] = tpLeg-0.5*tKnee;
113     //tAnkle = [0;-0.5*tKnee]+tfoot-[trLeg;tpLeg]; %0.5 same size thigh and shank
114     tAnkle[0] = 0+tfoot-trLeg;
115     tAnkle[1] = -0.5*tKnee+tfoot-tpLeg;
116 }
117 else
118 {
119     tHip[0] = trLeg;
120     tHip[1] = tpLeg-0.5*tKnee;
121     tAnkle[0] = 0+tfoot-trLeg;
122     tAnkle[1] = -0.5*tKnee+tfoot-tpLeg;
123 }
124
125 TH1 = -ls*tThigh;
126 TH2 = ls*tHip[0]; //#####
127 TH3 = -tHip[1];
128 TH4 = -tKnee;
129 TH5 = -tAnkle[1];
130 TH6 = ls*tAnkle[0]; //#####

```

### G.3. Seguimiento y alcance de objetos

```

1 while(1)
2 {
3     cvGrabFrame(cap1);
4     cvGrabFrame(cap1);
5     cvGrabFrame(cap1);
6     cvGrabFrame(cap1);
7     cvGrabFrame(cap2);
8     cvGrabFrame(cap2);
9     cvGrabFrame(cap2);
10    cvGrabFrame(cap2);
11    right = cvQueryFrame(cap1); // get frame
12    left = cvQueryFrame(cap2); // get frame
13    if(!right)
14    {
15        printf("Capture_is_null");
16    }
17
18    cvRemap(left, left, mx1, my1, CV_INTER_LINEAR, cvScalarAll(0));
19    cvRemap(right, right, mx2, my2, CV_INTER_LINEAR, cvScalarAll(0));
20
21
22
23    hsvr = cvCreateImage( cvGetSize(right), right->depth, 3);
24    hsvl = cvCreateImage( cvGetSize(left), left->depth, 3);
25
26
27    segm(&right,&hsvr,&h,&s,&v,&ss,&s2,&segr,0);
28
29 //
30    storageR = cvCreateMemStorage(0);
31    //circlesR = cvHoughCircles(dstdu, storageR, CV_HOUGH_GRADIENT, 2,cvGetSize(img).height/2,param1,
32    param2, minradius, maxradius);
33    circlesR = cvHoughCircles(segr, storageR, CV_HOUGH_GRADIENT, 2,cvGetSize(right).height/2,300,42, 20, 100);
34    for(i = 0; i < circlesR->total; i++) {
35        pR = (float*) cvGetSeqElem( circlesR, i );
36        ptR = cvPoint( cvRound( pR[0] ), cvRound( pR[1] ) );
37        cvCircle( right ,ptR,cvRound( pR[2] ),CV_RGB(0xff,0xff,0xff),1,8,2);
38
39        //printf("Centroid Right (x,y)=( %f, %f) \n",pR[0],pR[1]);
40        xr=cvRound(pR[0]);
41        yr=cvRound(pR[1]);
42    }
43 //
44
45 cvShowImage("Video_R", segr); // show frame
46 cvShowImage("Video_RH", right); // show frame
47
48
49
50    segm(&left,&hsvl,&h,&s,&v,&ss,&s2,&segl,1);
51
52 //
53    storageR = cvCreateMemStorage(0);
54    //circlesR = cvHoughCircles(dstdu, storageR, CV_HOUGH_GRADIENT, 2,cvGetSize(img).height/2,param1,
55    param2, minradius, maxradius);
56    circlesR = cvHoughCircles(segl, storageR, CV_HOUGH_GRADIENT, 2,cvGetSize(left).height/2,300,42, 20, 100);

```

```

56     for(i = 0; i < circlesR->total; i++) {
57         pR = (float*) cvGetSeqElem( circlesR, i );
58         ptR = cvPoint( cvRound( pR[0] ), cvRound( pR[1] ) );
59         cvCircle( left ,ptR,cvRound( pR[2] ),CV_RGB(0xff,0xff,0xff),1,8,2);
60
61         //printf("Centroid L(x,y)=( %f, %f) \n",pR[0],pR[1]);
62         xl=cvRound(pR[0]);
63         yl=cvRound(pR[1]);
64     }
65
66 //
67
68     cvShowImage( "Video_L", seg1); // show frame
69     cvShowImage("Video_LH", left); // show frame
70
71
72 //
73 //centroid(segr, &xr, &yrr);
74 //centroid(seg1, &xl, &yl);
75 //
76     printf("Centroid_R(x,y)=( %d,%d)\n",xr,yr);
77     printf("Centroid_L(x,y)=( %d,%d)\n",xl,yl);
78
79
80     if(xr>xl)
81         d = xr-xl;
82     else
83         d = xl-xr;
84
85     X = xl * q00 + q03;
86     Y = yl * q11 + q13;
87     Z = q23;
88     W = d * q32 + q33;
89
90     X = X / W;
91     Y = Y / W;
92     Z = Z / W;
93
94     X = X-3.0;
95
96     printf("X_\n_Y_\n_Z_\n",X,Y,Z);
97
98     pan = atan2(-X,Z); //pdh -(X-3)
99     tilt = atan2(-Y,Z); //tdh
100
101     tilt = tilt*(180.0/PI);
102     pan = pan*(180.0/PI);
103
104
105     if( tilt > -20 && tilt < 20)
106     {
107         tilt1 = tilt;
108         if( tilt1 < 1 && tilt1 > 0)
109             tilt1 = tilt1 + 1;
110         if( tilt1 < 0 && tilt1 > -1)
111             tilt1 = tilt1 - 1;
112     }
113     if(pan > -20 && pan < 20)
114     {
115         pan1 = pan;
116         if(pan1 < 1 && pan1 > 0)
117             pan1 = pan1 + 1;
118         if(pan1 < 0 && pan1 > -1)
119             pan1 = pan1 - 1;
120     }
121
122     pf = pan1 - pana;
123     if(pf < 0)
124         pf = pf * (-1.0);
125     tf = tilt1 - tilta;
126     if(tf < 0)
127         tf = tf * (-1.0);
128
129     if( pf > 2 || tf > 2)
130     {
131         new = 1;
132     }
133     else
134     {
135         new = 0;
136     }
137
138
139     printf(" tilt1_\n_pan1_\n",tilt1,pan1);
140
141     if(X < 10 && X > -10 && Z < 40 && Z > 1)
142     {
143         //tiltabs = tiltabs + tilt1;
144         //panabs = panabs + pan1;
145         p = panabs*(PI/180.0);
146         t = tiltabs*(PI/180.0);
147
148         x = X*cos(p) + (LH2 - Y)*sin(p)*sin(t) - (Z + LH3)*sin(p)*cos(t);

```



```

149 y = X*sin(p)+(Y-LH2)*cos(p)*sin(t)+(Z+LH3)*cos(p)*cos(t);
150 z = (LH2-Y)*cos(t)+(Z+LH3)*sin(t)+LH1;
151
152 printf("tabs_=%f_pabs_=%f_x=%f_y=%f_z=%f\n",tiltabs,panabs,x,y,z);
153 magD = sqrt((x+LA1)*(x+LA1)+y*y+z*z);
154
155 if(magD<(LA2+LA3))
156 {
157     printf("mag_<");
158     pos[0] = x;
159     pos[1] = y;
160     pos[2] = z;
161     lKBrazos(-1, pos, q);
162 }
163 else
164 {
165     printf("mag_>");
166     q[0]=0;
167     q[1]=0;
168     q[2]=0;
169     q[3]=0;
170 }
171 if(q[0]<1&&q[0]>-1)
172     q[0]=q[0]+1.1;
173 if(q[1]<1&&q[1]>-1)
174     q[1]=q[1]+1.1;
175 if(q[2]<1&&q[2]>-1)
176     q[2]=q[2]+1.1;
177     if(q[3]<1&&q[3]>-1)
178         q[3]=q[3]+1.1;
179 for (i=0;i<4;i++)
180 {
181     printf("TH %d_=%f_\\n",i+1,q[i]);
182 }
183 //tiltabs = tiltabs-tilt1;
184 //panabs = panabs-pan1;
185 q[4] = 1.1;
186 q[5] = 24.9;
187
188 //c = cvWaitKey(0);
189 c = 99;
190 //printf("c = %d\\n",c);
191 if(c == 99) //if(c==c) //49=1 51=3
192
193
194 if(( tilt1 >3 || tilt1 <-3 || pan1>3 || pan1<-3) && new)
195 {
196     tiltabs = tiltabs+tilt1;
197     panabs = panabs+pan1;
198     printf("tilta_=%f_2f_\\n_pana_=%f_2f_\\n",tiltabs,panabs);
199     pana = pan1;
200     tilta = tilt1;
201     head(data,data1,data2,data3,data4,&tiltabs,&panabs,&abp,&aby);
202     tx(&fp,data);
203 }
204 else
205 {
206     if(magD<(LA2+LA3))
207     {
208         printf("\\nDentro_de_espacio\\n");
209         larm(data,data1,data2,data3,data4,data5,data6,q);
210         tx(&fp,data);
211         stop = 1;
212         waitFor(5);
213         //q[5]=19.9;
214         //q[5]=15.9;
215         q[5]=11.9;
216         larm(data,data1,data2,data3,data4,data5,data6,q);
217         tx(&fp,data);
218         waitFor(2);
219         q[0]=1.1;
220         q[1]=1.1;
221         q[2]=1.1;
222         q[3]=1.1;
223         q[4]=1.1;
224         //q[5]=19.9;
225         q[5]=11.9;
226         larm(data,data1,data2,data3,data4,data5,data6,q);
227         tx(&fp,data);
228     }
229     else
230     {
231         printf("Fuera_del_espacio");
232     }
233 }
234
235 }
236
237 c = cvWaitKey(10); // wait 10 ms or for key stroke
238 //c = cvWaitKey(0); // wait for key stroke

```

```
239         if(c == 27)
240             break; // if ESC, break and quit
241     if(stop)
242         break;
243 }
```

# Bibliografía

- [1] International Organization for Standardization. ISO 8373:2012. <https://www.iso.org/obp/ui/#iso:std:iso:8373:ed-2:v1:en>, 2012.
- [2] Bruno Siciliano and Oussama Khatib. *Springer Handbook of Robotics*. Springer, 2008.
- [3] Jens Christensen, Jesper L. Nielsen, Mads S. Svendsen, Mikael S. Svenstrup, Kasper Winther, and Peter F. Orts. Modelling and control of a biped robot. Master's thesis, Aalborg University, 2006.
- [4] Mikkel Melters Pedersen, Allan Agerbo Nielsen, and Lars Fuglsang Christiansen. Design of biped robot aau-bot1. Master's thesis, Aalborg University, 2007.
- [5] Jens Christensen, Jesper L. Nielsen, Mads S. Svendsen, and Peter F. Ortsn. Development, modeling and control of a humanoid robot. Master's thesis, Aalborg University, 2007.
- [6] Karl Muecke, Jess Kanetzky, Raghav Sampath, and Patrick Cox. Darwin: a bipedal walking humanoid robot. <http://web.stevens.edu/msrobotics/SMRDC2010/muecke06r.pdf>, 2006.
- [7] Jason Falconer. Dr. guero's back with another robot balancing act. <http://www.gizmag.com/dr-guero-balancing-robot/26860/>, 2013.
- [8] Dr. Guero. Biped robot walks just like a human being. <http://ai2001.ifdef.jp/>, 2013.
- [9] Yoon, Sukjune, Seungyong Hyung, Minhyung Lee, Kyung Shik Roh, SungHwan Ahn, Andrew Gee, Pished Bunnun, Andrew Calway, and Waterio W. Mayol Cue-

- vas. Humanoid robot that sees and maps. <http://www.bris.ac.uk/news/2013/9536.htm>, 2013.
- [10] Robocup. <http://www.robocup2014.org/>, 2014.
- [11] Federation of international robot-soccer association. <http://www.fira.net/main/>, 2014.
- [12] Torneo mexicano de robótica. <http://www.femexrobotica.org/tmr2014/>, 2014.
- [13] Manuel Hunter, Felipe Lara, Rafael Cisneros, and Juan Manuel Ibarra. Mechanical design and kinematic analysis of the ah1n1 humanoid robot. *Congreso Internacional en Electrónica, Comunicaciones y Computadoras (CONIELECOMP)*, 2011.
- [14] Mark W. Spong and M. Vidyasagar. *Robot Dynamics and Control*. John Wiley & Sons, Inc., 1989.
- [15] Donald Lee Pieper. *The Kinematics of Manipulators under Computer Control*. PhD thesis, Stanford University, 1968.
- [16] Muhammad A. Ali, Andy Park, and C. S. George Lee. Closed-form inverse kinematic joint solution for humanoid robots. *The 2010 IEEE/RSJ International Conference on Intelligent Robots and Systems*, 2010.
- [17] Rafael Cisneros Limón. Estrategias de modelado cinemático y simulación en robots humanoides. Master's thesis, Centro de Investigación y de Estudios Avanzados del Instituto Politécnico Nacional, 2009.
- [18] Rafael Cisneros Limón. Robótica II. Universidad La Salle, 2011.
- [19] Jacquelin Perry. *Gait Analysis: Normal and Pathological Function*. SLACK Incorporated, 1992.
- [20] M. Vukobratovic, B. Borovac, and V. Potkonjak. Towards a unified understanding of basic notions and terms in humanoid robotics. *Robotica*, 25, pp 87-101, 2007.

- [21] Héctor Montes Franceschi. *Análisis, diseño y evaluación de estrategias de control de fuerza en robots caminantes*. PhD thesis, Universidad Complutense de Madrid, 2006.
- [22] Oscar Luis Vele G. Planificación de caminata para un robot bípedo. <http://loslocosrh.blogspot.mx/>, 2005.
- [23] Sven Behnke. Online trajectory generation for omnidirectional biped walking. *The 2010 IEEE International Conference on Robotics and Automation (ICRA)*, 2006.
- [24] Miomir Vukobratovic. Zero-moment point - thirty five years of its life. *International Journal of Humanoid Robotics*, 1, pp 157-173, 2004.
- [25] Emanuele Trucco and Alessandro Verri. *Introductory Techniques for 3-D Computer Vision*. Prentice Hall, 1998.
- [26] Gary Bradski and Adrian Kaehler. *Learning OpenCV*. O'Reilly Media, Inc., 2008.
- [27] Martin Peris. Opencv: Stereo camera calibration. <http://blog.martinperis.com/2011/01/opencv-stereo-camera-calibration.html>, 2011.
- [28] Hassan Munir. Calibrating stereo cameras. <http://cseautonomouscar2012.wordpress.com/2012/11/11/calibrating-stereo-cameras/>, 2012.
- [29] Gustavo Alemán. Control de posición por visión artificial de brazo robótico de 4 gdl. Technical Report, Departamento de Control Automático del CINVESTAV-IPN, 2014.